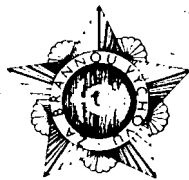


Amatérské RADI

Amatérské

NOSITEL
VYZNAMENÁNÍ
ZA BRANNOU
VÝCHOVU
I. A II. STUPNĚ



ŘADA B PRO KONSTRUKTÉRY

ČASOPIS PRO ELEKTRONIKU
A AMATÉRSKÉ VYSÍLÁNÍ
ROČNIK XXXI/1982 • ČÍSLO 3

V TOMTO SEŠITĚ

Svazarm a elektronika 81

OPERAČNÍ ZESILOVAČE
v teorii a praxi

Základní vlastnosti a pojmy	82
Základní vlastnosti a měření OZ	83
Mezní parametry OZ	88
Základní zapojení OZ	89
Praktická zapojení s operačními zesilovači	90
Aplikace OZ v nf technice	96
Aplikace OZ v přijímačích	102
Aplikace OZ v napájecích zdrojích	103
Aplikace OZ v převodnicích	105
Aplikace OZ v měřicí technice	106
Generátory periodických signálů různých průběhů - generátory funkcí	109
Jednoduchý generátor funkcí	111
Selektory hudby	113
Nortonův zesilovač	117

Svazarm a elektronika

Svazarm jako masová společenská organizace sdružující téměř milion členů

svým výchovným a propagandistickým působením, svou reálnou vědeckotechnickou aktivitou značně ovlivňuje stav teoretické i technické připravenosti našich občanů a to jak přes jejich dobrovolnou účast v různých formách zájmové branné činnosti, tak i výcvikem branců a záloh. Učinnost a efekt této činnosti závisí na jejím pojetí, obsahu, úrovni řízení a metodickém vedení i materiálním zabezpečení. Branný charakter technických odborností je především v osvojení polytechnických dovedností a návyků a v dokonalém zvládnutí techniky, jakož i v získávání speciálních znalostí. V průběhu let vznikly ve Svazaru dvě odbornosti, které převážně aplikují elektroniku do zájmové činnosti. Jsou to radiokluby, které především zabezpečují branně sportovní radioamatérské disciplíny a provoz spojovací techniky a hifikluby vycházející ze zájmu o elektroakustiku a radiotechniku. Technické principy elektroniky se do určité míry využívají také v modelářství, motorismu a letecku. V současné době k této elektronickému svazarmovskému odbornostem přibývá ve stále větší míře odbornost výpočetní a číslicové techniky. Aby v budoucnosti nedocházelo k dalšímu trápení elektronických odborností, dojde v druhé polovině letošního roku k jejich sjednocení pod ústřední oddělení Elektroniky Svazarmu. Toto oddělení bude nadále zastřešovat úseky elektronické odbornosti. Tím se také výrazněji zvýší účinnost nově budovaných krajských a okresních kabinetů elektroniky, jejichž základním posláním bude zabezpečení rozvoje elektroniky ve všech oblastech činnosti ve Svazaru. Tyto kabinety elektroniky mají zejména za úkol:

1. Poskytovat odbornou a metodickou pomoc klubům a ZO. Rozvíjet polytechnickou výchovu, zvláště mládež v oblasti elektroniky a propagovat její význam pro rozvoj našeho národního hospodářství i pro obranu socialistické vlasti.
2. Připravovat odborné kádry v elektronice. Organizovat odborné kurzy radio-techniky, elektroakustiky, radiového provozu, speciální kurzy měřicí, televizní a výpočetní techniky a automatizace pro členy a nečleny Svazarmu.
3. Metodicky ovlivňovat a pomáhat při přípravě cvičitelů, branců a záloh ve své odbornosti.
4. Podporovat, propagovat a podílet se na zlepšovatelké a vynálezecké činnosti.
5. Organizovat odborné konzultace a kurzy elektroniky.
6. Provádět poradenskou službu, technické konference, přednášky, besedy, technické soutěže, výstavy a vystoupení v masově hromadných sdělovacích prostředcích.
7. Poskytovat metodickou pomoc okresním kabinetům k jejich práci se základními organizacemi Svazarmu, branně technickými kroužky na školách, v pionýrských domech mládeže a v SSM. Podle svých možností se podílet na organizaci letních táborů mládeže.
8. Jako doplňkovou činnost a k podpoře praktické přípravy kádrů provádět zvukové a spojovací služby pro organizace Svazarmu i pro jiné organizace.
9. Podle plánů územních svazarmovských orgánů zřizovat měřicí pracoviště, dílny, učebny, zvuková a televizní studia.
10. Spolupracovat s útvary ČSLA, zařízeními FMEP, FMS a VTS a dalšími orga-

nizacemi, které se zabývají elektronikou.

Pro dosažení výrazného rozšíření základny využívání elektroniky a elektronických systémů i rozvoje pracovní iniciativy dělníků, techniků, inženýrů a vědeckotechnických pracovníků k urychlění procesu výzkumu, vývoje, výroby a zavádění těchto systémů nejen do svazarmovských činností, ale i do ostatních odvětví národního hospodářství, byla v únoru 1982 uzavřena „Dohoda o spolupráci na léta 1981-85“ mezi Federálním ministerstvem pro elektrotechnický průmysl (FMEP) a Ústředním výborem Svazu pro spolupráci s armádou. Úkoly, které z této dohody vyplývají pro FMEP jsou:

- Resort FMEP se bude aktivně podílet na zpracování a podpoře realizace konceptu zájmové hranné technické činnosti, mimoškolní polytechnické výchovy mládeže v oblasti elektroniky a podporovat využívání mikroprocesorů a mikropočítačů v této oblasti. Podílí se na přípravě kádrů pro rozvoj činnosti v celé této oblasti.
- FMEP vytvoří kolektiv pracovníků pro spolupráci na návrzích a realizaci programu využívání elektroniky.
- Resort FMEP bude společensky a technicky podporovat nejvýznačnější akce Svazarmu zvláště v oblasti elektroniky.
- FMEP bude podporovat ve všech svých výrobních, školních a vývojových organizacích vznik a činnost základních organizací a klubů Svazarmu, zvláště v oblasti elektroniky.
- FMEP a organizace jeho resortu budou podporovat polytechnickou výchovu mládeže v základních organizacích Svazarmu poskytováním mimotentralních součástek a nepotřebných zásob za minimální úhradu při dodržování obecně platných předpisů a vyhlášek pro tvorbu cen. Aktivní pomoc poskytnuté při vybavování a provozu kabinetů elektroniky Svazarmu. FMEP bude koordinovat další rozvoj obchodní sítě prodejen pro amatérské konstruktéry s potřebami Svazarmu v elektronice.
- Organizace FMEP při respektování vládního nařízení č. 161/1980 o finančním hospodaření VHJ a výrobních podniků budou podporovat hospodářské zařízení Svazarmu ve smyslu materiálně technického zajistění svazarmovské činnosti při účelném využívání i prostředků fondu kulturních a sociálních potřeb pro tyto účely.
- V rámci programu konstruktérských prací - FMEP na vytypované úkoly v oblasti výrobků spotřebního zboží bude zaveden systém společného vyhlašování tématických úkolů. Svazarm bude podle této dohody:
 - a) Na úseku polytechnické výchovy a přípravy kádrů:
- U SVazarmu zpracuje a bude společně s organizacemi resortu FMEP realizovat koncepci pomoci elektronizace národního hospodářství, zaměřenou hlavně na oblasti polytechnické přípravy mládeže.
- Svazarm vytvoří podmínky ve vybraných střediscích a kabinetech elektroniky dle územního principu pro školení členů i nečlenů Svazarmu ve využívání mikroprocesorových systémů.
- Svazarmovský tisk bude podporovat a propagovat nové technické směry čs.

- elektroniky a aktivně se zapojí do oblasti přípravy v oblasti elektroniky a mikroelektroniky.
- Svařarm bude úzce spolupracovat s FMEP na vývoji a zavádění prostředků pro polytechnickou výchovu mládeže.
- Vhodnou motivaci propagace a podporou bude Svařarm rozvíjet zlepšovatelské a vynálezecké hnutí v oboru elektroniky a jejich aplikací ve všech oblastech národního hospodářství. Hodnocení výsledků bude prováděno s početně.
- b) V plnění úkolů branné výchovy:
- Pomáhat v organizaci přípravy brančů a záloh a CO v resortu FMEP.

tronické odbornosti ve Svařaru do nové etapy svého rozvoje. Dosáhne se tak výraznějšího vlivu zejména na technicky orientovanou mládež a zvýší se podíl Svařaru na její polytechnické výchově. Těmito opatřeními přispějí elektronické odbornosti ve Svařaru ještě ve větší míře k naplňování závěrů XVI. sjezdu KSC o potřebě přípravy odborných kádrů pro urychlenou elektronizaci národního hospodářství i pro zabezpečení vědeckotechnického rozvoje jakožto hlavního článku zvyšování efektivnosti československé ekonomiky.

JaK

OPERAČNÍ ZESILOVAČE

V TEORII A
PRAV

RNDr. V. Brunnhofer, RNDr. L. Kryška, ing. V. Teska

Operační zesilovač (OZ) je pojmenování starého data, neboť vždy tvořil (a bude tvořit) základ každého analogového počítacího. Analogové počítací elektronkové éry byly samozřejmě osazovány elektronkovými počítacími zesilovači, které byly později nahrazovány zesilovači tranzistorovými. Takové zesilovače byly velmi komplikované, jejich konstrukce a údržba byly velmi náročné, a proto se jejich použití omezovalo kromě analogových počítacích na různé speciální aplikace (náročná měřicí technika apod.).

S rozvojem monolitické technologie výroby složitých obvodů v integrované formě se aplikace operačních zesilovačů rozšířily. Nízká cena monolitických operačních zesilovačů umožnila jejich využití i v amatérských podmínkách. Vedle měřicí a regulační techniky, kam zasáhl OZ nejdříve, se s operačními zesilovači setkáváme i v některých zdrojových, v přijímačích, ve vysílačích, neboť umožnily zjednodušit a zkvalitnit mnoho různých obvodů. Vzhledem k jejich nízké ceně se v mnoha západních pramech setkáváme i s tím, že integrovaný operační zesilovač najdeme na takovém místě zapojení, kde by stejnou funkci zastal jeden jediný tranzistor. Operační zesilovač však vyžaduje obvykle méně pasivních součástek a proto je mu dávána přednost.

Protože monolitické operační zesilovače, zvláště s ohledem na některé vlastnosti, nedosahují pro některé aplikace kvality zesilovačů s diskrétními prvky, jsou v měřicí a výpočetní technice využívány operační zesilovače hybridní.

V současné době již se téměř nesetkáme s diskrétním operačním zesilovačem. Ve spotřební elektronice se používají monolitické operační zesilovače, v měřicí a výpočetní technice (pokud jsou požadovány nebezpečné parametry) se používají operační zesilovače hybridní. Z hlediska obecné teorie však mezi nimi žádné rozdíly nejsou.

Základní vlastnosti a pojmy z teorie operačních zesilovačů

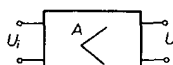
Vzhledem k tomu, že operační zesilovače byly původně určeny pro analogové

počítací, odpovídají jejich vlastnosti speciálním požadavkům, neboť analogový počítací (na rozdíl od počítacího číslicového) pracuje se spojitými veličinami – napětím nebo proudem, které jsou uměrně zadánym číslem nebo hodnotám veličin, které počítací zpracovává. Tak např. jednoduchým prvkem analogového počítací je obyčejný dělič napětí – realizuje matematickou operaci dělení konstantou. U složitějších aplikací je však třeba používat nějaký aktivní prvek – např. pro násobení konstantou (větší než jedna) je třeba zesilovač, jehož zisk je rovný dané konstantě. Obdobně lze realizovat i jiné matematické operace jako je sčítání, odčítání, násobení dvou čísel, umocňování apod. Pro každou tuto funkci lze navrhnut a konstruovat obvod, který ji v analogové formě realizuje. Každý analogový počítací by měl všechny výše zmíněné (i jiné) funkce realizovat, měl by tedy obsahovat i všechny obvody realizující tyto operace a to v několika kusech, neboť každá úloha může vyžadovat několik násobení, sčítání, derivování apod. Proto bylo snahou jednotlivé prvky co nejvíce unifikovat, aby byly pokud možno univerzální. Prvkem, který tuto unifikaci umožnil, byl právě počítací (nebo také častěji nazývaný operační) zesilovač.

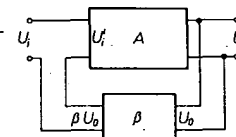
Podlejme se na obr. 1, na němž je obyčejný zesilovač se zesílením A . Výstupní napětí U_0 je dáno vztahem

$$U_0 = AU_1 \quad (1)$$

kde U_1 je vstupní napětí. Zavedme nyní zpětnou vazbu, tzn. že část výstupního napětí přičteme k napětí vstupnímu (napříč zpětnou vazbou) – viz obr. 2. Pak na vstupu zesilovače nebude napětí U_1 , nýbrž napětí



Obr. 1. Zesilovač jako čtyřpoložka



Obr. 2. Zesilovač s napěťovou zpětnou vazbou

$$U'_1 = U_1 + \beta U_0 \quad (2)$$

A na výstupu bude

$$U_0 = AU'_1 = A(U_1 + \beta U_0) \quad (3)$$

$$\text{A odtud } U_0 = \frac{A}{1 - A\beta} U_1 \quad (4)$$

Vidíme, že se zesílení změnilo a závisí nyní jednak na původní velikosti A , jednak na činiteli zpětné vazby β . Je-li součin $A\beta < 0$, je absolutní hodnota zesílení menší než A a mluvíme o záporné zpětné vazbě. Je-li $A\beta > 0$, zesílení se zvětšuje, zpětná vazba je kladná. Blíží-li se součin $A\beta$ jedničce, blíží se zesílení k nekonečnu a zesilovač se rozkmitá.

Uvažujme nyní zápornou zpětnou vazbu, pro zjednodušení A bude záporné a β kladné. Budeme-li nyní zvětšovat A , bude se výraz (4) blížit výrazu

$$U_0 = \frac{A}{1 - A\beta} U_1 = \frac{1}{\frac{1}{A} - \beta} U_1 \Rightarrow -\frac{1}{\beta} U_1 \quad (5)$$

neboť $\frac{1}{A}$ se blíží k nule.

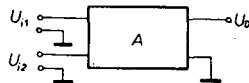
Z výrazu (5) je zřejmé, že bude-li A rovnou nekonečnu, budou vlastnosti zesilovače určeny výhradně vlastnostmi zpětné vazby, což je velmi výhodné, neboť různé operace bude možno realizovat týmž zesilovačem a to vždy jenom změnou obvodu zpětné vazby.

Tak jsme odvodili první vlastnost, kterou požadujeme od operačního zesilovače – co největší, teoreticky nekonečné zesílení.

V dalších úvahách si všimneme vlivu vstupní a výstupní impedance. Od zesilovače se požaduje, aby zesílení bylo nezávislé na zatížení výstupu zesilovače, což v praxi znamená, že U_0 by nemělo záviset na zatěžovací impedance. Tento požadavek bude splněn pouze tehdy, bude-li výstupní impedance zesilovače nulová (v ideálním případě). V praxi požadujeme proto zesilovač s co nejmenším výstupním odporem.

Vstupní odpor zesilovače zatěžuje jeden obvod, ke kterým je jeho vstup připojen, a jednak i obvod zpětné vazby. Aby byly oba obvody zatěžovány co nejméně, musí být výstupní odpor co největší. V ideálním případě je výstupní odpor nekonečný.

Další nutnou podmínkou k tomu, aby platil vztah (3), je nutnost za všechny okolnosti zajistit platnost vztahu (1) a to také



Obr. 3. Diferenční zesilovač

i pro $U_1 = 0$, kdy se požaduje, aby také $U_0 = 0$, to znamená, že nulovému vstupnímu napětí musí odpovídat nulové napětí výstupní. Tato podmínka je nutná k tomu, aby na vstupu i výstupu byla zachována „stejnosměrná nula“.

Na obr. 1 a 2 jsou zesilovače nakresleny tak, že mají dvě vstupní a dvě výstupní svorky. Přivedeme-li mezi vstupní svorky nějaké napětí U_1 , bude mezi výstupními svorkami napětí AU_1 , aniž bychom brali v úvahu, jaký potenciál je mezi oběma dvojicemi svorek. V každém zařízení je však obvykle definován nulový potenciál (zem), ke kterému vztahujeme všechny ostatní potenciály. Na tuto „zem“ obvykle připojujeme jednu z výstupních svorek zesilovače a jako výstupní napětí definujeme napětí druhé svorky vůči „zemii“. U vstupních svorek máme dvě možnosti. Bud jednu ze svorek uzemníme (tak, aby výsledné zesílení bylo záporné) a získáme tak klasický operační zesilovač, nebo neuzemníme žádnou z obou vstupních svorek. Z hlediska nulového potenciálu bude výstupní napětí záviset na rozdílu obou napětí vstupních (obr. 3), neboť

$$U_1 = U_{11} - U_{12} \quad (6)$$

kde U_{11} a U_{12} jsou napětí vstupů vůči zemi. Vzhledem k tomu, že výstupní napětí závisí na rozdílu obou vstupních napětí, nazývá se takový zesilovač diferenční. Uzemněním jednoho ze vstupů získáme zesilovač, který jsme popsali již dříve. Výhodnější je však zesilovač diferenční, neboť jeho použití je univerzálnější. Vstupy označujeme jako invertující (-) a neinvertující (+), podle toho, jaký výstupní signál obdržíme při uzemnění toho či onoho vstupu.

U diferenčního zesilovače uvažujeme jednu velmi důležitou vlastnost. Ze vztahů (1) a (6) vyplývá, že jeho výstupní napětí závisí pouze na rozdílu napětí U_{11} a U_{12} a nikoli na jejich střední hodnotě

$$\frac{U_{11} + U_{12}}{2} = U_{CM} \quad (7)$$

Napětí U_{CM} nazýváme součtový signál (Common Mode) a výstupní napětí diferenčního zesilovače by na něm nemělo záviset. Schopnost potlačit vliv součtového signálu na výstupní napětí označujeme jako činitel potlačení součtového signálu (často označováno CMR, Common Mode Rejection) a u ideálního zesilovače by jeho velikost měla být nekonečná.

Tím jsme definovány základní vlastnosti ideálního operačního zesilovače nebo diferenčního zesilovače. Zbývá již jen doplnit „maličkost“ – všechny zmíněné vlastnosti by měly být zachovány v celém spektru kmitočtů, počínaje nulovým tzn. stejnosměrným signálem.

Shrneme si tedy vlastnosti ideálního operačního zesilovače: nekonečný vstupní odpor, nulový výstupní odpor, nekonečné zesílení, diferenční vstup s nekonečným potlačením součtového signálu, zachování nuly a nezávislostí všech parametrů na kmitočtu. U reálného operačního zesilovače není ovšem splněna ani jedna z uvedených vlastností. Vlastnosti reálného zesilovače se uvedeným ideálním vlastnostem (ne však všem na jednu) pouze více či méně přibližují. V praxi tedy musíme počítat s reálnými

parametry operačních zesilovačů. Musíme vždy posoudit jejich vliv na přesnost navrhovaného zařízení, míru odchylky od ideálních parametrů a musíme být též schopni tyto parametry měřit.

Základní vlastnosti a měření OZ

V předešlém odstavci jsme si ukázali, jaké vlastnosti by měl mít ideální operační zesilovač a řekli jsme si, že reálný zesilovač bude mít vlastnosti horší. Vzhledem k tomu, že v teorii operačních zesilovačů je výhodnější všechny vztahy zpracovat pro ideální operační zesilovač a reálnost skutečných parametrů zavést do výpočtu jako chyby, budeme tedy posouvat reálné vlastnosti jako chyby a pokusíme se vliv těchto chyb odhadnout. Schopnost odhalit vliv některého parametru reálného zesilovače může konstruktérovi ušetřit mnoho času, který by strávil přemýšlením, proč zařízení, navržené plně ve shodě s teorií, nefunguje. Chyby si tedy rozdělíme do tří základních skupin:

- a) Chyby početní – jsou způsobeny konečnou hodnotou vlastnosti reálného zesilovače (zisk, vstupní odpor atd.). Vlastnosti v tomto případě nejsou dány jen obvody zpětné vazby, ale i samotnými vlastnostmi zesilovače.
- b) Statické chyby, které jsou způsobeny přítomností zdrojů parazitních proudů a napětí uvnitř zesilovače, které mění výstupní napětí (po ustálení pracovního režimu).
- c) Dynamické chyby vznikají při činnosti OZ v přechodovém stavu a jsou způsobeny kmitočtovou závislostí zisku při otevřené smyčce (tj. bez připojené zpětné vazby) a maximálním proudem, který jsou v takovém přechodovém stavu schopny zpracovat některé stupně zesilovače (jev slew-rate). Do této skupiny se obvykle zařazuje i vliv generátorů šumu, který se přičítá ke vstupnímu signálu.

Chyby početní

Vraťme se ke vztahu (4) – předpokládejme invertující zesilovač, tj.: $A < 0, \beta > 0$, tj. zápornou zpětnou vazbu.

Chceme-li zesílení označit kladným číslem, změní se ve výrazu (4) znaménko:

$$-U_0 = \frac{A}{1+\beta A} U_1 \quad (8)$$

Bude-li A teoreticky nekonečné, přejde výraz v

$$U'_0 = -\frac{1}{\beta} U_1 \quad (9)$$

Výraz (8) lze napsat ve tvaru

$$U_0 = -\frac{1}{1+\frac{1}{\beta A}} \frac{1}{\beta} U_1 \quad (10)$$

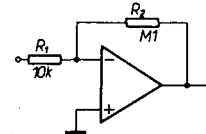
Porovnáme-li výrazy (9) a (10), dostaneme

$$U_0 = \frac{1}{1+\frac{1}{\beta A}} U'_0 \Rightarrow U'_0 = (1 + \frac{1}{\beta A}) U_0 \quad (11)$$

Vidíme, že pro $A < \infty$ bude skutečné zesílení menší než teoretické podle (9) u ideálního zesilovače. Skutečné zesílení bude dáné jak zesílením zesilovače, tak činitelem zpětné vazby a chybou ϵ můžeme definovat jako

$$\epsilon = \frac{1}{\beta A} \Rightarrow A_0 = \frac{1}{1+\epsilon} A'_0 \quad (12)$$

kde A je zesílení zesilovače, β činitel zpětné vazby, A_0 zesílení skutečného ob-



Obr. 4. Invertující zesilovač se ziskem 10

vodu se zpětnou vazbou a A'_0 zesílení s ideálním operačním zesilovačem. Tento vztah platí obecně.

Ukážeme si na příkladu, jak vypadá výpočet chyby podle (12). Mějme obyčejný invertující zesilovač podle obr. 4. V tomto případě se jedná o poněkud jiný druh zpětné vazby (proudová zpětná vazba, zatím jsme hovořili o napěťové). V tomto případě platí pro zesílení zesilovače místo vztahu (8) vztah

$$U'_0 = -\frac{A}{1+A\beta} U_1 (1-\beta) \quad (13)$$

Vidíme, že vztahy (9) až (12) zůstanou v platnosti, pouze pravé strany rovnic (9) a (10) je třeba násobit činitelem $(1-\beta)$. Zesílení s ideálním zesilovačem bude tedy

$$A'_0 = \frac{1-\beta}{\beta} \quad (14)$$

Aplikujme vztah (12) na zapojení z obr. 4, kde bude použit obvod MAA741. Uvažujeme kmitočet 1 kHz. Činitel zpětné vazby je

$$\beta = \frac{R_1}{R_1 + R_2} = \frac{1}{11} \quad (15)$$

Teoretické zesílení

$$A'_0 = \frac{1-\beta}{\beta} = 10 \quad (16)$$

Zesílení A zesilovače MAA741 na 1 kHz je asi 1000 (podle katalogu). Tzn., že chyba bude

$$\epsilon = \frac{1}{\beta A} = \frac{11}{1000} = 1,1 \% \quad (17)$$

Skutečné zesílení bude podle (12)

$$A_0 = \frac{1}{1+\epsilon} A'_0 = \frac{1}{1,011} \cdot 10 = 9,89 \quad (18)$$

Pro malé ϵ (blíží-li se skutečné zesílení teoretickému) můžeme použít zjednodušený postup. Je-li $A_0 = A'_0$, pak z (12) plyne

$$\epsilon = \frac{A_0}{A}$$

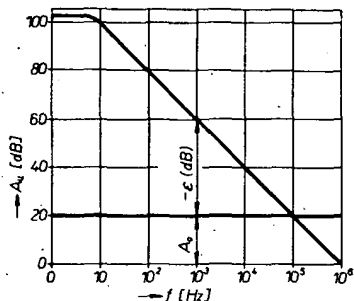
Vyjádříme-li zesílení jako zisk v dB, dostaneme z (18)

$$-\epsilon_{dB} = A_{dB} - A_{0dB} \quad (19)$$

Pro předchozí případ ($A_0 = 20$ dB, $A = 60$ dB), pak:

$$-\epsilon_{dB} = 40 \text{ dB} \rightarrow \epsilon = 1 \% \quad (20)$$

Uvedenou metodu můžeme použít i ke grafickému určení chyby (obr. 5, graf je prevzat z katalogu). Metoda může být použita pro $\epsilon \leq 5 \%$, při větším je již neplatí vztah (18) a je nutno brát v úvahu vztah (12). Toto omezení vyplývá z faktu, že definované výrazem (12) je názornější – odráží se v něm, že přesnost výpočtu je



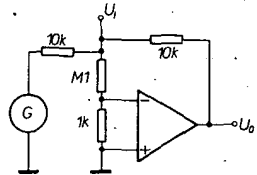
Obr. 5. Graf pro odhad chyby v zesílení

jednoznačně (při zanedbání ostatních chyb) dáná zesílením a činitelem zpětné vazby. Pokud bychom brali v úvahu, že ideální velikost zesílení A'_0 je vlastně základem pro výpočet chyby a vliv konečného zisku zesílovače je vlastně onou chybou, museli bychom ji definovat jako:

$$\epsilon' = \frac{\epsilon}{1 + \epsilon} \rightarrow A_0 = (1 - \epsilon') A'_0 \quad (21)$$

Zesílení zesílovače bez zpětné vazby (hovoříme o zesílení při otevřené smyčce) se měří jako poměr výstupního napětí při daném zátěži k rozdílovému napětí na vstupe. Vhodné zapojení je na obr. 6. Napěťové zesílení zesílovače je:

$$A = 101 \frac{U_0}{U_1} \quad (22)$$



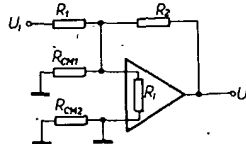
Obr. 6. Zapojení pro měření zesílení s otevřenou smyčkou

Zesílení se měří při různých napájecích napětích, při změnách teplot apod. U monolitických obvodů se zesílení obvykle zvětšuje se zvětšujícím se napájecím napětím a zmenšuje se se zvýšující se teplotou. V oboru nízkých kmitočt se zesílení v závislosti na kmitočtu obvykle nemění, proto lze „stejnospěrné“ zesílení určit střídavým napětím o kmitočtu jednotek Hz (v konstrukčním katalogu TESLA je pro typ MAA741 doporučen kmitočet 5 Hz).

K určení dalších chyb způsobených odchylkami reálného zesílovače od zesílovače ideálního je možné použít různé metody. Zvolíme takovou metodu, která umožní každou chybu převést na chybu, způsobenou zmenšením zesílení ideálního zesílovače a použijeme pro výpočet dříve uvedené vzorce. Budeme vždy postupovat dvou krocích:

- Vypočteme vliv parametru na zesílení s otevřenou smyčkou, podobně jako ve (12), a budeme uvažovat pouze zisk zapojení s otevřenou smyčkou.
- Podle (12) vypočteme vliv na vlastnosti zesílovače s uzavřenou smyčkou zpětné vazby.

Ilustrujme si tento postup při úvaze o vlivu konečné velikosti vstupního odporu reálného zesílovače. Mějme opět jednoduchý invertující zesílovač, do něhož si přikreslíme vstupní odpor zesílovače –



Obr. 7. Invertující zesílovač se znázorněným vstupním odporem

obr. 7. R_1 je diferenční vstupní odpór, R_{CM1} a R_{CM2} jsou součtové odpory proti zemi, které jsou podstatně větší než R_1 , a proto je v tomto výpočtu zanedbáme. Tyto odpory je nutno brát v úvahu v zapojeních s velkým vstupním odporem (např. sledovač). Vypočteme-li výraz

$$\frac{U_o}{U_{ID}} = \frac{A}{1 + R_0 \left(\frac{1}{R_2} + \frac{1}{R_z} \right)} = A_R \quad (23)$$

vidíme, že (23) má podobný tvar jako (12), můžeme tedy vypočítat zesílení s otevřenou smyčkou s ohledem na vstupní odpór, když ve vztahu (12) místo ϵ použijeme výraz

$$\epsilon_R = \frac{R_1 R_2}{R_1 (R_1 + R_2)} \quad (24)$$

Jako příklad použijeme opět obvod MAA741 v invertujícím zapojení podle obr. 4. Budeme uvažovat $R_1 = 50 \text{ k}\Omega$, $R_2 = 500 \text{ k}\Omega$. Vyjdeme z katalogových údajů: $R_1 = 300 \text{ k}\Omega$ (min), tedy $\epsilon_{RI} = 0,15$ (podle (24)), zesílení s otevřenou smyčkou na kmitočtu 1 kHz nebude tedy 1000, ale podle (12) pouze

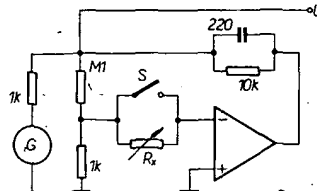
$$A_R = \frac{1}{1 + 0,15} \cdot 1000 = 870.$$

Další výpočet je stejný jako v předchozím případě a výsledek je:

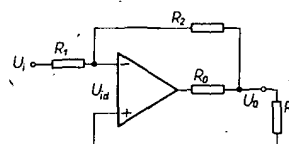
$$\epsilon = \frac{1}{A_R \beta} = \frac{11}{870} = 1,3 \%$$

Měřit vstupní odpór operačních zesílovačů je poměrně obtížné, neboť ve všech zapojeních se vstupní odpór projevuje jako by byl vynásoben zesílením (např. u MAA741 je tento součin minimálně 15 000 MΩ). V případě potřeby je možno použít obvod podle obr. 8. Použijeme stejný kmitočet jako při měření zesílení s otevřenou smyčkou a při sepnutém spínači změříme napětí U_L . Pak spínač rozpojíme a nastavujeme R_x tak, aby se napětí U_L zvětšilo na dvojnásobek. Pak platí, že

$$R_x = R_1.$$



Obr. 8. Zapojení pro měření vstupního odporu



Obr. 9. Invertující zesílovač se znázorněným výstupním odporem

U reálného operačního zesílovače platí, že výstupní odpór není nulový. Můžeme použít stejnou úvahu jako při výkladu o vlivu konečného vstupního odporu. Zapojení operačního zesílovače si můžeme pro tento případ nahradit schématem na obr. 9. Podobně jako v (23) můžeme vypočítat zesílení

$$\frac{U_o}{U_{ID}} = \frac{A}{1 + R_0 \left(\frac{1}{R_2} + \frac{1}{R_z} \right)} =$$

$$A_R = \frac{A}{1 - \frac{R_0 (R_2 - R_z)}{R_z R_2}} \quad (25)$$

Pro výpočet zesílení s otevřenou smyčkou použijeme vztah (25) a vypočítáme chybu, způsobenou konečným zesílením.

Jako příklad vypočítáme chybu způsobenou vstupním odporem operačního zesílovače pro typ MAA501 podle obr. 9: $R_1 = 1,5 \text{ k}\Omega$, $R_2 = 3 \text{ k}\Omega$, $R_z = 3 \text{ k}\Omega$, $f = 1000 \text{ Hz}$. Z katalogu zjistíme, že výstupní odpór $R_0 = 150 \text{ }\Omega$ a zesílení při 1 kHz je 1000 (při kompenzaci, kterou jsme v tomto případě povinni použít). Z (25) vypočteme $\epsilon_R = 0,1$. S použitím výrazu (25) vypočteme zesílení s otevřenou smyčkou

$$A_R = \frac{A}{1 + \epsilon_R} = \frac{1000}{1,1} = 909 \quad (26)$$

Z výrazu (15) vypočteme $\beta = 1/3$ a z výrazu (12) chybu

$$\epsilon = \frac{1}{A_R \beta} = \frac{3}{909} = 0,33 \% \quad (27)$$

Přesto, že příklad byl zvolen tak, aby chyba „vyšla“ větší (např. MAA741 má $R = 60 \text{ }\Omega$), je poměrně malá. V praxi totiž bývá obvykle chyba způsobená nenulovým vstupním odporem mnohem menší, než chyba způsobená konečným vstupním odporem (kromě moderních OZ na vstupu s tranzistory řízenými polem).

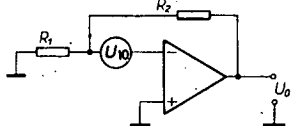
Vzhledem k poměrně malému vlivu na přenosnost nebyvá výstupní odpor „sledovanou“ veličinou a např. konstrukční katalog TESLA Rožnov neuvádí vůbec pro lineární IO doporučené zapojení pro měření výstupního odporu. Nejjednodušší je měřit úbytek výstupního napětí při připojení zátěže. Zesílovač zapojíme s otevřenou smyčkou (tj. bez zpětné vazby) a změříme výstupní napětí. Pak zatížíme operační zesílovač zatěžovacím odporem R_z . Výstupní odpór lze vypočítat ze vztahu

$$R_0 = R_z \frac{\Delta U_0}{U_0} \quad (28)$$

kde ΔU_0 je změna výstupního napětí při připojení zátěže a U_0 je výstupní napětí bez připojené zátěže. Při měření musíme dodržet všechna omezení daná výrobcem (především pokud jde o minimální R_z).

Chyby statické

U monolitických integrovaných obvodů je nejpodstatnější statickou chybou tzv. vstupní napěťová nesymetrie, která je způsobena nedokonalou symetrií vstupních obvodů operačního zesílovače (rozdíly U_{BE} vstupních tranzistorů, rozdíly v zesílení, odporech atd.). Důsledkem vstupní napěťové nesymetrie je nenulové výstupní napětí při nulovém napětí mezi vstupy – tzn. že převodní charakteristika neprochází nulou. Vstupní napěťová nesymetrie je definována jako napětí, které je nutno přivést na vstupní svorky, aby



Obr. 10. Náhradní zapojení pro měření vlivu vstupní napěťové nesymetrie

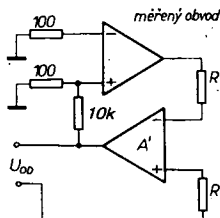
výstupní napětí bylo nulové a udává se obvykle v milivoltech.

K posouzení vlivu napěťové nesymetrie na vlastnosti zesilovače s uzavřenou smyčkou zpětné vazby poslouží představa, že se jedná o ideální zesilovač, který má v sérii s jedním vstupem zapojen zdroj chybového napětí (obr. 10). Budeme-li předpokládat nulové vstupní napětí, výstupní napětí pak bude přímo rovné chybě. Uvažujeme-li, že zesilovač je ideální, pak platí pro obr. 10

$$U_o = \frac{U_{10}(R_1 + R_2)}{R_1} - U_{10} \frac{1}{\beta} \quad (29)$$

Jako příklad lze uvést zesilovač s obvodem MAA741 se zesílením 100, pro které je např. $R_1 = 1 \text{ k}\Omega$, $R_2 = 100 \text{ k}\Omega$, $\beta = 1/101$. V katalogu je pro obvod MAA741 udáváno $U_{10 \max} = 6 \text{ mV}$ – tomu podle výrazu (29), odpovídá $U_o = 0,606 \text{ V}$. I když je U_{10} v praxi většinou menší (2 až 3 mV), vidíme, že pro zesilovač s větším zesílením je chyba poměrně podstatná.

Vstupní napěťovou nesymetrii (jako os-tatně všechny ostatní veličiny) lze měřit několika způsoby. Měření podle definice je možné podle obr. 11. Zesilovač A' je



Obr. 11. Zapojení pro měření vstupní napěťové nesymetrie

zdrojem rozdílového napětí a to takového, aby výstupní napětí měřeného zesilovače bylo nulové. V daném případě je napěťová vstupní nesymetrie

$$U_{10} = \frac{U_{10}}{101}$$

Další možností, jak měřit vstupní napěťovou nesymetrii, je použít zapojení podle obr. 10 s vhodně volenými součástkami. Volíme-li např. $R_1 = 100 \Omega$, $R_2 = 10 \text{ k}\Omega$, bude podle výrazu (29)

$$U_{10} = \frac{U_{10}}{101} \quad (30)$$

Tato metoda je většinou doporučována pro měření vstupní napěťové nesymetrie monolitických operačních zesilovačů.

Vstupní napěťová nesymetrie je sice charakteristická pro daný operační zesilovač, ale i pro daný zesilovač je to veličina, která závisí na mnoha parametrech (teplota, napájecí napětí, čas, atd.). Změnám vstupní napěťové nesymetrie se obvykle říká drift. Nejvýznamnějším činitelem způsobujícím drift je teplota, a proto hovoříme o teplotním driftu vstupní napěťové nesymetrie. Číselně se drift vyjadřuje vztahem

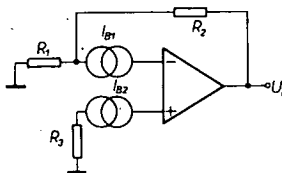
$$\Delta U_{10} = \frac{\Delta U_{10}}{\Delta T} \quad (31)$$

kde ΔU_{10} je změna vstupní napěťové nesymetrie při změně teploty o ΔT . Obvykle se drift vyjadřuje v $\mu\text{V}/\text{K}$. Podobným způsobem se definiuje i jiné druhy driftu.

Další vlastnosti reálných operačních zesilovačů je tzv. vstupní klidový proud. Když jsme mluvili o vstupní napěťové nesymetrii, řekli jsme si, že je to takové napětí, které musíme připojit mezi vstupní svorku operačního zesilovače, aby na výstupu byla nula. Uvažovali jsme v tomto případě zdroj napětí s nulovým vnitřním odporem a nemuseli jsme uvažovat proud dodávaný z tohoto zdroje. Dále budeme uvažovat poněkud obměněný případ: jeden svorku uzemníme a druhou připojíme na zdroj takového napětí, aby výstupní napětí zesilovače bylo nulové. Do každého ze vstupů reálného operačního zesilovače potéce tedy proud; označme je I_{B1} a I_{B2} . Tyto proudy budou obecně různé (většinou se příliš nelíší). Výstupní klidový proud je definován jako aritmetický průměr obou těchto proudů

$$I_{IB} = \frac{I_{B1} + I_{B2}}{2} \quad (32)$$

Pro posouzení vlivu vstupního proudu na vlastnosti zesilovače s uzavřenou smyčkou zpětné vazby si můžeme zesilovač představit jako ideální operační zesilovač, který má v sérii s každým ze vstupů zdroj proudu I_B (obr. 12). Výstupní napětí



Obr. 12. Náhradní zapojení pro měření vlivu vstupních proudů

bude dánou vztahem

$$U_o = -R_2/I_{B1} + R_3 \left(\frac{R_1 + R_2}{R_1} \right) I_{B2} \quad (33)$$

Vidíme, že výstupní napětí závisí na obou proudech. Chceme-li vyjádřit vliv součtového signálu, musíme vztah (33) upravit

$$U_o = I_{IB} \left(R_3 \frac{R_2 + R_1}{R_1} - R_2 \right) + \frac{I_{B1} - I_{B2}}{2} \left(R_2 + R_3 \frac{R_1 - R_2}{R_1} \right) \quad (34)$$

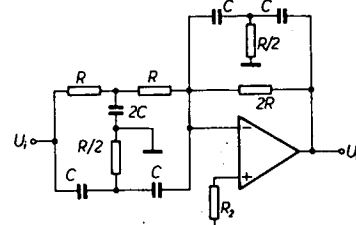
Z tohoto výrazu je již na první pohled patrný vliv vstupního klidového proudu – je to první člen výrazu (34). Je z něj však též zřejmé, že lze jednoduchou volbou odporu R_3 (který se jinak ve smyčce zpětné vazby neuplatňuje) tento člen „vynulovat“ a vyloučit tak vliv vstupního klidového proudu.

$$R_3 \frac{R_1 + R_2}{R_1} - R_2 = 0, R_3 = \frac{R_1 R_2}{R_1 + R_2} \quad (35)$$

Výraz (34) pak přejde do tvaru

$$U'_o = R_2(I_{B2} - I_{B1}) = -R_2 I_{IB} \quad (36)$$

V tomto případě výstupní napětí už nezávisí na vstupním klidovém proudu, ale na rozdílu obou proudů, který nazýváme výstupní proudovou nesymetrií, což je též jeden z důležitých činitelů, který je obvykle mezi parametry operačního zesilovače, uváděnými výrobcem v katalogu. Je obvykle podstatně menší než vstupní



Obr. 13. Příklad zapojení s operačním zesilovačem (pásmová zádrž)

proud, neboť proudy I_{B1} a I_{B2} jsou v zásadě stejně, jejich rozdíl je dán pouze nedokonalou symetrií vstupních obvodů a tedy bývá menší než jejich průměrná hodnota, výstupní klidový proud. Jak je patrné, výstupní klidový proud jsme v zapojení podle obr. 12 mohli velmi snadno vykompenzovat vhodnou volbou odporu R_3 , který se jinak na vlastnostech zesilovače s uzavřenou smyčkou zpětné vazby neuplatnil. Když se podíváme na obr. 12 zjistíme, že vztah (35) vlastně udává, že ke každému vstupu jsou připojeny stejné odpory. Ve skutečnosti si můžeme představit, že výstupní odpór operačního zesilovače je nulový, tzn. že v sérii s odporem R_2 není již žádný odpór a z „pohledu“ invertujícího vstupu jsou odpory R_1 a R_2 vlastně zapojeny paralelně. Tedy z „pohledu“ jednotlivých vstupů jsou k oběma výstupům připojeny stejné odpory. Tento závér se dá zobecnit tak, že chceme-li maximálně potlačit vliv výstupního klidového proudu, musí být k oběma výstupům připojeny stejné odpory (myslí se tím příslušná kombinace všech odporů, připojených k jednotlivým výstupům). Cím větší odpory v zapojení používáme, tím více tento požadavek vystupuje do popředí.

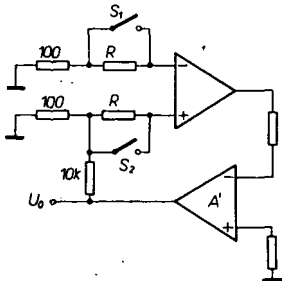
Připomeňme si ještě definici výstupní proudové nesymetrie, jak jsme o ní hovořili v předešlých odstavcích:

$$I_{10} = I_{B1} - I_{B2} \quad (37)$$

Předcházející úvaha ohledně kompenzace výstupního klidového proudu neplatí pouze pro zapojení na obr. 12, pro které jsme vztah odvodili, ale pro jakékoli zapojení s operačními zesilovači. Jako příklad si můžeme uvést zapojení výzevového filtru – obr. 13. O funkci si povíme později, teď si pouze ukážeme, jak je nutno postupovat při kompenzaci výstupního klidového proudu. K neinvertujícímu výstupu je připojen pouze odpór R_2 . K invertujícímu výstupu je připojeno impedanční několik. Výstupní klidový proud je stejnosměrný, proto postačí uvažovat jen reálné odpory. Ve výstupní větví (dvojitě T) jsou zapojeny dva odpory R v sérii (tedy odpór $2R$), ve zpětné vazbě je zapojen odpór $2R$, ke výstupu (–) je tedy připojen odpór R (paralelní kombinace dvou odporů $2R$). Podle dosavadních úvah, tj. vlastně podle vztahu (35) dostaneme, že je-li $R_2 = R$, bude výstupní klidový proud kompenzován.

Výstupní proudy můžeme měřit opět několika způsoby. Jako první si uvedeme stručně způsob, kterým se měří výstupní proudy přímo podle definice. Zapojení je na obr. 14. Měří se napětí U_0 při různých polohách spínačů podle tabulky (R – rozepnut, S – sepnut)

	S ₁	S ₂
U ₀₁	R	S
U ₀₂	S	R
U ₀₃	S	S
U ₀₄	R	R

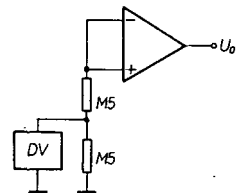


Obr. 14. Zapojení pro měření vstupních proudů

Vstupní proudy jsou pak dány

$$I_{IB} = \frac{U_{02} - U_{01}}{101 \cdot 2R} \quad (38)$$

$$I_{IO} = \frac{U_{04} - U_{03}}{101R} \quad (39)$$



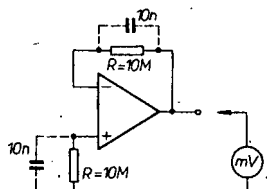
Obr. 15. Jednodušší zapojení pro měření vstupního klidového proudu

Další metoda měření vstupního klidového proudu je jednodušší než metoda předcházející – je to vlastně přímé měření vstupního proudu. Měřicí obvod je na obr. 15. DV je číslicový voltmetr (není podmínkou) se vstupním odporem alespoň 100 MΩ (je podmínkou). Vstupní klidový proud je pak dán vztahem:

$$I_{IB} = \frac{U_0}{R} \quad (40)$$

Vzhledem k volbě součástek na obr. 15 je údaj napětí v mV číselně roven proudu v nA.

Vstupní proudová nesymetrie se dá měřit obdobným způsobem jako vstupní napěťová nesymetrie a to měřením napěti na výstupu zesilovače se zpětnou vazbou a uzemněným vstupem a výpočtem podle vztahu (36). Zapojení je na obr. 16, kde

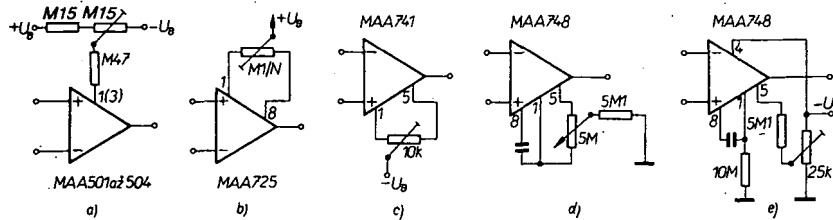


Obr. 16. Jednodušší zapojení pro měření vstupní proudové nesymetrie

jsou čárkován naznačeny kondenzátory pro zlepšení stability zesilovače. Je zřejmé, že v tomto zapojení je plně kompenzován vstupní klidový proud a výstupní napětí bude dán vztahem (36). Vzhledem k volbě součástek je výpočet dán vztahem:

$$I_{IO} = 0,1U_0 \quad [\text{nA; mV}] \quad (41)$$

Poslední dvě měřicí metody jsou určeny především pro OZ typu MAA741



Obr. 17. Kompenzace vstupní napěťové nesymetrické pro různé typy typy OZ

a MAA748. Pro jiné obvody jsou zapojení obdobná.

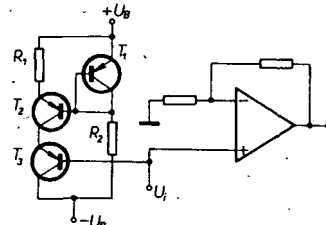
Obdobným způsobem, jakým jsme definovali napěťový drift, definuje se i drift vstupního klidového proudu a vstupní proudové nesymetrie. Vyjadřuje se v jednotkách proudu (nA nebo pA) na °K. Kromě toho lze definovat změny těchto parametrů při změnách dalších veličin, především napájecího napětí (bývá někdy i uveden v katalogu).

Vstupní nesymetrii a klidové proudy je možné kompenzovat v zásadě dvěma rozdílnými způsoby. V prvním případě se pomocí vnějších součástek vyvází vstupní obvody operačního zesilovače. Pro tuzemské operační zesilovače jsou kompenzační zapojení na obr. 17. Na obr. 17a je zapojení pro obvody řady MAA501 až MAA504 (pro obvod MAA503 platí číslo vývodů v závorce). Nevhodou tohoto způsobu kompenzace je zmenšení zisku při otevřené smyčce asi na polovinu. Na obr. 17b je zapojení pro obvod MAA725. Obvody MAA741 se kompenzují podle obr. 17c. Obvody MAA748 je možné kompenzovat dvěma způsoby, a to podle obr. 17d nebo obr. 17e.

Druhá metoda spočívá v kompenzaci nesymetrie přivedením proudu nebo napěti do některého ze vstupů tak, aby vstupní nesymetrii právě vykompenzovali (obr. 18). Na obr. 18a a obr. 18b jsou možné kompenzace vstupní proudové a napěťové nesymetrie pro invertující zesilovač a na obr. 18c je kompenzace neinvertujícího zesilovače. Chceme-li neinvertujícímu zesilovači zesilovat napětí z generátoru, který má velký vnitřní

odpor, můžeme použít zapojení podle obr. 18d. Napěťový sledovač (o jeho funkci si povíme později) je možné kompenzovat v zapojení podle obr. 18e.

Všechny uvedené druhy kompenzace jsou sice účinné, avšak jen pro podmínky, pro něž byly kompenzační prvky navrženy, neboť jak vstupní proud, tak vstupní nesymetrie jsou závislé na mnoha činitelích (teplota, napájecí napětí atd.) – takže např. určitým napětím je obvod kompenzován pouze při jediné teplotě, nebo pro jediné napájecí napětí atd. Ten toto problém bylo v zásadě možné řešit použitím teplotně závislých odporů, nejlepším řešením je však konstrukce kompenzačního obvodu, který je zapojen jako komplementární ke vstupnímu obvodu operačního zesilovače. K ideální kompenzaci bylo třeba použít přesně komplementární tranzistory ke vstupním tranzistorům OZ, ale takové těžko najdeme, avšak i použití běžných tranzistorů umožňuje podstatně zmenšit vliv okolní teploty a ostatních činitelů na kompenzování nesymetrie. Takové zapojení bylo použito např. v AR B5/76 při konstrukci multimetu DMM1000, kde čtenář najde podrobnější popis funkce. Schéma zapojení této kompenzace je na obr. 19.



Obr. 19. Kompenzace vstupních proudů komplementárním obvodem

Další chyba, která se vyskytuje a počítá se mezi statické chyby, je tzv. činitel potlačení součtového signálu. Uvedli jsme si, že u ideálního operačního zesilovače vystupní napětí nezávisí na průměrné velikosti vstupních napětí, ale pouze na jejich rozdílu. U reálného OZ je vystupní napětí

$$U_0 = A(U_{ID} - U_{IC}) + G \frac{U_{ID} + U_{IC}}{2} \quad (42)$$

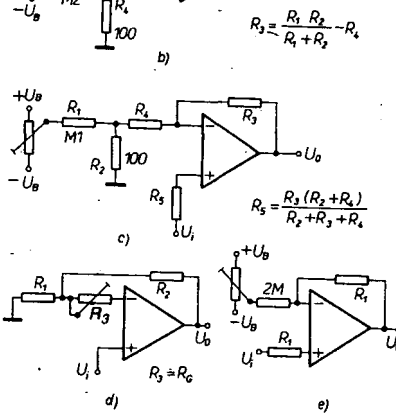
První část výrazu vyjadřuje závislost na rozdílovém signálu (U_{ID}), druhá část na součtovém signálu (U_{CM}) a G je tzv. zisk součtového signálu. Výraz můžeme upravit na

$$U_0 = AU_{ID} + GU_{CM} = A(U_{ID} + \frac{G}{A}U_{CM}) \quad (43)$$

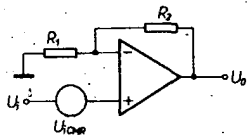
Podíl A/G nazýváme činitelem potlačení součtového signálu a označujeme ho CMR (Common Mode Rejection).

Při posuzování vlivu CMR na zesilovač s uzavřenou smyčkou zpětné vazby můžeme uvažovat, že se konečná velikost CMR projeví jako zdroj chybového napětí

$$\frac{U_i}{CMR} \cdot Výstupní napětí neinvertujícího$$



Obr. 18. Další možnosti kompenzace vstupních nesymetrií a vstupních proudů



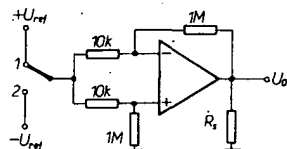
Obr. 20. Náhradní zapojení pro měření vlivu součtového signálu

zesilovače (obr. 20) bude

U_0 = \frac{R_2 + R_1}{R_1} (U_i + \frac{U_i}{CMR}) = U_i \frac{R_2 + R_1}{R_1} \left(1 + \frac{1}{CMR}\right) \quad (44)

Z výrazu (44) je zřejmé, že se zesílení vlivem konečné velikosti CMR poněkud mění. Pokud by CMR bylo konstantní, bylo by možné změnou prvků ve zpětné vazbě změnu zesílení kompenzovat, ale CMR je závislý na součtovém napětí a nezpůsobuje tedy pouze změnu zesílení, ale i nonlinearitu přenosu. Naštěstí je u většiny vyráběných operačních zesilovačů činitel CMR tak veliký, že ho obvykle nemusíme uvažovat.

Činitel potlačení součtového signálu se měří podle obr. 21. Zapojení vlastně reali-



Obr. 21. Zapojení pro měření potlačení součtového signálu

zuje vztah (43), kde $U_{ID} = 0$, takže se projeví pouze vliv součtového signálu. Prepínač se nejprve přepne do polohy 1 a změří se U_{01} , pak se v poloze 2 změří U_{02} . CMR je pak

CMR = \frac{200U_{ref}}{\Delta U_0} \quad (45)

kde ΔU_0 je $U_{01} - U_{02}$. Jako U_{ref} se volí maximální povolený rozdíl vstupního součtového signálu. Činitel potlačení součtového signálu se obvykle vyjadřuje v dB, takže vztah (45) bude

CMR = 20 \log \frac{200U_{ref}}{\Delta U_0} \quad [\text{dB}; V] \quad (46)

Posledním parametrem udávaným jako statická chyba je tzv. citlivost napěťové nesymetrie vstupu na napájecí napětí, označovaná jako SVR. Již z názvu je zřejmé, jak bude definována

$$SVR = \frac{\Delta U_{DI}}{\Delta U_B} \quad (47)$$

Kde ΔU_{DI} je změna vstupní napěťové nesymetrie při změně napájecího napětí o ΔU_B . Tato změna se měří tak, že změříme U_{DI} pro dvě různé velikosti napájecího napětí (některou z metod měření napěťové vstupní nesymetrie).

Vliv na vlastnosti zesilovače lze odvodit ze vztahů (47) a (29)

$$\Delta U_{DI} = \frac{SVR}{\beta} \Delta U_B \quad (48)$$

Tím končí výčet statických chyb operačních zesilovačů.

Z příkladů je zřejmé, že některé z chyb mohou značně ovlivnit vlastnosti zesilovače s uzavřenou smyčkou zpětné vazby. Většinou lze jejich vliv vykompenzovat, vždy je ho však nutné umět posoudit (pro dané zapojení). Vyše uvedené vztahy umožňují odhadnout, který z parametrů bude limitujícím činitelem v tom kterém zapojení, případně jakou kompenzaci je nutno použít.

Dynamické chyby

Doposud jsme hovořili o omezeních, která se týkají vlastností reálného zesilovače bez ohledu na kmitočet zpracovávaného signálu, tedy i pro stejnoscernou napětí. Zesílení reálného zesilovače je však závislé na kmitočtu, jeho absolutní velikost se směrem k vyšším kmitočtům zmenšuje, mění se však i fáze signálu, její posuv je pro nízké kmitočty 180° (invertujícího zesilovače). Může však dojít i k tomu, že posuv fáze bude nulový (případně násobkem 360°) a z invertujícího zesilovače se stane neinvertující. Posuv fáze se však obvykle vztahuje vůči posuvu (180°) pro nízké kmitočty, nikoli vůči vstupu. Vztahy (4), (13) a jiné pak budou platit pouze tehdy, nahradíme-li jednotlivé veličiny vektory v komplexní rovině, které jsou kromě velikosti charakterizovány i úhlem, který svírájí se souřadnou osou – tento úhel reprezentuje fázový posuv.

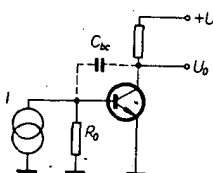
Znalost amplitudové a fázové charakteristiky zesilovače umožňuje přesný rozbor vlastností na různých kmitočtech. V praxi je ovšem snaha tuto problematiku zjednodušit. Amplitudová i fázová charakteristika OZ se approximují lomenými čarami a konkrétním zesilovačům se přizpůsobují pouze body zlomu. Pomocí těchto zjednodušených charakteristik a závislosti se pak studuje chování zesilovače. Na průběhu charakteristik do značné míry závisí kmitočtové pásma přenášené zesilovačem, tím i nezkraslený přenos impulsů a napěťových skoků, ale i jeho stabilita. Podrobný rozbor všech těchto vlivů je poměrně komplikovaný, proto uvedeme pouze některé základní úvahy a nejdůležitější závěry, užitečné pro práci s operačními zesilovači.

Základem pro approximaci kmitočtových závislostí OZ je kmitočtová závislost jednoho stupně zesilovače na kmitočtu. Vychází z úvahy, že předchozí stupně si můžeme představit jako zdroj proudu pracujícího do zátěže R_o (obr. 22), přičemž se vychází z náhradního schématu tranzistoru. Odpor R_o je tvořen kombinací všech odporek v obvodu. Po zesílení na vyšších kmitočtech má vliv kapacita přechodu báze-kolektor. Tato kapacita se totiž „převádí“ na vstup zesilovače, vynásobená zesílením stupně (k tomu se ještě sama přičítá, tzv. Millerův jev), takže pro stupeň bude platit

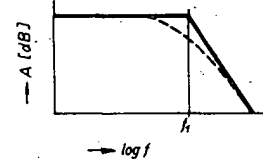
$$C_i = (A + 1)C_{BC} \quad (49)$$

Kapacita C_i zmenšuje zesílení na vyšších kmitočtech se strmostí přibližně 20 dB na dekádu (6 dB na oktavu) od kmitočtu

$$f_1 = \frac{1}{2\pi R_o C_{BC}(A + 1)} \quad (50)$$



Obr. 22. Náhradní zapojení jednoho stupně operačního zesilovače



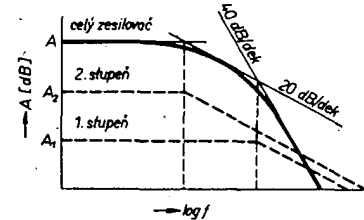
Obr. 23. Graf zesílení v závislosti kmitočtu jednoho stupně zesilovače

Průběh křivky zesílení v závislosti na kmitočtu se blíží křivce člena RC , můžeme ho approximovat asymptotami (obr. 23). Čárkován je naznačen skutečný průběh zesílení. Zesílení tedy můžeme vyjádřit ve tvaru (vektor v komplexní rovině)

$$A = A_0 \frac{1}{1 + \frac{f}{f_1}} \quad (51)$$

Takové závislosti říkáme závislost s jedním polem.

Máme-li však zesilovač dvoustupňový, budou póly dva (obecně různé), výsledné zesílení bude dánou součtem zesílení obou stupňů (v dB), pro vysoké kmitočty bude pokles 40 dB/dekádu (obr. 24). Na obr. 24 je též skutečný průběh zesílení.



Obr. 24. Vznik půl několikastupňového zesilovače

Jednou z metod, jak určit kmitočtové charakteristiky zesilovače, je pracovat se vztahem (51) – vezmeme v úvahu kmitočty f_1 a f_2 , celkové zesílení je dáno součinem zesílení dvou stupňů, můžeme uvažovat vliv zpětné vazby apod. Další metodou je tzv. Bodeho metoda, která vychází z obr. 24 (Bodeho diagram). Graf byl zkonstruován na základě jednoznačného vztahu mezi fázovým posuvem a sklonem závislosti zisku na kmitočtu. Je-li sklon 40 dB na dekádu, je posuv fáze 180° (π) a z invertujícího zesilovače se stává neinvertující, že záporná zpětná vazba se stane kladná a naopak. Byla-li by v tomto případě spiněna podmínka

$$|A\beta| = 1 \quad (52)$$

vznikly by oscilace (β je činitel záporné zpětné vazby). Blíží-li se $A\beta$ k jedné, dochází k nestabilitám, zákmítům apod. Z Bodeho diagramu lze zhruba určit, je-li zesilovač se zpětnou vazbou stabilní nebo nestabilní, a to tak, že se do něho zakreslí křivka zesílení nastaveného zpětnou vazbou. Čím více se strmost křivky zesílení s otevřenou smyčkou v místě průsečíku s touto křivkou blíží 40 dB/dekádu, tím bude sklon k nestabilitě větší. Tato skutečnost odpovídá vztahu (52) – čím menší je zesílení nastavené zpětnou vazbou, tím větší je β .

Bodeho metoda se ovšem nevyrovnaná přesnější výpočtem, ale názorně např. ukazuje, proč dochází ke zdánlivému paradoxu – zesilovač se zesílením 1000 je stabilní, zatímco invertor (zesilovač se zesílením 1) zakmitává, dlouho se ustaluje

po napěťovém skoku apod. Také názorně ukazuje vliv kmitočtové kompenzace, která se volí tak, aby křivka zesílení při otevřené smyčce protínala křivku nastaveného zesílení 20 dB na dekádu (viz obr. 25). Čárkován je zakreslena křivka nekompenzovaného, plnou čarou kompenzovaného zesílovače. Je patrný i průsečík obou křivek s křivkou nastaveného zesílení (G).

Možných způsobů kmitočtové kompenzace je několik. Pro běžnou potřebu se však používají kompenzace, které ke každému typu operačního zesílovače udává výrobce. Zásadou pro používání různých druhů kompenzací je, že vždy musíme použít kompenzací pro to zesílení, které u zesílovače volíme. Použijeme-li kompenzací doporučenou pro menší zesílení, zmenšíme sice přenášené pásmo kmitočtů, ale zesílovač bude stabilní, při kompenzací pro větší zesílení riskujeme nestabilitu zapojení.

Toto úvahy platily pro zapojení zpětné vazby bez reaktančních prvků. Jsou-li ve zpětné vazbě použity reaktanční prvky, je situace složitější. V tomto případě můžeme použít např. Nyquistovu podmíinku. A a β vyjádříme jako komplexní čísla a uvažujeme křivku v komplexní rovině, kterou opisuje konec vektoru komplexního čísla:

$$1 + \bar{A}(f)\bar{\beta}(f) \quad (53)$$

v závislosti na f (případně ω). Pokud má křivka bod -1 vnitř, je zapojení nestabilní. Fázový posuv zesílovače je možné určit ze strnosti závislosti zesílení s otevřenou smyčkou zpětné vazby na kmitočtu

$$\varphi(f) = \frac{\pi}{40} \frac{dA}{df} \quad [\text{dB/dekádu}] \quad (54)$$

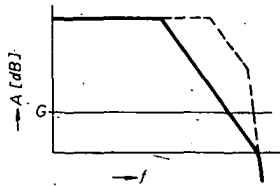
Tuto metodu ilustruje obr. 26. Plná čara znázorhuje průběh vyjádřený vztahem (53) pro stabilní zesílovač. Je-li průběh např. podle pírušované čáry, bude zesílovač nestabilní.

Jak jsme uvedli, představuje každý zesílovací stupeň po předešlém stupni mimo jiné kapacitní zátěž. Vlivem této a dalších kapacit (např. kompenzačních) a vlivem omezení výkonu předcházejícího stupně je maximální rychlosť zvětšování napěti na výstupu omezena. Tato vlastnost je charakterizována parametrem, který nazýváme **rychlosť přeběhu (slew rate)**. Jedná se o rychlosť změny výstupního napěti, kterou je operační zesílovač schopen vyvinout. Je definována vztahem:

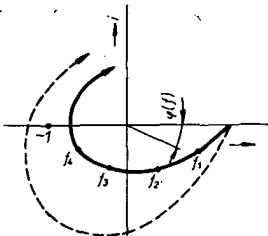
$$S = \left(\frac{\Delta U_c}{\Delta t} \right)_{\max} \quad (55)$$

Tento jev omezuje přenos skokových signálů nebo signálů vysokých kmitočtů (obr. 27). Na obr. 27a je odezva zesílovače na skokovou změnu napětí – plnou čarou je znázorněna odezva ideálního zesílovače, čárkován je odezva reálného zesílovače – směrnice této křivky je rovna právě S . Na obr. 27b je přenos harmonického signálu (plná čara), omezený rychlosťí přeběhu (pírušovaný) – signál je zkreslen a to tehdyn, když je jeho strmost větší, než rychlosť přeběhu. K tomuto jevu dochází při kmitočtu

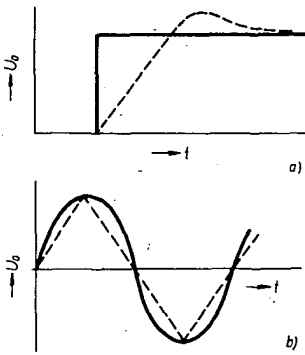
$$f = \frac{S}{2\pi U_v} \quad (56)$$



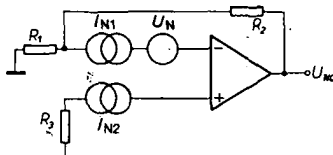
Obr. 25. Vliv kmitočtové kompenzace



Obr. 26. Grafické znázornění Nyquistova kritéria



Obr. 27. Zkreslení signálu vlivem slew-rate



Obr. 28. Náhradní zapojení pro rozbor šumových vlastností

kde U_v je vrcholové napětí výstupního signálu. Ze vztahu (56) je zřejmé, že tento kmitočet závisí nejen na S , ale i na vrcholovém napěti výstupního signálu – anebo naopak vlivem parametru S je při vyšších kmitočtech omezena amplituda výstupního signálu; k omezení dochází při podstatně nižších kmitočtech, než při zmenšování signálu vlivem zmenšujícího se zesílení otevřené smyčky a dalších činitelů. V tomto smyslu hovoříme o různých šírkách pásm – pro tzv. velké a malé signály. Pro velké signály je šířka pásm omezena rychlosťí přeběhu, pro malé signály ostatními parametry.

Rychlosť přeběhu se měří osciloskopem při daném zesílení a s danou kmitočtovou kompenzací. Na vstup zesílovače přivádíme pravouhlé impulsy, rychlosť přeběhu čteme na obrazovce osciloskopu.

Mezi dynamické chyby se též počítají šumové vlastnosti zesílovače. Jejich přítomnost se projevuje při zesílování slabých signálů. Pro určení šumových vlastností se obvykle uvažuje, že šum vzniká ve třech generátorech šumu – dvou generátořích šumového proudu (v každém ze vstupů) a jednoho generátoru šumového napětí. Vstupní šumové napětí je dánno vztahem

$$U_{\text{celk}}^2 = U_N^2 + (I_{N1} + R'_s I_1)^2 + (I_{N2} R'_s I_2)^2 \quad (57)$$

kde U_N je efektivní hodnota šumového napěti a I_N jsou jednotlivé efektivní šumové proudy, R_s jsou odpory připojené k jednotlivým vstupům. Pro zapojení podle obr. 28 bude tedy výsledné šumové napěti na výstupu

$$U_{\text{NO}} = \frac{1}{\beta} \sqrt{U_N^2 + (R'_s / I_1)^2 + \left(\frac{R_1 R_2}{R_1 + R_2} / I_2 \right)^2} \quad (58)$$

Předpokládáme-li, že platí

$$R_3 = \frac{R_1 R_2}{R_1 + R_2}$$

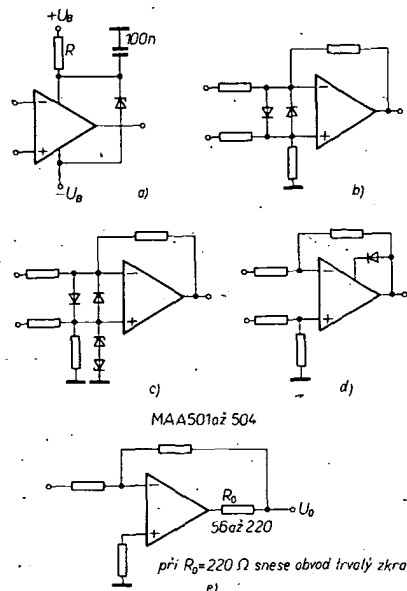
je odpor $R_s = R_3$. Pro malé R_s se více uplatňuje U_N , pro velké I_N . Dá se dokázat, že vezmeme-li v úvahu tepelný šum odporu R_s , existuje optimální odpor R_s , pro který je šum minimální a který je dán vztahem

$$R_s \text{ opt.} = \sqrt{\frac{U_N^2}{I_N^2}} \quad (59)$$

Mezní parametry operačních zesílovačů

U ideálního operačního zesílovače se neuvažuje, je-li jeho použití nějakým způsobem omezeno – např. výkonom, napětím apod. U reálných operačních zesílovačů taková omezení však existují a při provozu je nutné je bezpodmínečně dodržovat – patří mezi ně např. rozsah napájecích napěti, vstupních napěti a velikost zátěže na výstupu. Jejich specifikace v katalogu je obvykle zcela jasná, proto uvedeme pouze několik poznámek a možnosti, jak zajistit doporučované mezní parametry.

Překročení maximálního napájecího napěti může přivodit zničení obvodu průrazem, tzv. druhým průrazem nebo přehřátím. Je samozřejmé, že většina obvodů by pravděpodobně pracovala i při větších než podle katalogu mezních napájecích napěťích, ale případně „exkurze“ do těchto pracovních podmínek přináší riziko zničení obvodu – výrobce jednoduše tento provoz nezaručuje. Ochrana proti přepětí je možná podle obr. 29a. Odpor R nesmí být příliš velký, aby neovlivňoval funkci obvodu, ani příliš malý, aby plnil funkci omezovacího odporu. Vhodné jsou odpory 50 až 150 Ω .



Obr. 29. Různé druhy ochrany proti překročení mezních parametrů

Maximální rozdílové vstupní napětí je jedním z nejcitlivějších omezení – jeho překročení znamená téměř vždy zničení obvodu. Modernější obvody (MAA741, MAA748) mají navrženy vstupní obvody tak, aby rozdílové napětí mohlo být v rozsahu napájecích napětí. Ochrana proti přetížení rozdílovým vstupním napětím se obvykle dělá podle obr. 29b. Dvojice antiparalelně zapojených diod omezí rozdílové napětí na zhruba 0,7 V. Maximální součtové vstupní napětí udává hlavně rozsah zaručovaných parametrů zesilovače. Při mírném překročení tohoto parametru se pouze změní vlastnosti zesilovače. Při větším překročení (přesáhne-li velikost napájecího napětí) může dojít ke zničení obvodu. Ochrana proti překročení součtového napětí je na obr. 29c.

Pokud jde o obvody MAA501 až MAA504, vyskytuje se u nich v souvislosti se vstupním rozdílovým napětím zajímavý jev – překročí-li toto napětí určitou mez, přejde jeden ze vstupních tranzistorů do saturace a dojde k inverzi zesílení otevřené smyčky. Tento jev obvykle končí tím, že výstup je v saturaci, dokud alespoň na chvíli nepřerušíme napájecí napětí. Tento jev nastane i při velmi krátkém naprušení impulsu. Dioda zapojená podle obr. 29d této saturaci zamezí.

Pošlední omezení se týká maximální zátěže na výstupu. Obvykle bývá v katalogu udávána na jedné straně maximální výkonová ztráta, na druhé straně maximální doba trvání zkratu na výstupu. Všechny běžné zesilovače kromě MAA501 až MAA504 trvalý zkrat nepoškodí, protože mají vnitřní ochranu výstupu. Obvody MAA501 až MAA504 „vydrží“ zkrat na výstupu po dobu 5 s. Chceme-li obvod před zkratem na výstupu chránit, můžeme použít zapojení podle obr. 29e. Tento způsob ochrany se doporučuje pro všechny typy operačních zesilovačů, pracujících do kapacitní zátěže.

Uvedené ochrany používáme pouze tehdy, hrozí-li reálné nebezpečí, že bude překročen některý z parametrů, neboť všechny více či méně ovlivňují vlastnosti zesilovače – zvětšují vstupní kapacitu, výstupní odpory atd.

Základní zapojení operačních zesilovačů

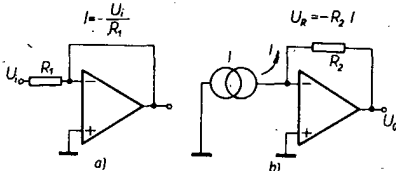
U operačních zesilovačů, které pracují v lineární oblasti (tj. v mezech udaných výrobcem, zaručujících dané parametry) se při výpočtech vlastností zesilovačů uvažuje ideální operační zesilovač – značně to zjednoduší všechny výpočty (není-li to možné, řeší se obvod s reálným zesilovačem tak, že se vztahy pro ideální zesilovač korigují, jak jsme uvedli v předchozích odstavcích).

Rozhodující jsou především dva důsledky vlastnosti ideálního operačního zesilovače:

- a) mezi vstupy je nulové napětí, tj. oba vstupy jsou na stejném potenciálu – důsledek nekonečného zesílení,
- b) ani jedním vstupem neprochází žádný proud – důsledek nekonečného vstupního odporu.

Tyto dva důsledky vlastnosti ideálního OZ umožňují značně zjednodušit řešení všech obvodů s operačními zesilovači, neboť lze místo vztahů (4), (5) a (13) použít vztahy jednodušší. Z uvedených faktů dále vyplývá, že u všech zapojení výhradně s proudovou zpětnou vazbou, tj. u těch, u nichž je neinvertující vstup uzemněn, je invertující vstup také na nulovém potenciálu.

Důsledek této úvahy si ozřejmíme na dvou nejjednodušších případech – na



Obr. 30. Převodník napětí-proud a proud-napětí

převodnících napětí-proud a proud-napětí. První z nich je na obr. 30a.

Při větším překročení (přesáhne-li velikost napájecího napětí) může dojít ke zničení obvodu. Ochrana proti překročení součtového napětí je na obr. 29c.

Pokud jde o obvody MAA501 až

MAA504, vyskytuje se u nich v souvislosti se vstupním rozdílovým napětím zajímavý jev – překročí-li toto napětí určitou mez, přejde jeden ze vstupních tranzistorů do saturace a dojde k inverzi zesílení otevřené smyčky. Tento jev obvykle končí tím, že výstup je v saturaci, dokud alespoň na chvíli nepřerušíme napájecí napětí. Tento jev nastane i při velmi krátkém naprušení impulsu. Dioda zapojená podle obr. 29d této saturaci zamezí.

Podle a) je na invertujícím vstupu nulové napětí a odporem tedy protéká proud, daný Ohmovým zákonem

$$I = \frac{U_i}{R_1} \quad (60)$$

Podle b) do vstupů zesilovače neteče žádný proud a podle Kirchhoffova zákona musí stejný proud jako odporem, avšak opačného směru protéká obvodem zpětné vazby. Proud tekoucí obvodem zpětné vazby (mezi výstupem zesilovače a jeho invertujícím vstupem) bude tedy dán vztahem (60) se záporným znaménkem

$$I = -\frac{U_i}{R_1} \quad (61)$$

Tento vztah platí bez ohledu na to, jak je obvod zpětné vazby zapojen, tzn. že mezi výstup a invertující vstup lze popř. zapojit i zátěž (na obr. 30a zkrat). Vstupní napětí se tedy převádí na proud, který je mu přímo úměrný – konstantou úměrnosti je převrácená hodnota odporu R_1 .

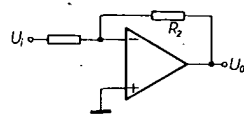
Převodník proud-napětí je na obr. 30b. Zdroj proudu / pracuje do nulové zátěže – dochází tedy ke zdánlivému paradoxu, že přestože vstupní odpór zesilovače je nekonečný, v zapojení se zpětnou vazbou se invertující vstup chová jako by měl vstupní odpor nulový (tato skutečnost je důsledkem nekonečného zesílení). Pak tedy obdobně jako v předešlém případě je napětí na invertujícím vstupu nulové, proud tekoucí ze zdroje je stejný jako proud ve smyčce zpětné vazby. Napětí na odporu R_2 bude tedy roven výstupnímu napětí a úbytek bude roven

$$U_0 = -R_2 I \quad (62)$$

Výstupní napětí je tedy úměrné odporu R_2 a zapojení plní funkci převodníku proud-napětí, jehož vstupní impedance je nulová (nulový úbytek napětí).

Tato dvě zapojení lze sice použít v praxi, ale zde jsme je uvedli jako příklady, jak jednoduše řešit zapojení s operačními zesilovači. Navíc mohou posloužit k řešení základního zapojení operačního zesilovače – invertujícího zesilovače (obr. 31). Na toto zapojení se můžeme dívat (mimo jiné) jako na kombinaci převodníku napětí-proud a proud-napětí. Odpor R_1 tvorí zdroj proudu (viz vztah (60)), který se spádem na odporu R_2 převádí na napětí (62)

$$U_0 = -R_2 I = -R_2 \left(\frac{U_i}{R_1} \right) = -\frac{R_2}{R_1} U_i \quad (63)$$



Obr. 31. Invertující zesilovač

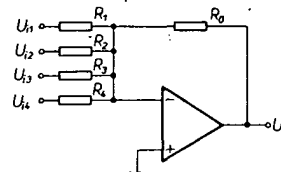
Vidíme, že zesílení je rovno poměru odporek R_2 a R_1 . Záporné znaménko značí, že zisk je záporný, tj. že zesílovač je invertující. Ke stejnemu vztahu bychom dospěli z výrazu pro zesílení zesilovače s proudovou zpětnou vazbou jako limitního případu pro nekonečné zesílení. Uvedeným postupem lze však k výsledku dospat rychleji a názorněji; u reálného operačního zesilovače pak použijeme postupy popsané v předešlé kapitole.

U převodníku proud-napětí jsme odvodili, že je jeho vstupní impedance nulová. Vstup je zatížen odporem R_1 , který pracuje do nulové impedance, tedy vstupní impedance je rovna odporu R_1

$$Z_1 = R_1 \quad (64)$$

Invertující zesilovač jsme tedy vlastně složili ze zdroje proudu a z převodníku proud-napětí. Na obr. 32 je situace, použíme-li se několika zdrojů proudu (např. čtyři). Do invertujícího vstupu potéče součet proudů, jednotlivé proudy jsou dány vztahem

$$I_k = \frac{U_{ik}}{R_k} \quad (k = 1, 2, 3, 4) \quad (65)$$



Obr. 32. Invertující součtový zesilovač

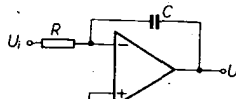
Zpětnovazební větví tedy poteče též součet proudů a tedy

$$U_0 = -R_0(I_1 + \dots + I_4) = R_0 \left(\frac{U_1}{R_1} + \frac{U_2}{R_2} + \frac{U_3}{R_3} + \frac{U_4}{R_4} \right) \quad (66)$$

Podobně bychom dostali vztah pro jiný počet vstupních napětí. Vidíme, že výstupní napětí je úměrné součtu proudů, které jsou úměrné jednotlivým vstupním napětím – při rovnosti odporů R_1 až R_4 by na výstupu bylo napětí úměrné součtu vstupních napětí. V tomto zapojení se jednotlivé vstupy ani v nejmenším vzájemně neovlivňují, protože společný bod všech odporů je připojen přímo na invertující vstup, tedy do bodu nulového napětí a nulového odporu. Vstupní odpory pro jednotlivé vstupy jsou rovny příslušným odpory.

Podobnou jednoduchou úvahou můžeme vyřešit i další základní obvod – integrátor. Jeho zapojení je na obr. 33. Odpor R opět protéká proud, daný vstupním napětím podle vztahu (60). Stejný proud musí protékáti i obvodem zpětné vazby – tzn. že kondenzátor se přes tento odpor nabije a napětí na něm bude

$$U_C(t) = U_0(t) = \frac{1}{C} \int_0^t I(t) dt \quad (67)$$



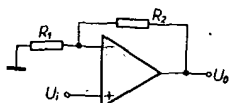
Obr. 33. Integrátor

A tedy v závislosti na vstupním napětí

$$U_0(t) = -\frac{1}{C} \int_0^t \frac{U_i(\tau)}{R} d\tau = -\frac{1}{RC} \int_0^t U_i(\tau) d\tau \quad (68)$$

Vstupní odpór tohoto integrátoru je opět roven odporu R .

Podobnou úvahu lze použít i při konstrukci a výpočtu neinvertujícího zesilovače, jehož základní zapojení je na obr. 34. Pro výpočet zesílení můžeme použít



Obr. 34. Neinvertující zesilovač

bud' vztah (5) nebo následující úvahu: napětí U_i na vstupu je stejně jako napětí na děliči, tvořeném odpory R_1 a R_2

$$U_i = U_0 \frac{R_1}{R_1 + R_2} \quad (69)$$

a z toho

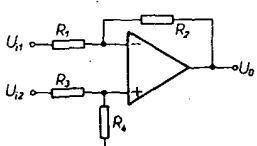
$$U_0 = U_i \frac{R_1 + R_2}{R_1} = U_i \left(1 + \frac{R_2}{R_1}\right) \quad (70)$$

Vidíme, že při stejných obvodových prvcích je zesílení neinvertujícího zesilovače o jedničku větší, než zesílení invertujícího zesilovače (znaménko je samozřejmě opačné). Ze vztahu mimo to také vyplývá, že zesílení je vždy nejméně jedna (tento stav nastává při $R_2 = 0$ nebo $R_1 = \infty$). Odpor R_2 se volí s ohledem na kompenzaci vstupního klidového proudu. Tomuto zapojení se říká sledovač, pro který platí

$$U_0 = U_i \quad (71)$$

Vzhledem k tomu, že u ideálního operačního zesilovače neprochází vstupem žádný proud, je pro tato zapojení vstupní impedance při použití ideálního zesilovače nekonečná.

Všechny předešlé vztahy platí pro ideální operační zesilovač, pro reálný operační zesilovač se upraví podle vlastnosti zesilovače. Dále si uvedeme rozdíl mezi ideálním a reálným operačním zesilovačem pro základní zapojení, která jsme si popsali – v tab. 1 jsou údaje pro ideální a v tab. 2 pro reálný zesilovač. Skutečná zapojení s reálnými operačními zesilovači budou poněkud složitější. Podle potřeby budou obsahovat kompenzační součástky atd. Dosavadní popis měl sloužit pouze k vysvětlení funkce základních zapojení OZ.



Obr. 35. Rozdílový zesilovač

Tab. 1. Parametry ideálního operačního zesilovače

Zapojení	R_{vst}	$R_{výst}$	Zesílení
invertující neinvert. sledovač	R_1	0	$-(R_2/R_1)$

Tab. 2. Parametry reálného operačního zesilovače

Zapojení	R_{vst}	$R_{výst}$	Zesílení
invertující	$R_1 + (R_2/A)$	$R_0/A\beta$	$(-R_2/R_1)(1 + (1/A\beta))^{-1}$
neinvertující	$A\beta R_1$	$R_0/A\beta$	$(1 + (R_2/R_1))(1 + (1/A\beta))^{-1}$
sledovač	AR_1	R_0/A	$A/(A + 1)$

Do základních zapojení patří i rozdílový (diferenční) zesilovač, jehož zapojení je na obr. 35. Jsou v něm využity oba vstupy, výstupní napětí bude záviset na obou vstupních napětích

$$U_0 = U_{i2} \frac{\frac{R_4}{R_3 + R_4}(1 + \frac{R_2}{R_1}) - U_{i1}}{\frac{R_2}{R_1}} \quad (72)$$

Ke vztahu (72) jsme dospěli stejnou cestou, jak k předešlým za předpokladu, že napětí mezi vstupy je nulové. Tento zesilovač lze navrhout tak, že výstupní napětí bude záviset na rozdílu vstupních napětí

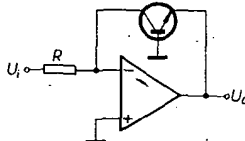
$$\frac{R_1}{R_3} = \frac{R_2}{R_4} \quad (73)$$

Pak

$$U_0 = \frac{R_2}{R_1} (U_{i2} - U_{i1}) \quad (74)$$

Tento vztah platí samozřejmě pouze pro ideální zesilovač, u reálného zesilovače závisí hlavně na činiteli potlačení součtového signálu. Dále u reálného zesilovače závisí na míře dodržení vztahu (73), není-li vztah přesně dodržen, je výstup citlivý i na součtové napětí a to nejen vlivem konečného činitelů potlačení součtového signálu. Zatím jsme v obvodech zpětné vazby uvažovali pouze odpory (u integrátoru kondenzátor), které se nemění, neuvažovali ani kmitočtovou závislost. Ve zpětné vazbě je však možné použít i prvky, jejichž odpor se mění s napětím, popř. jejichž proud není lineárně závislý na napětí, nebo obvody, jejichž vlastnosti závisí na kmitočtu – téměř říkáme aktivním filtery.

Jako příklad použití nelineárního prvku ve zpětné vazbě si můžeme uvést logaritmický zesilovač, jehož zapojení je na obr. 36. Úvahy jsou naprostě stejné jako pro



Obr. 36. Logaritmický zesilovač

invertující zesilovač, pouze použijeme vztah mezi kolektorovým proudem tranzistoru a napětím báze-emitor, který má pro dostatečně velký zesilovací činitel tranzistoru tvar

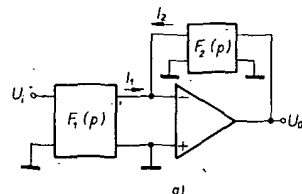
$$U_{BE} = \frac{kT}{e} \ln \frac{I_C}{I_S} \quad (75)$$

kde k je Boltzmannova konstanta, T absolutní teplota, e náboj elektronu, I_C proud kolektoru a I_S závěrný proud přechodu báze-emitor. Proud I_C závisí na vstupním napětí a na odporu R podle vztahu (60), takže platí

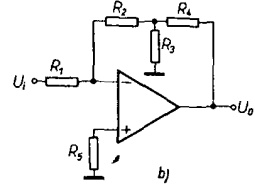
$$U_{BE} = -U_0 = \frac{kT}{e} \ln \frac{U_i}{RI_S} \quad (76)$$

Výstupní napětí je tedy logaritmickou funkcí napětí vstupního.

Toto zapojení se v praxi většinou nepoužívá, neboť ze vztahu (76) vyplývá závislost výstupního napětí nejen na napěti vstupním, ale i na teplotě. Pro ilustraci však tento příklad postačí, neboť je z něho patrné, jakým způsobem lze problém řešit. Při řešení obvodů s kmitočtově závislou zpětnou vazbou se většinou využívá přenosových funkcí. Zpětná vazba se uvažuje jako čtyřpól (viz obr. 37a),



Obr. 37a. Obecné zapojení invertujícího zesilovače



Obr. 37b. Invertující zesilovač s velkým zesílením

reprezentovaný přenosovou funkcí $F(p)$ vstupního napětí – výstupní proud nakrátko (parametr y_{12} admittance matice). Pro toto zapojení tedy platí následující vztahy

$$\begin{aligned} I_1 &= U_i F(p) \\ I_2 &= U_i F_2(p) \\ I_1 &= -I_2 \end{aligned} \rightarrow \frac{U_0}{U_i} = F(p) = \frac{F_1(p)}{F_2(p)} \quad (77)$$

Podrobnější popis pojmu přenosové funkce a jejího využití je mimo rámec tohoto článku. Zájemce odkazujeme na odbornou literaturu, kde kromě podrobného vysvětlení lze obvykle nalézt i tabulkové údaje přenosové funkce základních čtyřpolů a převody přenosových funkcí.

Všechna další zapojení jsou z větší části podobná základním zapojením, případně se jejich vlastnosti dají odvodit stejným způsobem.

Praktická zapojení s operačními zesilovači

V předešlém odstavci jsme si odvodili vlastnosti některých základních zapojení s operačními zesilovači, abychom si ukázali, jakým způsobem se obvody s operačními zesilovači analyzují. Ve všech případech jsme uvažovali ideální operační zesilovač a v tab. 1 a 2 jsme ukázali, jaký je praktický vliv vlastnosti reálného operačního zesilovače.

Ukažme si dále některá zapojení z praxe, v nichž je potlačení alespoň vlivem vstupního klidového proudu. Zapojení se doplní pouze napájecími obvody, kmitočtovou kompenzací, která závisí na zvoleném typu obvodu a o přidavné prvky ke kompenzací vstupní napěťové nesymetrii.

U invertujícího zesilovače jsme si odvodili, že vstupní odpór je roven odporu R_1 (obr. 31). Má-li mít zesilovač velké zesílení, musíme buď zmenšovat R_1 nebo zvět-

šovat R_2 . Protože R_2 nemůžeme zvětšovat libovolně, musíme při velkých zesíleních používat malý R_1 (tedy i malý vstupní odpor). Tato nevýhoda se dá obejít zapojením podle obr. 37b. Vstupní odpor tohoto zesilovače je opět R_1 , ale zesílení je dán vztahem

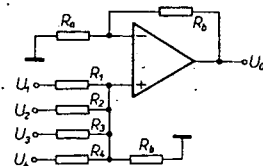
$$\frac{U_0}{U_i} = -\frac{R_2}{R_1} \left(1 + R_4 \left(\frac{1}{R_3} + \frac{1}{R_2} \right) \right) \quad (78)$$

a je tedy v každém případě větší, než zesílení jednoduchého invertujícího zesilovače. Chceme-li dosáhnout velkého zesílení, volíme $R_3 \ll R_2$ a vztah (78) je přibližně roven

$$\frac{U_0}{U_i} = -\frac{R_2}{R_1} \left(1 + \frac{R_4}{R_3} \right) \quad (79)$$

Zesílení může být tedy při stejném vstupním odporu podstatně větší. Odpor R_5 bude v tomto případě roven približně paralelní kombinaci R_1 a $(R_2 + R_3)$.

Na obr. 32 jsme uvedli zapojení součtového zesilovače a rozebrali jeho činnost. Praktické zapojení nebude mít neinvertující vstup uzemněn přímo, ale přes odpor rovný paralelní kombinaci všech odporů připojených k invertujícímu vstupu. Uvedený obvod pracuje jako invertující zesilovač, tzn. že výstupní napětí je invertovaným součtem vstupních napětí (pro stejné odpory) nebo je dán vztahem (70). Chceme-li sestrojit podobný obvod, který však neinvertuje vstupní napětí, můžeme ho zapojit podle obr. 38. Pro výstupní napětí



Obr. 38. Součtový neinvertující zesilovač

bude platit vztah:

$$U_0 = \frac{\frac{U_1}{R_1} + \frac{U_2}{R_2} + \frac{U_3}{R_3} + \frac{U_4}{R_4}}{\frac{1}{R_1} + \frac{1}{R_2} + \frac{1}{R_3} + \frac{1}{R_4} + \frac{1}{R_b}} (1 + \frac{R_b}{R_a}) \quad (80)$$

Vztah je poněkud komplikovaný, ale zvolíme-li s ohledem na potlačení vlivu vstupního klidového proudu

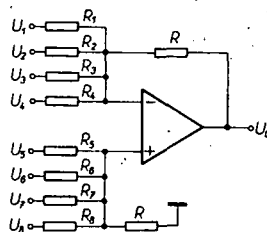
$$\frac{1}{R_1} + \frac{1}{R_2} + \frac{1}{R_3} + \frac{1}{R_4} + \frac{1}{R_b} = \frac{1}{R_a} + \frac{1}{R_b} \quad (81)$$

(odpor R_a je paralelní kombinací odporů R_1 až R_4), pak vztah (80) přejde do tvaru:

$$U_0 = R_b \left(\frac{U_1}{R_1} + \frac{U_2}{R_2} + \frac{U_3}{R_3} + \frac{U_4}{R_4} \right) \quad (82)$$

Vztah (82) je tedy přesnou analogií vztahu (70), má pouze opačné znaménko, jedná se tedy o neinvertující zesilovač. Vztah (82) i vztah (70) platí samozřejmě i pro jiný počet vstupů než čtyři.

Podíváme-li se na obě zapojení – invertující a neinvertující zesilovač – zjistíme, že jsou si velmi podobná, pouze používají jiné vstupy. Obě zapojení budeme moci zkombinovat podobně jako jsme kombinaci invertujícího a neinvertujícího zesilovače vytvořili zesilovač rozdílový, zapojení je na obr. 39. Za předpokladu, že je splňena podmínka, že paralelní kombinace



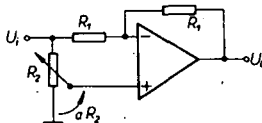
Obr. 39. Rozdílový-součtový zesilovač

ce odporů R_1 až R_4 je rovna paralelní kombinaci odporů R_5 až R_8 , pak platí vztah:

$$U_0 = R \left(\frac{U_5}{R_5} + \frac{U_6}{R_6} + \frac{U_7}{R_7} + \frac{U_8}{R_8} + \frac{U_1}{R_1} - \frac{U_2}{R_2} - \frac{U_3}{R_3} - \frac{U_4}{R_4} \right) \quad (83)$$

Pomocí takového obvodu můžeme realizovat poměrně univerzální součtový obvod, který respektuje znaménko součtu.

Zatím jsme hovořili o invertujících a neinvertujících zesilovačích, které umožňují nastavit pevné zesílení. Změna zesílení je možná změnou obvodových prvků (většinou odporů), avšak změna zesilovače z invertujícího na neinvertující je možná změnou zapojení. Na obr. 40 je



Obr. 40. Invertující-neinvertující zesilovač

zapojení umožňující měnit zesílení od +1 do -1 změnou polohy běžečky potenciometru R_2 . Jedná se vlastně o rozdílový zesilovač, na jehož oba vstupy je přivedeno stejné napětí, ale u něhož není splněna podmínka (73). Platí vztah (72), ve kterém $R_1 = R_2$, $R_4 = aR_2$ a $R_3 = (1-a)R_2$. Dosadíme-li tyto údaje do vztahu (72), dostaneme vztah

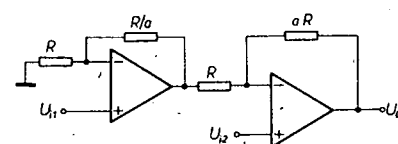
$$U_0 = U_i (2a - 1) \quad (84)$$

Protože a se mění od nuly do jedné, mění se zesílení od minus jedné do plus jedné.

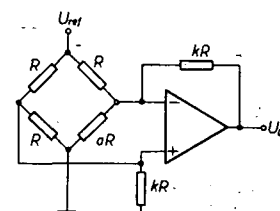
Klasický rozdílový zesilovač, jaký je na obr. 35, má stejnou nevýhodu jako invertující zesilovač, tj. má poměrně malý vstupní odpor. Kombinací dvou neinvertujících zesilovačů můžeme získat rozdílový zesilovač s poměrně velkým vstupním odporem. Zapojení je na obr. 41. Za předpokladu, že součástky splňují podmínky, naznačené v obrázku, platí

$$U_0 = (U_1 - U_2)(a+1) \quad (85)$$

Toto zapojení zachovává vlastnost, že výstupní napětí je závislé na rozdílu vstupních napětí, ale propůjčuje současně obvodu stejný vstupní odpor, jaký má neinvertující zesilovač, tzn., že vstupní odpor je velmi větší.



Obr. 41. Rozdílový zesilovač s velkým vstupním odporem



Obr. 42. Zesilovač pro můstek

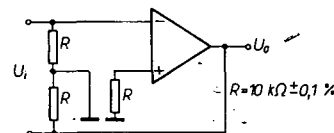
Doposud popsaná zapojení měla různé funkce a různé vlastnosti, avšak společné měla to, že nebyla vlastně ničím jiným, než kombinací invertujícího a neinvertujícího zesilovače, případně zesilovačů rozdílových.

Jako příklad dalších zapojení, již bez komentáře, si můžeme ukázat zesilovač pro můstek (obr. 42). Výstupní napětí bude

$$U_0 = U_{ref} \frac{k(1 - \frac{1}{a})}{\frac{1}{k} + (1 + \frac{1}{a})} \quad (86)$$

Tento vztah předpokládá rovnost tří odporů v můstku, čtvrtý je vyjádřen pomocí zbylých tří a pomocí součinitele a (může to být fotoodpor, termistor apod.).

Další zajímavé zapojení je na obr. 43. Jedná se o oddělovací stupeň se zesílením 1 a s velmi velkým vstupním odporem. Toto zapojení není citlivé na vstupní klidový proud zesilovače. Jeho nevýhodou je však nutnost použít plovoucí zem u sledovače (oproti měřenému obvodu).

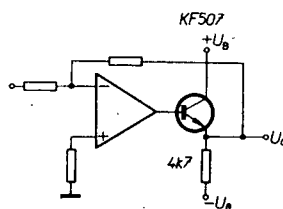


Obr. 43. Sledovač s extrémně velkým vstupním odporem

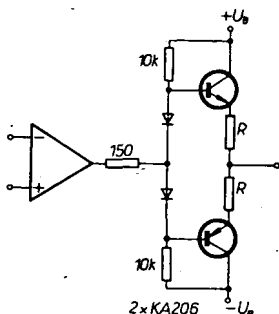
Na závěr zapojení lineárních zesilovačů si ještě uvedeme zapojení, umožňující zvětšit zatížitelnost výstupu operačního zesilovače.

První možnost je na obr. 44. Jedná se o zařazení emitorového sledovače na výstup operačního zesilovače. S uvedenými součástkami může být výstupní proud až 50 mA. Smyčka zpětné vazby je vedena až z emitoru výstupního tranzistoru, takže zahrnuje i emitorový sledovač, čímž se značně potlačí vliv jeho nestabilit.

Pro ještě větší výstupní proudy je možné použít zapojení podle obr. 45. Jde o komplementární výstupní sledovač. Můžeme použít jakékoli výkonové tranzistory



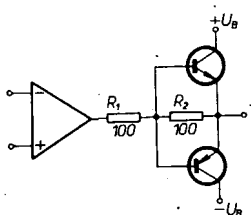
Obr. 44. Zvětšení zatížitelnosti emitorovým zesilovačem



Obr. 45. Komplementární výkonový stupeň

(např. KF507 – KF517 nebo i výkonnéjší). Odpory R jsou malé odpory (1 až 2 Ω), které stabilizují klidový proud a zabraňují tak zničení tranzistorů při náhlém zahřátí (nechrání však proti zkratu na výstupu).

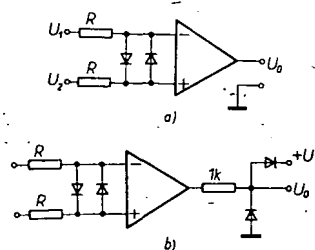
Poněkud jednodušší verze je na obr. 46.



Obr. 46. Jednodušší verze komplementárního stupně

Toto zapojení nahrazuje potřebu klidového proudu tím, že při uzavření obou tranzistorů je proud do zátěže dodáván přes odpory R_1 a R_2 z výstupu operačního zesilovače. Vzhledem k tomu, že tento stav nastává pouze při napětí zhruba $\pm 0,7$ V, není proudové zatížení výstupu velké, při větších napětích už dodává proud do zátěže jeden ze dvou tranzistorů. Odpor R_1 chrání výstup operačního zesilovače při poruše jednoho z obou tranzistorů, je ho však možné vynechat.

Velkého zesílení operačních zesilovačů je možné využít i v zapojení bez zpětné vazby. V praxi je vyloučeno pracovat v lineární části charakteristiky, neboť při běžných zesíleních operačních zesilovačů stačí k tomu, aby se výstup zesilovače saturaoval, vstupní napětí zlomek mV. Toho se využívá hlavně při porovnávání různých napětí. Vzhledem k tomu, co bylo řečeno, platí, že operační zesilovač bude v saturaci vždy podle toho, na kterém vstupu bude mít větší napětí. Takovému „zesilovači“ se říká komparátor a jeho základní zapojení je na obr. 47. Jedná se vlastně o zapojení operačního zesilovače s ochranou vstupních obvodů před přetížením nepřípustným rozdílovým napětím. Diody D_1 a D_2 omezí maximální rozdílové napětí na zhruba $\pm 0,7$ V. Výstupní napětí je v „kladné“ saturaci, je-li $U_2 > U_1$ a na-

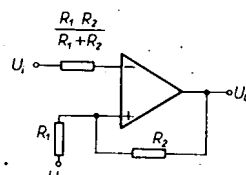


Obr. 47. Zapojení komparátoru

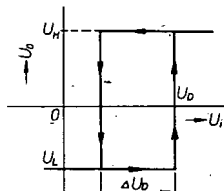
opak. „Neurčitost“ mezi kladnou a zápornou saturací (podle převodní charakteristiky zesilovače s otevřenou smyčkou zpětné vazby) daná konečným zesílením zesilovače je velmi malá, u běžných operačních zesilovačů se pohybuje v okolí 1 mV. Tato „neurčitost“ nemá praktický význam, větší význam má napěťová vstupní nesymetrie, která způsobuje chybu rovnou této nesymetrii; lze ji však kompenzovat způsoby, předepsanými pro jednotlivé typy zesilovačů.

Výstupní napětí z komparátoru má dvě úrovně, takže se vlastně jedná o logický signál. Při zapojení podle obr. 47a jsou však tyto dvě úrovně poměrně špatně definovány, protože saturování napětí na výstupu závisí na mnoha parametrech. Chceme-li např. na výstup OZ připojit hradlo, musíme obě výstupní úrovně upravit. Jedna z možností, jak toho dosáhnout, je obr. 47b. Výstup se přes odpory a dvě diody připojí na napájecí napětí logických obvodů. Tím přesahne výstupní napětí zvolené meze o 0,7 V, což je pro většinu logických obvodů přípustné.

Do stejné skupiny řadíme i obvody, do nichž se pomocí zpětné vazby zavádí hysterese. Jednou z nevhod komparátoru je to, že jsou-li obě porovnávaná napětí blízká, může vlivem různých vlivů výstupní napětí „kmitat“. Toto „kmitání“ lze odstranit tak, že komparátor překlápe při větším napětí, když se napětí zvětšuje, a při menším, když se napětí změnuje. Takovému obvodu se někdy říká Schmittův klopový obvod. Zapojení Schmittova klopového obvodu s operačním zesilovačem je na obr. 48. Hystereze je dosaženo



Obr. 48. Schmittův klopový obvod



Obr. 49. Charakteristika Schmittova klopového obvodu

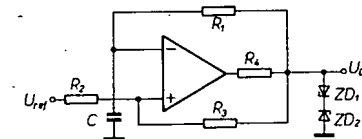
zavedením kladné zpětné vazby – překlápecí napětí je závislé na stavu výstupu. Převodní charakteristika je na obr. 49. U_H a U_L jsou saturování napětí kladné a záporné (možno omezit např. podle obr. 47b nebo Zenerovou diodou), U_0 je překlápecí napětí, jestliže se napětí zvětšuje, ΔU_D je rozdíl mezi překlápecími úrovněmi. Pro U_D a ΔU_D platí vztahy

$$U_D = U_{ref} + (U_H - U_{ref}) \frac{R_1}{R_1 + R_2} \quad (87)$$

$$\Delta U_D = (U_H - U_L) \frac{R_1}{R_1 + R_2} \quad (88)$$

Výhoda tohoto zapojení oproti jiným spočívá ve velmi snadném nastavení překlápecích úrovní a hystereze ve velmi širokých mezích.

Výhodné použití nalézájí operační zesilovače při konstrukci generátorů nejrůznějších průběhů. Uvedeme si několik typických zapojení, především ta, která jsou pro použití operačních zesilovačů charakteristická. Na obr. 50 je zapojení astabilního multivibrátoru, který se vyznačuje velmi dobrou stabilitou; Zenerové diody omezují rozkmit výstupní napětí. Antisériové zapojení má navíc tu výhodu, že dioda je částečně teplotně kompenzovaná. Dioda je možno vynechat, zhorší se však stabilita. Předpokládáme-li symetrické výstupní napětí o amplitudě U_0 (dáno Zenerovými diodami), pak jsou délky jednotlivých půlperiod



Obr. 50. Astabilní multivibrátor

nějsích průběhů. Uvedeme si několik typických zapojení, především ta, která jsou pro použití operačních zesilovačů charakteristická. Na obr. 50 je zapojení astabilního multivibrátoru, který se vyznačuje velmi dobrou stabilitou; Zenerové diody omezují rozkmit výstupní napětí. Antisériové zapojení má navíc tu výhodu, že dioda je částečně teplotně kompenzovaná. Dioda je možno vynechat, zhorší se však stabilita. Předpokládáme-li symetrické výstupní napětí o amplitudě U_0 (dáno Zenerovými diodami), pak jsou délky jednotlivých půlperiod

$$t_1 = R_1 C \ln \left(\frac{1 + 2 \frac{R_2}{R_3} - \frac{U_{ref}}{U_0}}{1 - \frac{U_{ref}}{U_0}} \right) \quad (89)$$

$$t_2 = R_1 C \ln \left(\frac{1 + 2 \frac{R_2}{R_3} + \frac{U_{ref}}{U_0}}{1 + \frac{U_{ref}}{U_0}} \right) \quad (90)$$

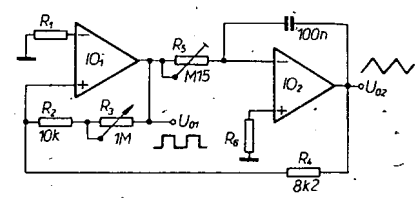
Tento vztah je velmi komplikovaný, obvykle se ale U_{ref} volí nulové, pak jsou kmity symetrické a jejich půlperiody je dána vztahem:

$$t_1 = t_2 = R_1 C \ln \left(1 + 2 \frac{R_2}{R_3} \right) \quad (91)$$

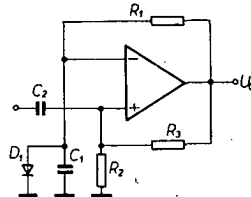
Odpor R_4 volíme podle použitých Zenerových diod a přípustného výstupního proudu operačního zesilovače.

Další typickou aplikací operačních zesilovačů jsou generátory funkcí. Příklad zapojení je na obr. 51. Zesilovač IO_1 pracuje jako Schmittův klopový obvod, zesilovač IO_2 jako integrátor. Přivedeme-li na vstup integrátoru konstantní vstupní napětí, bude na výstupu lineárně se zvětšující napětí (pilovitého průběhu). Pokud bychom vstupní napětí neměli, přešel by výstup do saturace. Na obr. 51 je však výstup integrátoru připojen na vstup Schmittova klopového obvodu. Jakmile napětí U_{02} dosáhne určité velikosti (dané odpory R_2 , R_3 , R_4), změní se napětí na výstupu integrátoru na opačné a změní se směr integrace. Výsledkem je napětí trojúhelníkovitého průběhu U_{02} na výstupu. Jeho amplituda se nastavuje odporem R_3 , který určuje napětí, při kterém se překlopí Schmittův klopový obvod. U_{01} je napětí pravoúhlého průběhu. Podrobněji je činnost generátoru funkcí uvedena dál v rámci stavebního návodu na jednoduchý generátor funkci.

V dalších aplikacích, které si uvedeme, jde o zapojení, která nejsou typická pro



Obr. 51. Funkční generátor

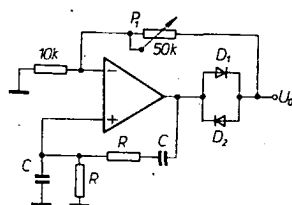


Obr. 52. Monostabilní multivibrátor

operační zesilovače. Jde většinou o zapojení, která byla používána s tranzistory nebo elektronkami, při jejich nahradě operačními zesilovači se zapojení obvykle zjednoduší a dosáhne se lepších výsledků.

Jako první příklad uvedeme zapojení monostabilního klopného obvodu. Vznikne ze zapojení na obr. 50 přidáním jedné diody (obr. 52). Tento obvod má stabilní stav při kladné saturaci na výstupu. Po přivedení záporné hrany impuluš přes kondenzátor C_2 se výstup překlopí do záporné saturace a obvod pracuje přesně jako multivibrátor z obr. 50, po překlopení do kladné saturace zabránila dioda D_1 , nabíjení kondenzátoru C_1 a tím dalšemu překlopení. Výstup tohoto obvodu je možné upravit stejně jako je tomu na obr. 50. Získá se tím velká přesnost a stabilita délky výstupního impulušu.

Dalšími podobnými obvody jsou nejrůznější generátory harmonického signálu. Operační zesilovač v nich na jedné straně nahradí poměrně složitý zesilovač diskrétní, na druhé straně díky velkému



Obr. 53. Oscilátor s Wienovým můstkom a stabilizací diodami

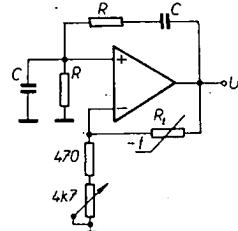
zesílení usnadní práci se smyčkou zpětné vazby. Nevhodou operačních zesilovačů při této aplikaci je jejich pracovní kmitočtový rozsah, který omezuje shora jejich použitelnost pro tyto účely. Navíc hlavní přednost operačních zesilovačů, tj. jejich vyborně stejnosměrné parametry, zůstanou nevyužity. Uvedme si několik typických zapojení pro různé druhy oscilátorů RC .

Nejrozšířenějším typem oscilátoru RC jsou oscilátory s Wienovým můstkom, který zavádí kladnou zpětnou vazbu. Tato kladná zpětná vazba je vždy doplněna zápornou zpětnou vazbou, která stabilizuje amplitudu a zmenšuje zkreslení výstupního signálu. Jedno z nejjednodušších zapojení je na obr. 53. Kmitočet oscilací je dán vztahem

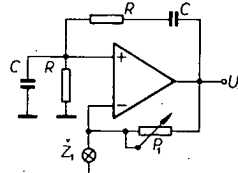
$$f_0 = \frac{1}{2\pi RC} \quad (92)$$

Amplituda je stabilizována diodami D_1 a D_2 , výstupní napětí se nastavuje potenciometrem P_1 . Zapojení je poměrně jednoduché, avšak zkreslení výstupního signálu je poměrně velké.

Existují i další způsoby zapojení záporné zpětné vazby. Klasická je metoda stabilizace výstupního napěti termistorem. Zapojení takového oscilátoru je na obr. 54. Kmitočet je dán vztahem (92), pouze větve záporné zpětné vazby je zapojena jinak. Potenciometrem P_1 se nastaví amplituda

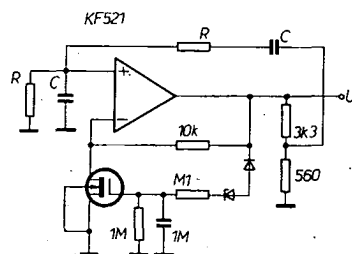


Obr. 54. Oscilátor s Wienovým můstkom a stabilizací termistorem



Obr. 55. Oscilátor s Wienovým můstkom a stabilizací žárovkou

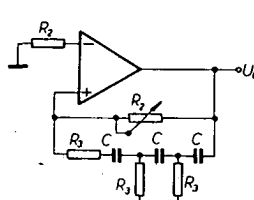
s ohledem na co nejmenší zkreslení signálu, termistor R_1 ji pak stabilizuje. Častým řešením je též stabilizace žárovkou (obr. 55). Zapojení je prakticky ekvivalentní zapojení predešlému, pouze díky opačné teplotní závislosti odporu vlákna žárovky je zpětná vazba zapojena jinak. Žárovka musí být pro velmi malý proud (10 až 20 mA), tento typ je u nás bohužel nedostupný. Jistým řešením je použít zesilovač podle obr. 45 nebo 46, čímž se zvětší proudová zatížitelnost zesilovače a lze použít žárovku 6 V/50 mA, která je v ČSSR relativně snadno dostupná. Získáme tím navíc i generátor s velkou zatížitelností. Poslední a zřejmě nejvhodnější metodou stabilizace výstupního napěti je metoda stabilizace tranzistorem řízeným polem. Zapojení generátoru, který pro stabilizaci výstupního napěti používá MOSFET, je na obr. 56. Kmitočet je opět



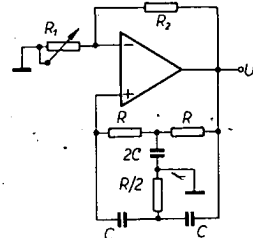
Obr. 56. Oscilátor s Wienovým můstkom a stabilizací FETem

dán vztahem (92), stabilizace amplitudy je dosaženo změnou odporu kanálu tranzistoru MOSFET, který je součástí záporné zpětné vazby.

Ukázali jsme si různé způsoby stabilizace amplitudy oscilátoru s Wienovým můstkom. Pro konstrukci oscilátorů je však možné použít i jiná zapojení, běžná pro obvody s diskrétními prvky. Tak např. na obr. 57 je zapojení oscilátoru s fázovacím



Obr. 57. Oscilátor RC s fázovacím článkem



Obr. 58. Oscilátor s dvojitým T

cím článkem. Kmitočet oscilátoru je dán vztahem

$$f_0 = \frac{1}{2\pi R_3 C \sqrt{6}} \quad (93)$$

Tento vztah platí za předpokladu, že $R_2 >> R_3$. Odpor R_2 se nastavuje na co nejmenší zkreslení výstupního signálu.

Dalším zapojením je oscilátor s dvojitým článkem T (obr. 58). Opět se snažíme volit $R_1 << R_2$. V tom případě platí

$$f_0 = \frac{2}{2\pi R C} \quad (94)$$

Odporem R_1 opět nastavíme výstupní signál s co nejmenším zkreslením.

Další velmi častou oblastí aplikací, jak již bylo dříve uvedeno, jsou aktivní filtry. Velký vstupní a malý výstupní odpór a velké zesílení operačních zesilovačů dovolují s úspěchem konstruovat aktivní filtry RC . Výhodou filtrů s OZ před pasivními filtry je to, že je možné dosáhnout větší strmosti charakteristiky filtru mimo přenášené pásmo. Aktivní filtry nemají obvykle větší počet součástek než filtry pasivní, přičemž kondenzátory a odpory jsou obvykle menší, zejména na nejnižších kmitočtech, a proto jsou menší i rozlohy filtrů.

Aktivní filtry mohou sloužit jako oddělovací zesilovače mezi jednotlivými stupni. V dnešní době je možné konstruovat filtry až do kmitočtu jednotek MHz. Činitel jakosti filtrů je až několik set. Filtry však mají i několik nedostatků, vyplývajících z použitých operačních zesilovačů, jako je omezení vstupní a výstupní napěti a poměrně malý výstupní proud. Na výstupe aktívni filtre s OZ je obvykle stejnosměrné napěti, které se mění s teplotou.

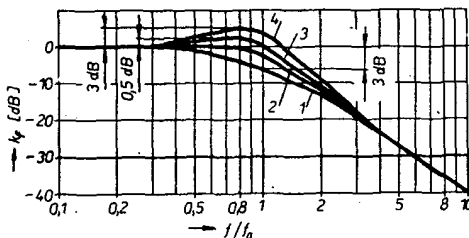
Podle toho, pro jaký účel jsou filtry určeny, dělíme je na dolní propusti (DFP), horní propusti (HFP), pásmové propusti (PF), pásmové zádrže (ZF).

DFP propouštějí všechny kmitočty až do horního mezního kmitočtu, HFP propouštějí všechny kmitočty nad dolním mezním kmitočtem, PF propouštějí jen dané pásmo kmitočtů a ZF zadržuje dané pásmo kmitočtů (mohou sloužit jako odlaďovače).

Vlastnosti filtrů jsou vyjádřeny kmitočtovou a fázovou charakteristikou; obě závisí na činiteli jakosti Q_{ekv} , charakteristickém kmitočtu f_0 a zesílení A_{uf} v pásu propustnosti.

Pro DFP a HFP je kmitočet f_0 kmitočtem, od něhož začíná klesat kmitočtová amplitudová charakteristika. Pro FP je to kmitočet ve středu propuštěného pásmá a pro ZF je f_0 střední kmitočet nepropuštěného pásmá.

Činitel Q_{ekv} určuje stručnost kmitočtové charakteristiky od kmitočtu f_0 do kmitočtu



Obr. 59. Kmitočtové charakteristiky Butterworthových, Čebyševových a Besselových filtrů

maximálního útlumu. Pro DFP a HFP se obvykle při výpočtu používá převratná hodnota Q_{ekv} .

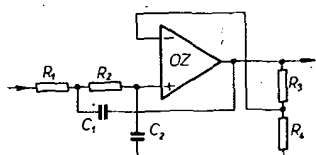
Podle tvaru kmitočtové charakteristiky dělíme DFP a HFP na filtry několika řádů. Použití filtru toho nebo onoho řádu vypílává z požadavků na filtr. Na obr. 59 je kmitočtová charakteristika Butterworthova filtru, který má rovnou kmitočtovou charakteristiku (± 3 dB) na kmitočtu f_0 . Křivky 3 a 4 jsou kmitočtové charakteristiky Čebyševových filtrů, které sice nemají pokles na kmitočtu f_0 , ale mají zvlněnou charakteristiku. Zvlnění charakteristiky může být 0,5 dB (křivka 3) až 3 dB (křivka 4); filtry však mají od kmitočtu f_0 strmější charakteristiku než filtry Butterworthovy. U Besselových filtrů (křivka 1) je zajímavá fázová charakteristika, která je v celém propustném pásmu lineární. Posledně jmenované filtry jsou výhodné pro přenos impulsů; u filtrů Čebyševových a Butterworthových vznikají při přenosu impulsů zákmity.

Zapojení DFP a HFP druhého řádu je na obr. 60 a obr. 61. Ze zapojení vyplývá, že operační zesilovač je zapojen jako neinvertující zesilovač, který má velký vstupní a malý výstupní odpór. Odpory R_1 a R_2 mohou tudíž být velké (řadovky $k\Omega$), a proto je možné zmenšit kapacitu kondenzátorů C_1 a C_2 . Zesílení je určeno poměrem odporů R_3 a R_4 ($A_u = 1 + (R_3/R_4)$). Jsou-li odpory R_1 a $R_2 = R$, můžeme určit parametry DFP ze vztahů

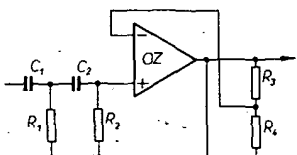
$$f_0 = \frac{0,16}{R} \sqrt{\frac{1}{C_1 C_2}}$$

$$\alpha = 2 \sqrt{\frac{C_2}{C_1}} + (1 - A_u) \sqrt{\frac{C_1}{C_2}}$$

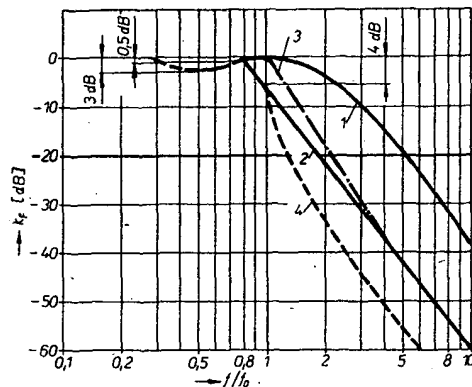
$$A_{\text{uf}} = A_u = 1 + \frac{R_3}{R_4}$$



Obr. 60. Zapojení dolní propusti druhého řádu



Obr. 61. Zapojení horní propusti druhého řádu



Obr. 64. Kmitočtová charakteristika propusti z obr. 62

Jsou-li dány f_0 , α a A_{uf} a bude-li $R_1 = R_2 = R$ a $R_4 = 2R$, můžeme spočítat prvky filtru ze vztahů

$$C_1 = 0,08\alpha \frac{1 + \sqrt{(4A_{\text{uf}} - 1)/\alpha^2}}{f_0 R}$$

$$C_2 = \frac{0,025}{f_0 C_1 R^2}$$

$$R_3 = (A_{\text{uf}} - 1)R_4$$

Kmitočtová charakteristika HFP je symetrická kolem kmitočtu f_0 . Parametry HFP lze určit z následujících vztahů (při $C_1 = C_2 = C$), jak je zřejmé z obr. 59

$$f_0 = \frac{0,16}{C} \sqrt{\frac{1}{R_1 R_2}}$$

$$\alpha = 2 \sqrt{\frac{R_1}{R_2}} + (1 - A_{\text{uf}}) \frac{R_2}{R_1}$$

Při daných veličinách f_0 , α a A_{uf} a při $C_1 = C_2 = C$ můžeme vypočítat R_1 , R_2 a R_3 z následujících vztahů

$$R_1 = \frac{0,04}{f_0 C} (\alpha + \sqrt{\alpha^2 + 8(A_{\text{uf}} - 1)})$$

$$R_2 = \frac{0,64}{f_0 C \sqrt{\alpha^2 + 8(A_{\text{uf}} - 1)}}$$

$$R_3 = (A_{\text{uf}} - 1) R_4$$

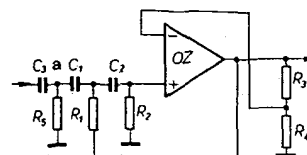
Chceme-li, aby drift na výstupu byl nulový, musí být odpór $R_4 = R_1 + R_2$.

K výpočtu filtrů DFP a HFP druhého řádu postačí užit jen f_0 a α . Je-li $R_1 = R_2 = R$ a $C_1 = C_2 = C$, pak

$$A_{\text{uf}} = 3 - \alpha, R = \frac{0,16}{f_0 C} \text{ nebo } C = \frac{0,16}{f_0 R}$$

Strmost kmitočtové charakteristiky DFP a HFP druhého řádu je 12 dB na oktavu, tj. 40 dB na dekádu. Chceme-li filtr s větší strmostí, musíme použít filtry vyšších řádů. Filtr třetího řádu dostaneme z filtru druhého řádu připojením obvodů RC na vstup filtru. Zapojení DFP a HFP třetího řádu a jejich kmitočtové charakteristiky jsou na obr. 62, obr. 63 a obr. 64 (označení křivek je stejně jako na obr. 59). Filtr čtvrtého řádu vznikne složením dvou filtrů druhého řádu. Filtr pátého řádu vznikne složením filtru druhého řádu a filtru třetího řádu. Strmost kmitočtové charakteristiky

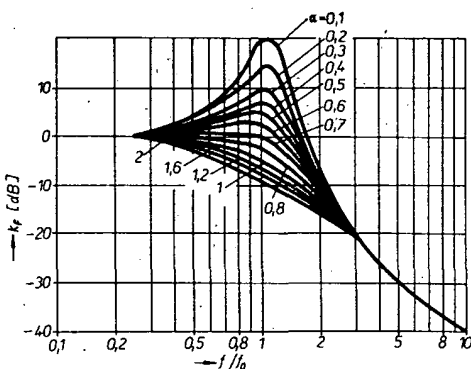
Obr. 62. Zapojení dolní propusti třetího řádu



Obr. 63. Zapojení horní propusti třetího řádu

Tab. 3. Činitele α a k_1 pro výpočet filtrů

Řád filtru							
Počet obvodů							
Besselový filtr							
α	1,73	2,32	1,45	1,92	1,24	1,77	1,09
k_1	1,73	2,54	3,02	3,39	3,65	3,78	4,26
Butterworthový filtr							
α	1,41	1,00	1,00	1,85	0,76	1,62	0,62
k_1	1,00	1,00	1,00	1,00	1,00	1,00	1,00
Čebyševový filtr (zvlnění 0,5 dB)							
α	1,16	0,59	1,42	0,34	-	0,85	0,22
k_1	1,26	1,07	0,60	1,03	0,36	0,69	1,02
Čebyševový filtr (zvlnění 3 dB)							
α	0,77	0,33	0,18	-	0,47	0,11	
k_1	0,84	0,92	0,95	0,18	0,61	0,97	



Obr. 65. Kmitočková charakteristika propusti z obr. 63

tiky se vždy při „povýšení“ filtru zvětšuje o 6 dB/okt.

Aktivní filtry až pátého řádu je možno vypočítat s údaji uvedenými v tab. 3.

Podle obr. 59 až 64 vybereme požadovaný tvar křivky, určíme řád a zapojení filtru. Z tab. 3 najdeme činitel α a mezní kmitočet filtru, který dostaneme násobením požadovaného kmitočtu činitelem k_t . Součástky filtru určíme z příslušných vztahů. Filtr, k jehož konstrukci byly použity součástky s tolerancí lepší než 5 % nemusíme obvykle nastavovat. Jsou-li tolerance součástek větší, musíme filtr na požadovaný kmitočet naladit. Je-li filtr sudého řádu, ladíme jednotlivé filtry druhého řádu na zadané parametry. U filtru lichého musíme ještě nastavit vstupní obvod RC .

Filtr DFP druhého řádu ladíme tak, že odporník R_3 nahradíme proměnným odporem (2 až 3× větším, než je vypočítán), a na vstup přivedeme signál o kmitočtu, který je blízký meznímu kmitočtu. Postupně zvětšujeme odporník R_3 a měníme kmitočet vstupního signálu, až dosáhneme výrazného maxima na výstupu (obr. 65). Když se filtr rozkmitá, musíme odporník R_3 zmenšit. Na požadovaný mezní kmitočet nastavíme filtr odpory R_1 a R_2 (oba musí být stejné). Pak zmenšíme odporník R_3 tak, abychom dosáhli požadované charakteristiky při daném α . Odporník R_3 změříme a nahradíme ho pevným odporem. Podobně nastavujeme HFP. Pouze místo odporníků R_1 a R_2 měníme kondenzátory C_1 a C_2 (obr. 61).

Při nastavování filtru lichého řádu začínáme od obvodu RC (R_5 , C_3 v obr. 62 a 63). Odporník R_5 nahradíme proměnným odporem a voltměrem připojíme na výstup členu RC (bod a v obr. 62 a 63). Při změně odporníka R_5 bude v bodě a po nastavení úrovně $0,7U_{vs}$ při mezním kmitočtu. Potom tento obvod RC odpojíme a ladíme filtr druhého řádu.

Základní zapojení pásmové propusti je na obr. 66a. Činitel jakosti tohoto filtru není větší než 10 a určuje celkové zesílení filtru. Při výpočtu musíme znát Q_{ekv} a f_0 . Kondenzátory a odpory filtru volíme tak, aby $R = R_1 = R_2 = R_3$ a $C = C_1 = C_2$. Odporník R vypočítáme ze vztahu

$$R = \frac{0,225}{f_0 C}$$

Aby drift na výstupu byl nulový, pak

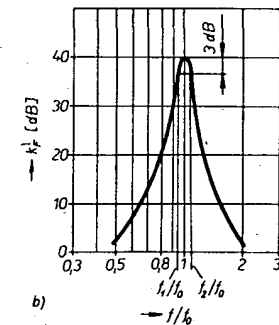
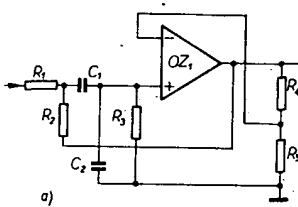
$$R_4 = A_u R,$$

$$R_5 = \frac{A_u R}{A_u - 1}.$$

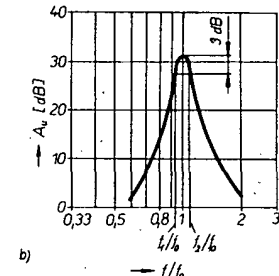
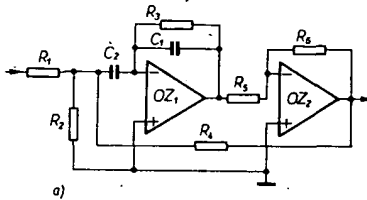
Parametry filtru vypočítáme ze vztahu

$$A_u = \frac{5 - 1,44}{Q_{ekv}},$$

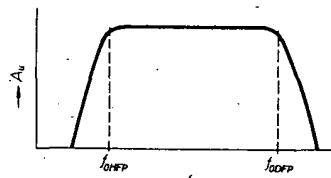
$$A_{uf} = 3,5Q_{ekv} - 1.$$



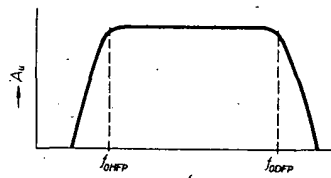
Obr. 66. Zapojení a charakteristika pásmové propusti



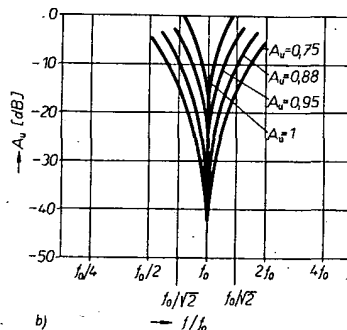
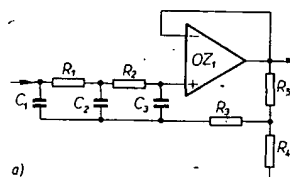
Obr. 66. Zapojení a charakteristika pásmové propusti



Obr. 67. Zapojení a charakteristika filtru s větším činitelem jakosti



Obr. 68. Širokopásmová propust



Na požadovaný kmitočet nastavíme filtr zmenou odporu R_5 a požadované jakosti dosáhneme změnou zesílení (odporem R_4). Kmitočková charakteristika pásmové propusti z obr. 66a je na obr. 66b.

Větší jakostí filtru (mezi 10 až 100) je možné dosáhnout, použijeme-li zapojení podle obr. 67a s kladnou zpětnou vazbou z výstupu na vstup odporem R_4 . Velikost této kladné zpětné vazby je závislá na zesílení A_{uf} OZ₂, který určuje činitel A_{uf} v propustném pásmu filtru; A_u volíme 1 až 10, aby zapojení bylo stabilní. Při výpočtu předpokládáme, že $R_1 = R_3 = R_5 = R$ a $C_1 = C_2 = C$. Známe-li jakost Q_{ekv} a kmitočet f_0 , pak

$$R = 0,16 \frac{Q_{ekv}}{f_0}$$

Než lze určit odpory R_2 , R_4 a R_6 , je třeba vypočítat zesílení A_{uf}

$$A_{uf} = \frac{A_{uf}}{\sqrt{Q_{ekv}}};$$

$$R_2 = \frac{R}{Q_{ekv} - 1 - \frac{2}{A_{uf} + 1} + \frac{1}{A_{uf} Q_{ekv}}}$$

$$R_4 = \frac{A_u R Q_{ekv}}{2 Q_{ekv} - 1}$$

$$R_6 = A_u R.$$

Střední kmitočet f_0 nastavíme odporem R_2 a činitel jakosti změnou zesílení A_{uf} . Kmitočková charakteristika filtru s jakostí 100 ($A_u = 40$ dB) je na obr. 67b.

Širokopásmový filtr s plohou kmitočtovou charakteristikou (obr. 68) dostane spojením DFP a HFP.

Potlačení kmitočtu je možné dosáhnout paralelním spojením DFP a HFP. Potřebujeme-li potlačit jen úzké pásmo kmitočtů, použijeme zádrž ZF, např. podle obr. 69a. Kmitočková charakteristika je na obr. 69b. Sílka pásmna tohoto filtru je závislá na zesílení neinvertujícího zesilovače ($A_u = R_4/(R_4 + R_5)$), které lze regulovat odpory R_4 a R_5 . Při daném f_0 a A_u (vybraném podle obr. 69b) a při $R_1 = R_2 = R$ a $C_1 = C_2 = C$ bude

$$R = \frac{0,28}{f_0 C},$$

$$R_3 = \frac{R}{12}.$$

Aby nebyl zatěžován operační zesilovač při nepřipojeném signálu, musí být odpory R_4 a R_5 několik kΩ. během nastavování filtru je nahradíme proměnným odporem 2 až 3 kΩ. Na daný kmitočet naladíme filtr zmenou odporů R_1 a R_2 nebo zmenou kapacit kondenzátorů C_1 a C_2 .

Dosud jsme si všímali pouze aktivních pásmových propustí, které byly naladěny na jeden pevný kmitočet. Na obr. 70 je zapojení aktivního filtru – pásmové propusti – u které lze změnou odporu R měnit kmitočet, tzn. že ji můžeme přelaďovat. Mění-li se tento odpór od 1100 Ω do 406 Ω, mění se kritický kmitočet filtru od 1,6 kHz do 2,4 kHz. Napěťový zisk asi 26 dB zůstává konstantní. Propustná šířka pásmna B zůstává rovněž konstantní, a je asi 260 Hz. To ovšem znamená, že se

Obr. 69. Zapojení a charakteristika pásmové zádrže

mění poměr mezi kmitočtem a šírkou pásma, z čehož vyplývá, že se mění i činitel jakosti Q . U filtru, jehož zapojení je na obr. 71, je možné změnou napětí na řídící elektrodě tranzistoru řízeného polem měnit odpor jeho kanálu a tím měnit kmitočet od 200 Hz do 3200 Hz, aniž by se měnila šířka pásma nebo zisk. Ladici napětí pro nejvyšší kmitočet je rovno přibližně nule a šířka pásma bude 80 Hz. Činitel jakosti Q se mění od 2,5 (pro $f_0 = 200$ Hz) do 40 pro $f_0 = 3200$ Hz. Při použití tranzistoru KF521 bude pravděpodobně omezen dosažitelný horní kmitočet.

Zapojení aktivní pásmové propusti se dvěma operačními zesilovači je na obr. 72. Dvěma nezávislými prvky je možné nastavit jednak kmitočet a jednak šířku propouštěného pásma. Kmitočet lze nastavit od 1 do 10 kHz změnou nastavení potenciometru P_2 . Změnou nastavení potenciometru P_1 můžeme měnit šířku pásma tak, že se činitel jakosti bude měnit od 2 do 200. Jsou-li oba potenciometry nastaveny na maximum, pak bude šířka pásma 5 Hz na kmitočtu 1 kHz. Uvedený typ filtru je vhodný ke zpracování signálů s mezivrcholovou hodnotou do 1 V.

Zapojení aktivní pásmové propusti, u níž zůstává při přelaďování poměr kmitočtu k šířce pásma konstantní (tzn. s konstantním činitelem jakosti Q), je na obr. 73. Dvojitým potenciometrem lze filtr přelaďovat v rozmezí od 150 do 1500 Hz při činiteli jakosti 30, který se nezmění o více než 5 %.

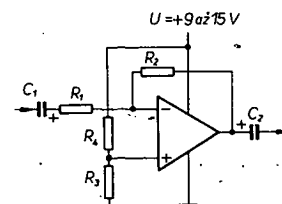
Posledním ze skupiny aktivních pásmových propustí je filtr, který se automaticky přelaďuje podle kmitočtu vstupního signálu. Jeho zapojení je na obr. 74. Přivedeme-li na vstup aktivní pásmové propusti signál U_1 o kmitočtu shodném s kmitočtem filtru, pak signál na výstupu bude mít vůči vstupnímu signálu určitý fázový posuv. Bude-li se kmitočet vstupního signálu lišit od kmitočtu filtru, tzn. bude-li větší nebo menší, bude fáze výstupního signálu „předbíhat“ nebo se zpožďovat za fazí signálu vstupního. Zavedeme-li do fázového detektoru vstupní signál a signál po průchodu filtrem, objeví se na výstupu napětí závislé na fázových posuvech obou signálů. Po zpracování zavedeme toto napětí na řídící elektrodu tranzistoru řízeného polem, který je součástí filtru na obr. 71. Tím bude uzavřena smyčka zpětné vazby, která zajišťuje stálý poměr mezi fazí vstupního a výstupního signálu obvodu na obr. 74. V důsledku to znamená, že se filtr automaticky ladí na kmitočet vstupního signálu U_1 . Zapojení na obr. 74 pracuje od 2 do 6 kHz. Aktivní pásmová propust je tvořena operačním zesilovačem OZ, a tranzistorem FET. Obvody OZ₁, OZ₂, OZ₃, OZ₄, OZ₅ a bipolární tranzistor tvoří fázový detektor a zdroj řídícího napětí. Fázový detektor s OZ₃ a OZ₄ je tvořen dvěma komparátory. Do prvního je přiveden vstupní signál a do druhého výstupní signál přes derivátor OZ₅, který

zajišťuje fázový posuv 90°. Obvod lze přesně doladit potenciometrem P_1 .

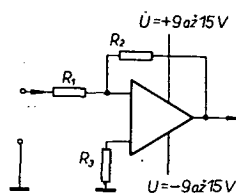
Aplikace zesilovačů s OZ v nf technice

Každý operační zesilovač lze zapojit jako jednoduchý nf zesilovač, např. jako mikrofoničeský zesilovač, telefonní příposlechový zesilovač apod. Aby bylo dosaženo velké citlivosti, musí být vstupní impedanční předzesilovače větší nebo stejná jako impedance zdroje signálu. Nejjednodušší zapojení pro tyto účely s operačním zesilovačem je na obr. 75 (je použito nesymetrické napájecí napětí). Pro zesílení A platí

$$A = \frac{U_o}{U_s} = -\frac{R_2}{R_1}$$

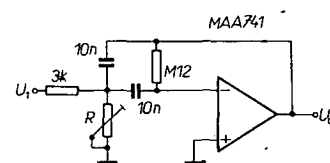


Obr. 75. Předzesilovač s OZ

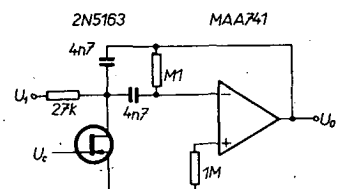


Obr. 76. Zesilovač s $A = 20$

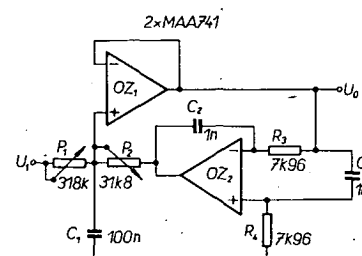
kde R_1 a R_2 volíme v běžném případě větší než $1\text{k}\Omega$; R_4 a R_5 budou dvojnásobkem paralelní kombinace odporů R_1 a R_2 . Maximální dosažitelné zesílení závisí na typu operačního zesilovače; pro OZ typu 741 je zesílení 100 000, takže poměr R_2/R_1 nesmí být větší než $10^5/1$. Šířka pásma bude závislá na součinu šířky pásma –



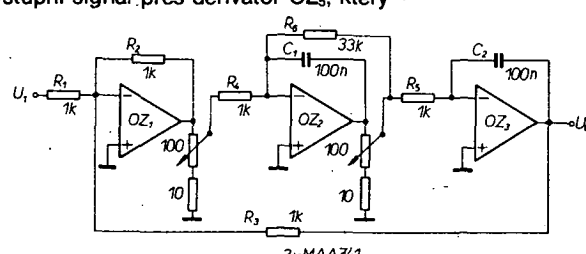
Obr. 70. Laditelná aktivní pásmová propust



Obr. 71. Pásmová propust laditelná napětím



Obr. 72. Obvod s odděleným řízením kmitočtu a šířky pásma



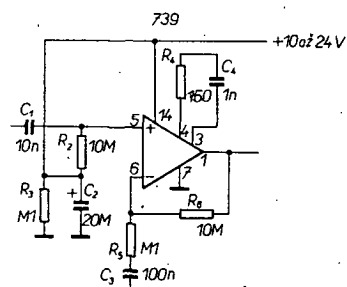
Obr. 73. Laditelná pásmová propust s konstantním činitelem jakosti Q

Obr. 74. Zapojení samočinně laděné pásmové propusti

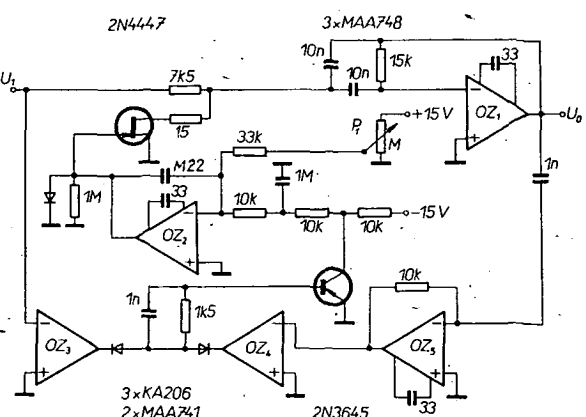
zesílení, který obvykle uvádí výrobce OZ v katalogu.

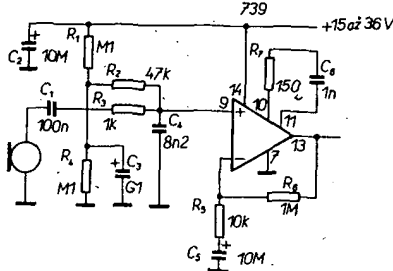
Chceme-li např. sestrojit zesilovač se vstupním impedančním $10\text{ M}\Omega$ a se zesílením 20, pak vypočítáme obvodové prvky takto: volíme $R_1 = 10\text{ k}\Omega$ a zesílení = 20, pak $R_2/R_1 = 20$ a $R_2 = 20R_1$, $R_2 = 20 \cdot 10\text{ k}\Omega = 200\text{ k}\Omega$. Odpory $R_4 = R_5 = [R_1R_2 : (R_1 + R_2)] \cdot 2 = 20\text{ k}\Omega$. Použijeme-li OZ typu 741, pak $B = A = 10^6$, takže šířka pásma zesilovače při zesílení 20 bude 50 kHz. Při symetrickém zapojení podle obr. 76 je R_3 dán paralelní kombinací odporů R_1 a R_2 . Při použití operačního zesilovače s tranzistory FET na vstupu může R_3 odpadnout a neinvertující vstup spojime se zemí. V tab. 4 jsou uvedeny některé parametry běžně používaných OZ.

Zesilovač se vstupním odporom $10\text{ M}\Omega$ a zesílením 100 je na obr. 77. V zesilovači je použit dvojitý operační zesilovač s malým šumem typu μA739 (Fairchild – MLR), nebo jeho ekvivalenty SN76131 (TI), TBA231 (SGS). Zesílení je závislé na počtu odporů R_6/R_5 . Změnou odporu R_6 můžeme měnit zesílení celého zesilovače.



Obr. 77. Zesilovač se vstupním odporom $10\text{ M}\Omega$ a zesílením 100
(mezi přívodem + napájecího napětí a odporem R_3 má být odpor R_1 , $100\text{ k}\Omega$)



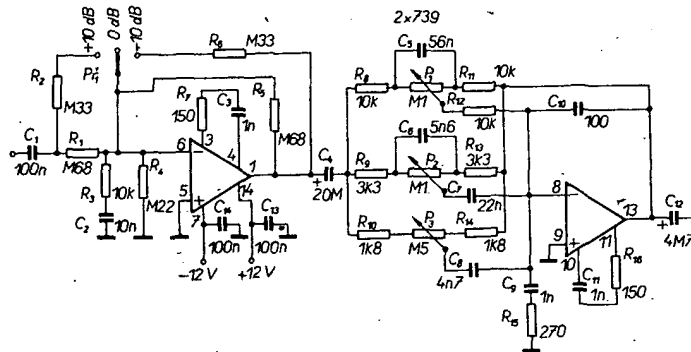


Obr. 78. Mikrofonní zesilovač

Na neinvertující vstup není zavedena zpětná vazba, proto se zvětšuje vstupní odpor o činitel „nevyužitého“ zesílení (poměr zesílení bez vazby k zesílení s vazbou). Typické zesílení bez zpětné vazby je asi 18 000 (65 dB), a proto se v daném případě vstupní odpor, který je asi 150 kΩ, podstatně zvětší – vstupní impedance celého zapojení bude závislá jen na odpisu R₂. Protože R₂ ovlivňuje i stejnosměrné vlastnosti OZ, musíme ho volit tak, aby ty byly co nejvhodnější; maximální přípustný R₂ je 10 MΩ. Protože napětí na výstupu OZ má byt $U_B/2$, je ho třeba nastavit – odpor R₁ nahradíme proměnným odporem, kterým požadované napětí nastavíme. Při zatěžovací impedance větší než 10 kΩ je mezi vcholové výstupní napětí maximálně 2/3 U_B . Odběr ze zdroje je asi 7,5 mA a abychom mohli zesilovat i malé signály, musí být napětí ze zdroje velmi dobře filtrováno.

Na obr. 78 je zesilovač pro dynamický mikrofon s IO μA739. Odpory R₁ a R₄ tvoří dělič napětí, který udržuje na neinvertujícím vstupu poloviční napájecí napětí. Z děliče mohou být napájeny oba neinvertující vstupy tehdy, používáme-li „stereo-zapojení“ (a to přes odpor R₂). Obvod R₃, C₄ tvoří dolní propust, která omezuje ve rušení naindukované na přívodovém kabelu od mikrofonu. Obvod R₆, C₇ je obvodem kmitočtové kompenzace odporníkem a kondenzátorem jsou voleny tak, aby zesilovač byl stabilní i při zesílení 100. Vstupní impedance je 47 kΩ, takže pro běžný dynamický mikrofon je zachován dobrý poměr signál–šum. Výstupní impedance je rádu stovek ohmů. Maximální mezi vcholové výstupní napětí je o 1 V menší, než použité napájecí napětí. Kmitočtový rozsah je 20 Hz až 20 kHz (-3 dB); při vypuštění dolní propusti je horní mezní kmitočet asi 80 kHz.

Další aplikací μA739 je kytarový snímač (obr. 79). Na vstupu spínače je operační zesilovač, jehož zesílení lze přepínat: -10 dB, 0 dB a +10 dB. (K tomuto zesilovači je možné připojit i přenosku, která má malé výstupní napětí.) Za ním připojený třírozávahový korektor má tu výhodu, že je možné korigovat kmitočtový průběh různých snímačů pro elektrické kytary, jejichž charakteristiky nevyvájí v celém kmitočtovém rozsahu lineárně. Ubytek napětí při různých kmitočtech vyžaduje velký rozsah regulace – zesílení korektoru lze volit přepinacem tak, že je možno dosáhnout vazby mezi kytarou a zesilovačem aparaturou; z výsledného efektu lze mít dojem „jako by kytara utíkala v blízkosti reproduktoru“. Tohoto mezi hudebníky oblíbeného efektu, nazývaného též „zpívající kytara“, je možné dosáhnout s popisovaným korektorem již při výkonu zesilovači aparatury kolem 20 W. Korekční obvod R₃, C₂ potlačuje zákmity, vznikající



Obr. 79. Předzesilovač pro kytarový snímač a přenosku

mezi reproduktorem a kytarou. Toto zapojení má velmi malý šum, takže je ho možné použít jako korektor pro zařízení hi-fi.

Na obr. 80 je zapojení osminásobného korektoru, nazývaného ekvalizér, se středními kmitočty f₀₁ až f₀₈ (f₀₁ = 63 Hz, f₀₂ = 125 Hz, f₀₃ = 250 Hz, f₀₄ = 500 Hz, f₀₅ = 1 kHz, f₀₆ = 2 kHz, f₀₇ = 4 kHz, f₀₈ = 8 kHz). První stupeň (T₂, T₃, T₄) je určen pro dílčí rozsahy se středními kmitočty f₀₁, f₀₃, f₀₅, f₀₇ a druhý stupeň (T₅, T₆, T₇) je určen pro zesílení signálů kmitočtů f₀₂, f₀₄, f₀₆ a f₀₈. Rozdělení dílčích spekter tímto způsobem dovoluje dosáhnout dobrého kompromisu mezi šumem a výkademním ovlivňováním. Bázový tranzistor T₂ (T₅) má zde funkci neinvertujícího a emitor invertujícího vstupu OZ. Aby byly potlačeny šумy, jsou potenciometry odděleny od báze kondenzátorem C₉ nebo C₇, takže na nich není stejnosměrné napětí. Emitorový sledovač T₁ jednak zvětšuje vstupní impedance na 100 kΩ a jednak odděluje filtry od výstupní impedance zdroje signálu, takže ten nebude ovlivňován. Obvykle připojené cívky jsou na obr. 80 nahrazeny operačními zesilovači IO_{1a} až IO_{2d}. Kondenzátory C₁₁ + C₁₂ až C₃₉ + C₄₀ jsou obvodové kapacity a kondenzátory C₁₃ + C₁₄ až C₄₁ + C₄₂ jsou zpěnovazební. Odpory R₁₅ až R₂₂ jsou odpory ve zpětné vazbě a odpory R₂₃ až R₃₀ jsou odpory z neinvertujícího vstupu na zem.

Místo IO XR4212CP je možné použít i IO LM324. Pro toho, kdo by chtěl volit jiné kmitočty f₀, uvedeme vztahy pro výpočet jednotlivých obvodových prvků

$$f_0 = \frac{1}{4\pi^2 LC},$$

kde L je ekvivalentní indukčnost, $L = R_g C_g$ (pro k = 1), (kde R_g je odpór ve zpětné vazbě, R_g odpór mezi neinvertujícím vstupem a zemí, C_g kapacita kondenzátoru ve zpětné vazbě), C obvodová kapacita. Jakost obvodu je

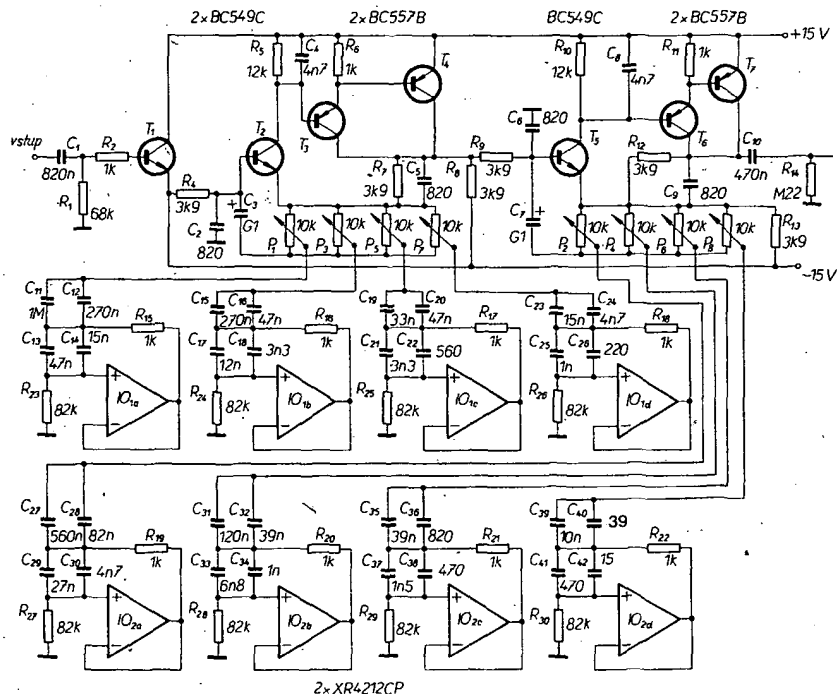
$$Q = \frac{1}{R^2 g C}.$$

Zvolíme-li R_g a R_g, pak kapacity C a C_g můžeme vypočítat ze vztahů:

$$C = \frac{1}{2\pi f_0 Q R_g},$$

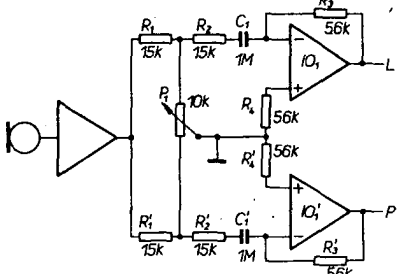
$$C_g = \frac{Q}{2\pi f_0 R_g}$$

Další aplikaci OZ v nf technice je panoramatický regulátor, slangově nazývaný



Obr. 80. Ekvalizér (C₄₀ =)

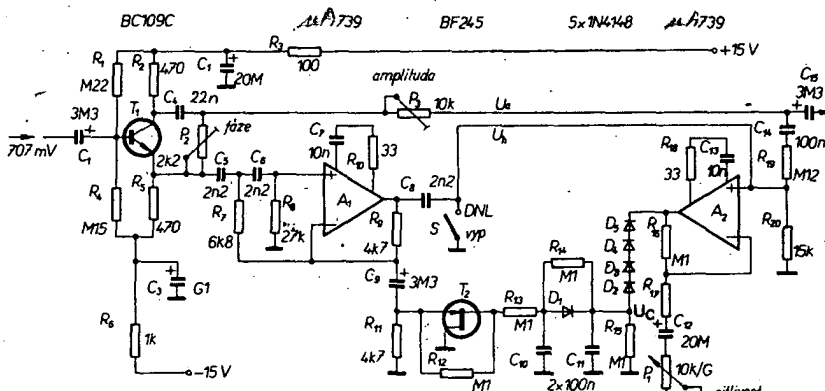
„Pan-Pot“, který umožňuje zvukaři rozdělovat monofonní zdroj signálů do obou kanálů stereofonního zesilovače v závislosti na poloze potenciometru P_1 . S tímto regulátorem je možno dělat i různé efekty. Tak např. je možné „posouvat“ nástroj zprava doleva a obráceně. V běžném provedení mívá panoramatický regulátor dva mechanicky spojené potenciometry, takže při otočení ovládacího hřídele se odporník jednoho potenciometru např. zvětšuje a druhýho zmenší. V zapojení na obr. 81 lze použít jakékoli operační zesilovače.



Obr. 81. Panoramatický regulátor

vače; pro tento panoramatický regulátor postačí jednoduchý lineární potenciometr. Je-li běžec P_1 ve střední poloze, pak bude vstupní signál „ve stejně síle“ na pravém i levém výstupu (o 3 dB zeslaben). Mikrofon je v tomto případě ve „středu“. Pootočíme-li běžecem potenciometru do jedné z krajních poloh, bude signál z mikrofonu znít buď zleva nebo zprava; zesílení příslušného kanálu je pak neurčité.

Při vývoji předzesilovačů s malým šumem se vychází z následujícího předpokladu. Přivedeme-li na n stejných zesilovačů jeden vstupní signál a výstupní napětí sečteme, pak v místě součtu obdržíme aritmetický součet korelačních signálů a geometrický součet nekorelačních šumových napětí jednotlivých zesilovačů. Tento způsob zapojení může vést ke zlepšení poměru signál/šum o činitel \sqrt{n} , kde n je počet zesilovačů stupňů. V zapojení na obr. 82 jsou použity čtyři stejné zesilovače ze čtyřnásobného OZ RC4136. Tím se poměr signál/šum zlepší o činitel $\sqrt{4}$, tj. dvakrát, tj. o 6 dB. Součet je realizován operačním zesilovačem typu 741, který je zapojen jako součtový zesilovač. Celkové zesílení systému je 100. Při měření bylo na výstupu naměřeno šumové napětí 60 μ V, což odpovídá vstupnímu šumovému napětí 0,6 μ V. Měří se při zkratovaném vstupu v kmitočtovém rozsahu 10 Hz až 15 kHz. Jmenovitý šum tohoto systému odpovídá šumovému napětí speciálního operačního zesilovače

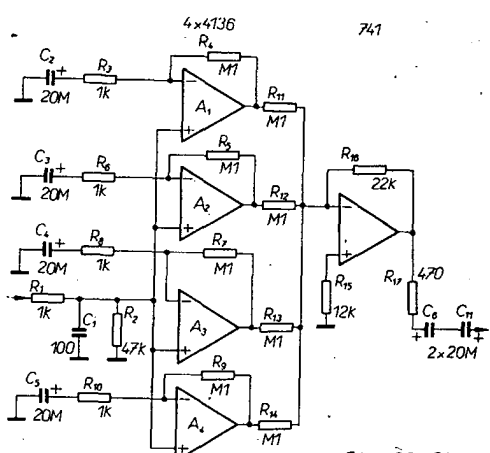


Obr. 83. Zlepšený obvod pro potlačení šumu

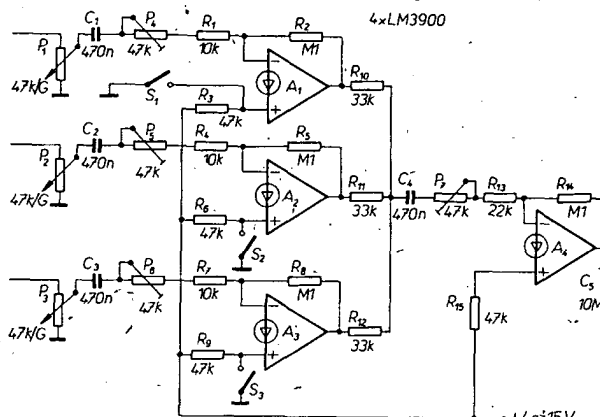
s malým šumem typu LM381 (K548UN1). Popisované metody lze s výhodou použít pro mikrofonní nebo korekční zesilovače s velmi malým šumem.

Na obr. 83 je zapojení pro potlačení šumu u kazetových magnetofonů, vyuvinuté u fy Philips a zkráceně označované DNL (Dynamic Noise Limiter). Jak již z názvu vyplývá, obvod pracuje dynamicky. Šumy budou potlačeny, když je to z hlediska fyziologie poslechu potřebné a možné. Šumy vynikají při tichých pasážích, proto při nich požadujeme co nejvíce potlačení šumu. Systém DNL využívá toho, že signály vyšších kmitočtů mají pro posluchače tím menší význam, čím menší je úroveň hlasitosti. Obvod DNL proto potlačuje složky signálu s vyššími kmitočty a tím i šumy při malých hlasitostech. Uvedené zapojení na obr. 82 je zlepšenou a zmodernizovanou verzí obvyklého DNL. Jeho předností je nastavitelný práh, od něhož začíná potlačení. Vstupní signál je veden nejprve do stupně, který posouvá fázi. Na jeho výstupu je jednak signál fázově neposunutý a jednak signál, jehož složky jsou oproti vstupnímu signálu fázově posunuty (o 0° při nízkých kmitočtech a o 180° při vysokých kmitočtech). Fázově neposunutý signál je po průchodu horní propustí zesílen. Zesílení je závislé na regulačním napětí U_c , které je získáno usměrněním zesíleného výstupního signálu U_h . Spolu s horní propustí tvoří zesilovač zpětnovazební systém, který komprimuje dynamicky signály vyšších kmitočtů. Výstupní signál U_h je sečten s kmitočtově a fázově závislým signálem U_a . Složky signálu s vyššími kmitočty tak budou potlačeny a složky signálu s nižšími kmitočty zesíleny. Tím je dosaženo účinku DNL. Na obr. 83 je fázovací stupeň osazen tranzistorem T₁. Kmitočtové závislosti fázového posuvu je dosaženo obvodem RC (P₂, C₄). Na kolektoru je fázový posuv 180° a na emitoru 0°. Operační zesilovač A₁ pracuje jako aktivní prvek horní propusti, která je zapojena jako Butterworthův filtr třetího řádu s mezním kmitočtem asi 5,5 kHz. OZ A₂ zesiluje signál U_h , a na jeho výstup je připojen usměrňovač. Zesílení je závislé na poloze běžce potenciometru P₁, kterým lze měnit citlivost obvodu. Špičkový usměrňovač je sestaven ze čtyř do série zapojených diod, takže napětí U_c vznikne jen při překročení zvolené úrovně signálu. Polem řízený tranzistor T₂ pracuje jako řízený zesilovač a je zapojen do smyčky zpětné vazby. Signály U_a a U_h jsou sečteny v místě spojení P₃ a kondenzátoru C₁₄. Obvod DNL lze výrazit funkce spínačem S₁. Při stavbě je nutno dát pozor, aby výstupní signál z A₂ se kapacitně nevázal na ostatní signálové vodiče, jinak může dojít k přeslechům. Nastavení obvodu DNL je otázka citu. Nejlépe je použít šumový signál např. z vymazaného pásku nebo z přijímače VKV. Při současném nastavování P₂ a P₃ lze pak najít takovou polohu jejich běžců, při níž bude šum optimálně potlačen. Obvod je navržen pro úroveň 0 dB = 770 mV (efektivní napětí), můžeme ho však nastavit i pro jiné úrovně signálu.

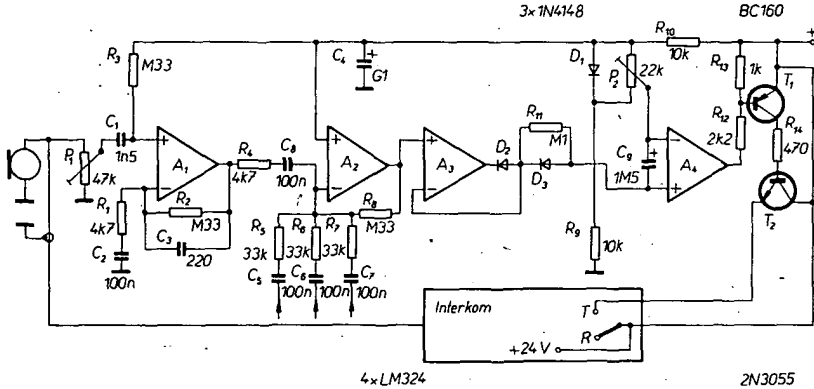
IO LM3900 je tvořen čtyřimi Nortonovými zesilovači (viz AR A5/75). Předností tohoto operačního zesilovače je, že potřebuje jen jedno napájecí napětí (nesymetrické napájení). Protože tento typ zesilovače zpracovává vstupní rozdílový proud, stejnosměrné pracovní bod se nastavuje zpětnou vazbou. Stejnosměrné napětí na výstupu musí být rovno polovině napájecího napětí, a to proto, aby při maximální



Obr. 82. Obvod ke zmenšení šumu předzesilovačů



Obr. 84. Tříkanálový směšovač signálů



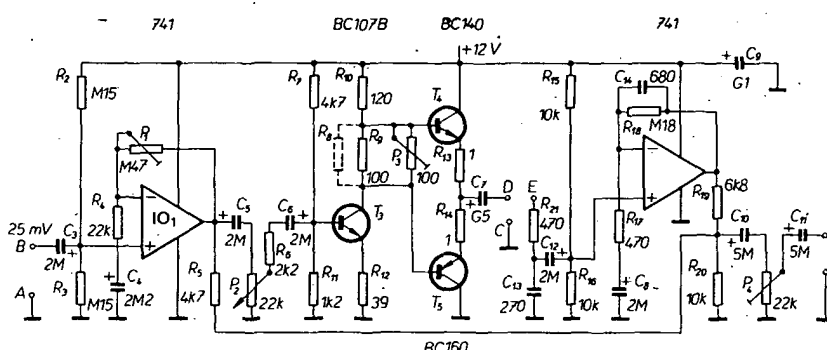
Obr. 85. Interkom jako poplachové zařízení

ním buzení nedocházelo ke zkreslení (při přebuzení dochází k symetrickému omezení). Při návrhu zapojení volíme zesílení a odpor R_2 (R_5, R_8, R_{14}). Poměr R_2/R_1 určuje „střídavé“ zesílení. Volíme-li odpor $R_3 = 0,5R_2$, máme jistotu, že obvod je správně navržen. Na obr. 84 je zapojení tríkanálového směšovače s Nortonovým operačním zesilovačem. Uroveň tří vstupních signálů můžeme nastavit potenciometry P_1 až P_3 a trimy P_4 až P_6 lze zařízení přizpůsobit použitým zdrojům signálů. Odpory v neinvertujících vstupech nastavují stejnosměrný pracovní bod tak, aby na výstupu bylo poloviční napájecí napětí. Přes součtové odpory R_{10} až R_{12} je součtový signál přiveden na součtový zesilovač A_4 . Celkové zesílení nastavujeme trimrem P_7 . Spínači S_1 až S_3 se vypínají jednotlivé zesilovače A_1 až A_3 . Na obr. 84 je aktivovaný zesilovač A_1 . Nahradíme-li spínače výstupními tranzistory posuvného registru, pak směšovač pracuje jako analogový multiplexer, kterým lze připojit několik paralelních vstupů.

Budeme-li chtít využít dorozumívací zařízení pro poplachové účely, pak zesilovač nebo vysílač bude v provozu jen v případě poplachu. Na obr. 85 je příklad takového zapojení. Signál z mikrofonu je nejdříve zesílen operačním zesilovačem A_1 a A_2 . Do OZ A_2 jsou zavedeny signály z dalších tří čidel poplachu. OZ A_3 spolu s D_2, D_3 pracuje jako usměrňovač, jehož výstupním napětím je řízen Schmittův klopný obvod A_4 . Při velkém vstupním signálu bude na výstupu A_4 menší napětí, takže tranzistory T_1 a T_2 povedou a dorozumívací zařízení dostane napájecí napětí. Odpor R_{14} je navržen tak, aby přes T_2 tekly maximální proud 1 A. Přístroj se nastavuje tak, že běžec P_2 spojíme s anodou D_2 a potenciometrem P_1 nastavíme požadovanou citlivost. Jestliže A_4 při největší citlivosti nepřeklopí, pak je nutné P_2 nastavit tak, aby Schmittův klopný obvod překlopí.

Na obr. 86 je zapojení zesilovače pro dozvuk. Předzesilovač je osazen IO_1 . Vstupní signál je přiveden na svorky A a B a přes kondenzátor C_3 na neinvertující vstup IO_1 . Vzhledem k použitému nesymetrickému napájení musíme na tomto vstupu nastavit odpory R_2 a R_3 poloviční napájecí napětí. Vstupní impedancie je pak rovna paralelní kombinaci R_2 a R_3 , tj. v našem případě 75 kΩ, neboť vstupní impedance IO_1 je mnohonásobně větší a tudíž ji můžeme zanedbat. Zesílení IO_1 je dáné poměrem P_1 ku R_4 , tedy maximálně 21. Minimální zesílení získáme, je-li $P_1 = 0$, IO_1 pak pracuje jako prevodník impedance se zesílením 1.

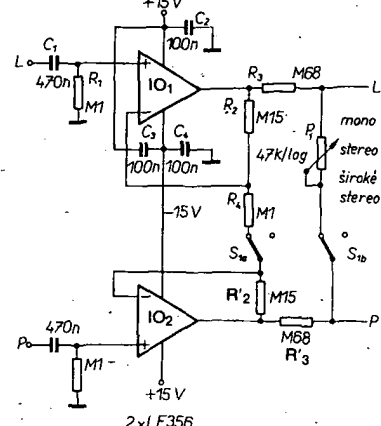
Výstupní signál z IO_1 je veden jednak přes R_5, C_{10}, P_4 a C_{11} přímo na výstup dozvuku a jednak přes C_5P_2, R_6, C_6 na budící zesilovač. Budící zesilovač se skládá z budiče T_3 a komplementárního koncového směšovače s T_4 a T_5 . Na kolektoru T_3 je poloviční napájecí napětí. Napěťové zesílení je určeno pomocí kolejktorového odporu k emitorovému odporu T_3 a je asi 3. Klidový proud komplementárního stupně je nastaven (P_3) na 20 mA, čímž je dosaženo dobré linearity a malého zkreslení. Na výstup do bodu D je připojena budící cívka dozvukových pružin. Snímací cívka pružin je připojena do bodu E, kam je připojen i vstup výstupního zesilovače. Protože dozvukové pružiny mají i vyšší harmonické, je na výstup připojen kondenzátor C_{13} , který potlačuje vlny složky signálu. Tento kondenzátor by měl být keramický. K zesílení signálu je použit OZ typu 741, jehož zesílení je určeno poměrem odporů R_{18} ku R_{17} (bude asi 380). Zpětnovazební kondenzátor C_{14} zmenšuje zesílení nad 1,5 kHz. Dozvukové pružiny nepřenesou obvykle vysí kmitočet než 5 kHz. Pro linearitu přenosu lze kapacitu tohoto kondenzátoru zmenšit až na 180 pF. Základní a zpožděný signál se směšují na odporech R_{19} a R_{20} . Intenzitu dozvuku můžeme nastavit P_2 , výstupní úroveň P_4 .



Obr. 86. Dozvuk

K napájení je použit stabilizovaný zdroj. Výstupní napětí je určeno Zenerovou diodou. Transformátor má mít sekundární napětí 12 až 15 V a proud až 200 mA. Tranzistory T_4 a T_5 mají chladiče. Pro zlepšení teplotní stability je možné paralelně k R_9, P_3 připojit termistor 130 Ω, který musí být mechanicky spojen (avšak elektricky izolován) s T_4 nebo T_5 .

Na obr. 87 je obvod pro změnu šířky stereofonní báze. Potenciometrem P_1 lze měnit šířku stereofonní báze od „mono“ přes „normální stereo“ až k „širokému stereo“. Šířka stereofonní báze je zvětšena



Obr. 87. Regulace šíře stereofonní báze

vána zápornými přeslechy. Část signálu z pravého kanálu je v protifázi zavedena do kanálu levého a naopak. Je-li však část signálu z pravého kanálu zavedena do fázi do levého kanálu nebo naopak, šířka báze se zmenší. Dva OZ a odpory R_2, R_3, R_4 způsobují záporné přeslechy asi 60 % (-4,4 dB) na výstupu IO_1 a IO_2 . Odpory R_3, R_4 a P_1 umožňují nastavení přeslechů. Při maximu P_1 jsou záporné přeslechy asi 50 % (-6 dB). Při minimu P_1 jsou výstupní signály pravého a levého kanálu stejné, takže reprodukce je monofonní. V mezi poloze P_1 budou záporné přeslechy eliminovány („normální stereo“). Běžného stereofonního poslechu je možné dosáhnout jednoduše sepnutím spínače S_1 .

Na obr. 88 je zapojení symetrického filtru s konstantním výstupním napětím, který je vhodný pro aktívni reproducory a soustavy. Obvod je tvořen třemi integrátory a jedním součtovým zesilovačem, které spolu tvoří filtr s konstantním výstupním napětím a strmostí 12 dB/okt. Součet napětí U_H (vyšší kmitočty) a U_L (nižší kmitočty) je co do amplitudy a fáze konstantní a proto kmitočtově nezávislý. Pro dělící kmitočet f_0 platí:

$$f_0 = \frac{1}{2\pi RC}$$

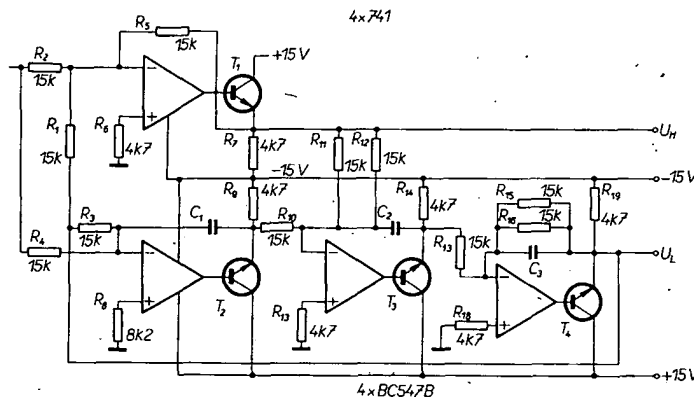
a z toho

$$C = C_1 = C_2 = C_3 = \frac{1}{2\pi R f_0}$$

Pro $R = 15 \text{ k}\Omega$ a dělící kmitočet 500-Hz bude $C = 21,2 \text{ nF}$.

Použité OZ typu 741 jsou zapojeny jako emitorové sledovače. Obvod je napájen ze symetrického zdroje $\pm 15 \text{ V}$ a odběr proudu je menší než 25 mA. Amplitudová charakteristika U_H a U_L se od běžné charakteristiky Butterworthova filtru liší jak pro U_L při kmitočtu 0,8 f_0 , tak pro U_H při kmitočtu 1,2 f_0 o +4 dB.

V některých případech potrebujeme odfiltrovat brum 50 Hz. Pro tyto účely se používají speciální odladovače, které mo-



Obr. 88. Symetrický filtr s konstantním výstupním napětím

hou být konstruovány buď s obvodem LC nebo jako aktivní filtr. Pro pasivní odlaďovač potřebujeme cívku s indukčností asi 150 H, u níž činitel jakosti nebývá větší než 10 na kmitočtu 50 Hz, což je velmi málo. Proto je lepší použít aktivní filtr s dvěma operačními zesilovači, nahrazujícími tuto indukčnost. Na obr. 89 je zapojení odlaďovače 50 Hz s dvěma operačními zesilovači, které spolu s R₂ až R₅, C₂ a P₁, zapojenými mezi vývod 3 a zem, tvoří elektronickou cívku, jejíž indukčnost je dána vztahem

$$L = R_2 R_3 C_2.$$

Potenciometrem P₁ můžeme nastavit kmitočet tak, aby brum 50 Hz byl potlačen o 45 až 50 dB. Obvod lze např. použít jako absorpční filtr brumu při měření harmonických zkreslení, nebo filtr pro mezinosný brum v televizoru.

Potřebujeme-li vybrat určitou část kmitočtového spektra ze signálu, použijeme pásmovou propust, přičemž zesílení v blízkosti rezonančního kmitočtu musí být konstantní a musí být dosaženo vynikající selektivity. Jednoduchým selektivním obvodem jsou tyto požadavky těžko splnitelné. Velmi úzké šířky pásma je možné dosáhnout pouze při velké jakosti obvodu, avšak konstantního zesílení v pásmu -3 dB zase jen při malém činiteli jakosti. Zapojime-li do série dva filtry, pak lze tyto dva protichůdné požadavky splnit. Oba filtry mají rezonanční kmitočty f_{o1} a f_{o2} a stejný průběh amplitudy. Průsečík amplitudových charakteristik leží ve středu kriticky vázané pásmové oblasti. Součtem obou signálů po průchodu filtry dostaneme výslednou charakteristiku. Na obr. 90 je návrh takového filtru, pro nějž platí následující vztahy

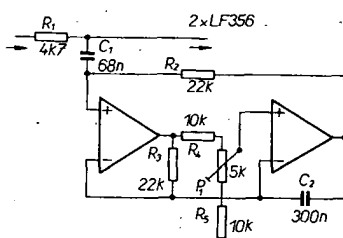
$$f_{o1} = f_o \left(1 - \frac{1}{2q}\right),$$

$$f_{o2} = f_o \left(1 + \frac{1}{2q}\right),$$

$$q_{o2} = 0,5Q\sqrt{2},$$

$$Q = f_o/B;$$

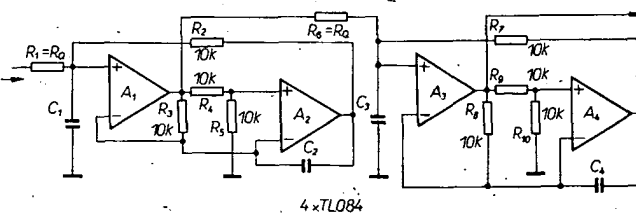
$$R_1 = R_6 = R_Q = 100 \text{ k}\Omega$$



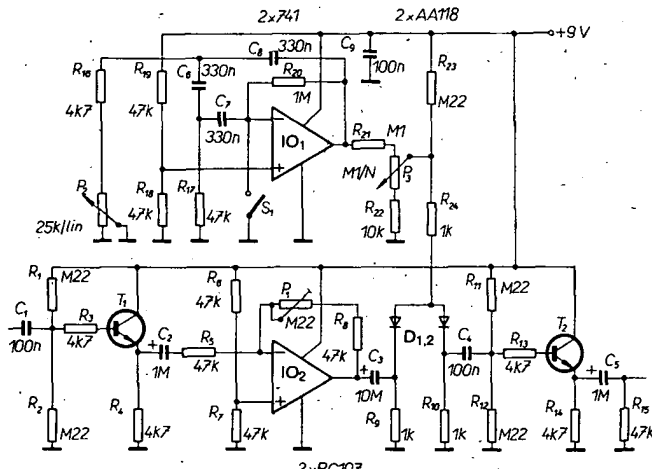
Obr. 89. Filtr brumu

metrem P₁. Operační zesilovač IO₁ je zapojen jako sinusový generátor, jehož kmitočet můžeme měnit v rozsahu 1 až 10 Hz potenciometrem P₂. Diodový modulátor (D₁, D₂) sčítá nf signál se signálem sinusového generátoru. Na odporu R₁₀ bude amplitudově modulovaný signál, jehož stupeň modulace lze nastavit potenciometrem P₃. Aby výstup neovlivňoval modulátor, je použit oddělovací stupeň s emitorovým sledovačem T₂. Sinusový generátor můžeme vyřadit z činnosti spínačem. Při správném nastavení pak bude mít obvod zisk 0 dB.

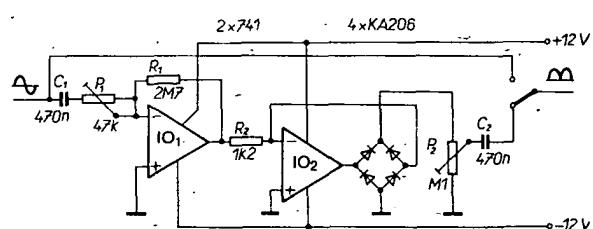
Druhým příkladem zapojení pro hudební soubory je zdvojovač kmitočtu pro elektronické kytry, nazývaný někdy též „oktálový posouvač“. Při hre na kytraru jsou všechny hranné tóny tímto obvodem „zdvojnásobeny“. Signály jsou zdvojeny podle obr. 92 dvoucestným usměrňovačem. Diodový můstek D₁ až D₄ je zapojen v obvodu zpětné vazby operačního zesilovače IO₂, takže nelineární přenosová charakteristika diod neovlivňuje ani částečně průchozí signál. Operačním zesilovačem IO₁ jsou zesilovány signály z kytarového snímače. Jeho zesílení nastavíme potenciometrem P₁ tak, aby vstupní signál nebyl omezován. Potenciometrem P₂ nastavíme výstupní úroveň tak, aby odpovídala úrovni vstupního signálu. Spínačem S₁ můžeme tento obvod vyřadit z činnosti. „Oktálový posouvač“ nezdvojuje jen vstupní kmitočet, nýbrž mění také tvar kmitů, takže „na poslech“ jakoby tón zvonil a byl ostřejší než tón základní. Basová kytrara



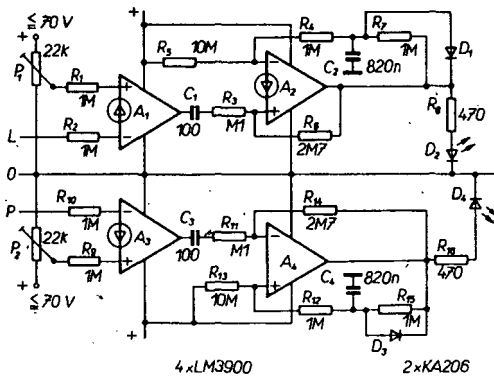
Obr. 90. Kriticky vázaná pásmová propust



Obr. 91. Tremolo



Obr. 92. Zdvojovač kmitočtu pro kytrary



Obr. 93. Špičkový VU-metr

má pak stejný zvuk jako obyčejná elektrická kytná.

U přístrojů třídy HiFi se někdy používají k nastavení velikosti signálu VU-metry (Volume-meter). Ručkové měřidlo jako VU-metr neregistrouje z fyzikálních důvodů krátkodobé špičky signálu (ručka měřidla má vždy určitou setrvačnost, danou např. třením v ložiscích). Tyto nezádoucí špičky signálu mohou však vést ke zkreslení záznamu. Proto je pro uvedený účel lépe použít obvod na obr. 93, který k indikaci špiček používá diody LED. Zesilovače A_1 a A_3 pracují jako komparátory. Práh jejich sepnutí lze nastavit nezávisle na napájecím napětí IO, neboť komparátory nezpracovávají vstupní napětí, nýbrž porovnávají vstupní proudy. To má tu přednost, že porovnávaná napětí mohou být teoreticky libovolně velká, kdežto vstupní

průtok komparátoru nesmí být větší než 0,2 mA. V zapojení na obr. 93 lze práh nastavit v rozsahu 0,5 až 70 V. Spodní hranice prahu je dána vlastnostmi komparátoru, horní je omezena výkonovou ztrátou potenciometrů P_1 a P_2 , na nichž je plně napájecí napětí zesilovače. Za oběma komparátory jsou zapojeny monostabilní multivibrátory, z nichž jsou napájeny příslušné diody LED. Krátkodobá přebuzení nejsou bez prodloužení lidským okem postřehnutelná. Proto je doba překlopení monostabilního multivibrátoru volena tak, aby přebuzení bylo možno registrovat. Během každé periody je z komparátoru přiveden na monostabilní klopny obvod vždy jen jeden impuls. Při trvalém přebuzení svítí dioda LED trvale.

Na obr. 94 je zapojení VU-metru s dvěma dílčími rozsahy. Diody LED indikují,

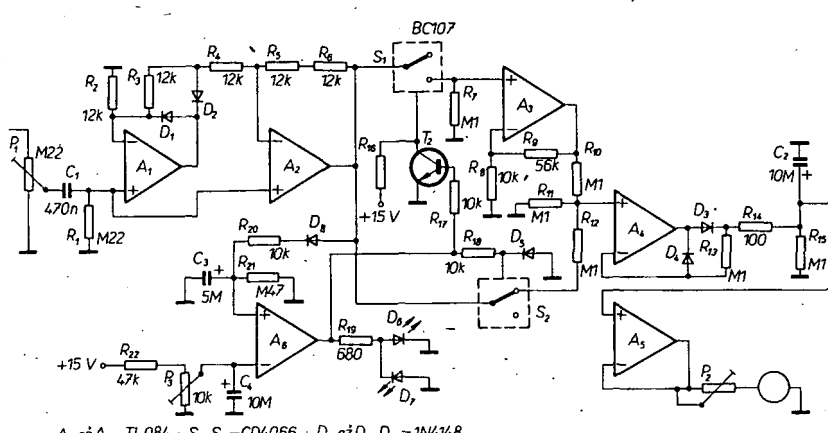
který rozsah je ve funkci: dioda D_7 rozsah ~ až -20 dB a dioda D_6 rozsah -20 dB až 0 dB. Z děliče napětí P_1 je napájen dvoucestný usměrňovač s operačním zesilovačem, jehož výstup je připojen na elektronický přepínač „Poloha“ přepínačů je závislá na komparátoru A_6 , jehož stav je funkcí vstupní úrovně. Neinvertující vstup A_6 je napájen přes D_8 , R_{20} , R_{21} a C_3 z obvodu usměrňovače. Je-li napětí na vstupu A_6 menší než výstupní napětí z děliče P_3 (jinak řečeno, je-li vstupní úroveň na P_1 menší než -20 dB), tak bude na výstupu A_6 úroveň L, D_7 se rozsvítí, S_2 se rozpojí a S_1 sepnou. Na vstupu špičkového usměrňovače A_3 bude 3,3krát větší napětí, než na vstupu A_3 . Podle této úvahy navrhujeme odpory R_8 až R_{11} . Při vstupní úrovni -20 dB až 0 dB bude na výstupu A_6 úroveň H, rozsvítí se dioda D_6 , S_1 se rozpojí a S_2 sepnou, vstupní napětí usměrňovače A_4 se děličem R_{10} , R_{12} změní na 0,33. Tak je dosaženo rozdílu úrovní 20 dB.

Pro nastavení obvodu použijeme tónový generátor. Pro úroveň 0 dB (doporučená mezihradová hodnota s ohledem na přebuzení je 4 V) nastavíme pomocí P_1 a P_2 plnou výchylku ručky měřidla. Pro měřicí přístroj 100 μ A je P_2 asi 13 k Ω a výstupní napětí A_6 je 1,33 V. Bude-li mít ručka měřidla plnou výchylku a bude-li svítit D_6 , nastavíme potenciometr P_3 tak, aby při zmenšení výchylky ručky měřidla na 10 % zhasla D_6 a rozsvítila se D_7 .

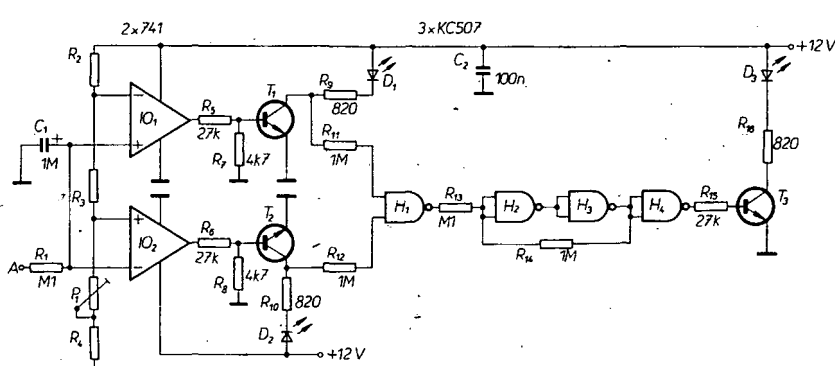
Aplikace OZ v přijímačích

Obvod na obr. 95 může být použit jako nahraď ručkového indikátoru vyládění v přijímačích VKV. Pro indikaci jsou použity diody LED a při správném nastavení svítí střední dioda D_3 . Na vstup A je přivedeno napětí AFC z detektora FM, kterým je řešení komparátor s operačními zesilovači A_1 a A_2 . Je-li vstupní napětí větší než napětí referenční (nastavené děličem napětí R_{21} , R_{22} , P_1 a R_4), pak tranzistor T_1 rozsvítí diodu D_1 . Je-li vstupní napětí menší než referenční, pak tranzistor T_2 rozsvítí diodu D_2 . Při správném nastavení je napětí AFC rovno referenčnímu napětí, takže T_1 a T_2 jsou uzavřeny a přes hradla H_1 až H_4 (H_2 a H_3 pracují jako Schmittův klopny obvod) se otevře T_3 a rozsvítí se D_3 . Napětí AFC je u různých přijímačů různé, proto nejsou v obr. 94 uvedeny údaje odporek R_{21} , R_{22} , P_1 a R_4 . Použijeme-li např. IO TCA420A, je napětí AFC 9,5 V, $R_2 = 4,7$ k Ω , $R_3 = 100 \Omega$, $P_1 = 4,7$ k Ω a $R_4 = 15$ k Ω . Při IO CA3089 je AFC 5,6 V a R_2 musíme zvětšit na 12 k Ω . Použijeme-li místo R_3 potenciometr, pak můžeme nastavit „rozsah“ svícení diody D_3 , která indikuje správné vyládění.

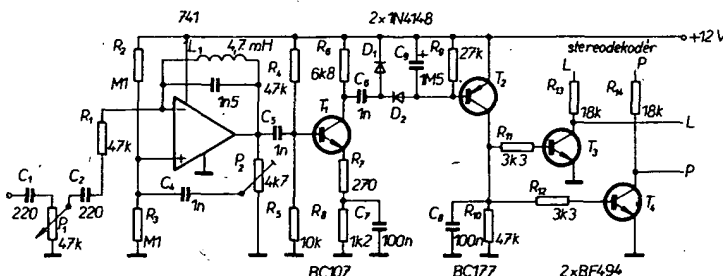
Šumová brána na obr. 96 blokuje nf signál do nf zesilovače, překročí-li šumová složka signálu úroveň nastavenou P_1 . Obvod je v přijímači zapojen paralelně ke stereofonnímu dekódéru. Kondenzátor C_1 je připojen na výstup detektora. Šumová brána odfiltruje šumový signál kolem 80 kHz, který usměrní a tímto usměrněným napětím řídí tranzistorové spínače, jež zkratují signál pravého a levého kanálu. Šumový signál je vybíráno operačním zesilovačem, v jehož zpětné vazbě je zapojen laděný filtr LC nastavený na 80 kHz. Obvodem P_2 a C_4 je možné nastavit tlumení a tím i selektivitu a to vždy tak, aby se obvod nerozkmital. Protože OZ na kmotku 80 kHz má již poměrně malé zesílení, je za ním zapojen tranzistor T_1 , který zajistuje úroveň potřebnou pro následný usměrňovač. Jako spínače jsou použity vý tranzistory BF494, které zaručují potlačení signálu 53 dB při aktivová-



Obr. 94. VU-metr se dvěma rozsahy



Obr. 95. Indikátor vyládění



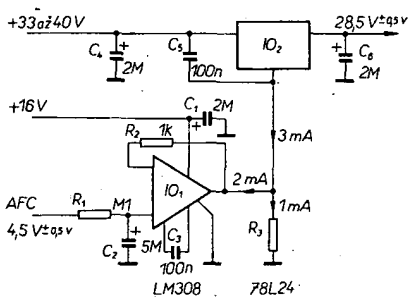
Obr. 96. Šumová brána

né šumové brány, kdežto šumové napětí je na výstupech L a P potlačeno o 62 dB. Jako měrný signál je vzato meziúhradové šumové napětí 100 mV. Ještě lepšího potlačení (o 10 dB) dosáhneme nastavením co největší citlivosti pomocí P_2 . Při použití nF tranzistorů na místě spínače se potlačení zhorší o 6 dB.

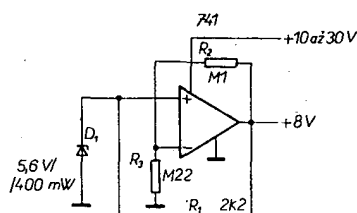
Obvod na obr. 97 mění napětí varikapů pomocí napětí AFC automaticky. V daném zapojení je pro stabilizaci použit monolitický stabilizátor, jehož zemnicí vývod není zapojen na zem, nýbrž na regulační napětí AFC. Tímto způsobem se zvětšuje regulační napětí stabilizátoru (je proto proměnné). Napětí AFC z mf zesilovače je přivedeno na neinvertující vstup OZ, zapojeného jako budík, jehož výstup je spojen se zemním vývodom pevného stabilizátoru napětí. Odporník R_3 tvoří konstantní zátěž pro operační zesilovač a současně je přes něho vedena část klidového proudu stabilizátoru k zemi (např. napětí AFC mf zesilovače $4,5 \pm 0,5$ V a klidový proud stabilizátoru 3 mA). Abychom dosáhli velkého rozsahu výstupního napětí při dané stabilitě zapojení, musí operační zesilovač odebírat 2/3 klidového proudu stabilizátoru. Pak je odporník R_3 dán vztahem

$$R_3 = \frac{4,5 \text{ V}}{1 \text{ mA}} = 4500 \Omega,$$

volíme 4,7 kΩ. Abychom zabránili zakmit-



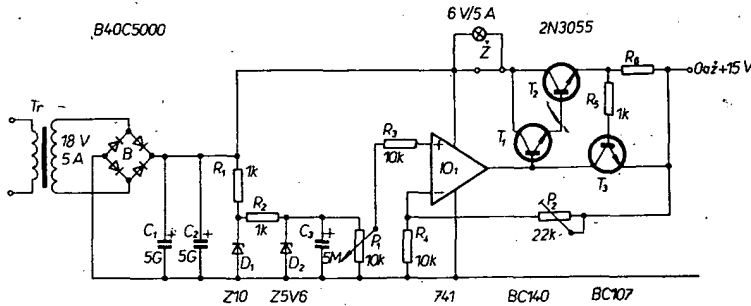
Obr. 97. Obvod AFC



Obr. 98. Referenční zdroj se Zenerovou diodou

Na obr. 99 je zapojení jednoduchého stabilizátoru napětí 0 až 15 V pro výstupní proud až 5 A. Při použití dvou Zenerových diod se zvětšuje činitel stabilizace a teplotní drift je při $U_Z = 5,6$ V malý. Po zapnutí přístroje se výstupní napětí zvětší exponenciálně ($\tau = 1000C_3$). Je-li kondenzátor $C_3 = 1000 \mu\text{F}$, bude časová konstanta 1 s, takže po zapnutí se kondenzátor nabije ze zdroje menším proudem. Potenciometrem P_1 nastavujeme výstupní napětí a trimrem P_2 maximální výstupní napětí. Tranzistor T_3 spolu s odporem R_6 omezují maximální výstupní proud. Odporník R_6 vypočítáme ze vztahu

$$R_6 = \frac{0,7}{I_{\max}}$$

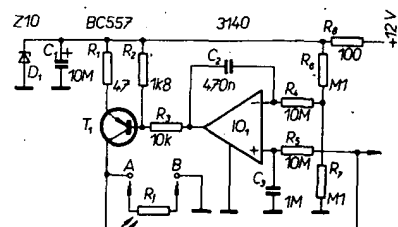


Obr. 99. Jednoduchý stabilizátor napětí

távání operačního zesilovače, je ten kompenzován kondenzátorem C_3 a stabilizátor je zablokován kondenzátorem C_5 . Pro budík je použit OZ LM308 s velmi malým výstupním proudem (asi 3 nA), který má i malý napěťový drift. Proud ze zdroje je asi 0,3 mA. Aby byly potlačeny rušivé signály, je napětí AFC vedené přes dolní propust R_1 , C_2 na vstup OZ, čímž je dosaženo stabilních regulačních podmínek. Bude-li AFC odpojeno, pak je tento vstup na středním napětí AFC. Je-li v příjmači indikátor vyládení, můžeme referenční napětí indikátoru použít pro nastavení středního napětí AFC na vstupu.

Pro 5 A je $R_6 = 0,14 \Omega$. Nahradíme-li R_6 drátovým potenciometrem, můžeme plynule měnit omezení proudu. Ztrátový výkon T_1 a T_2 je při malém výstupním napětí a maximálním proudu značně velký, proto musí být použit odpovídající chladič. Ztrátový výkon lze při malých napěťích změnit žárovkou a vypnutím spínače S_1 .

V optoelektronických zapojeních se stává, že fotoodpor, fotodioda, nebo fototranzistor při změně světla již nepracují v požadovaném rozsahu charakteristiky. V tomto případě je ideálním řešením použít zdroj konstantního proudu, který je navržen pro střední intenzitu osvětlení a současně pro co největší napětí světlocitlivého prvku, který je na obr. 100 zapojen mezi body A a B. Proud tekoucí



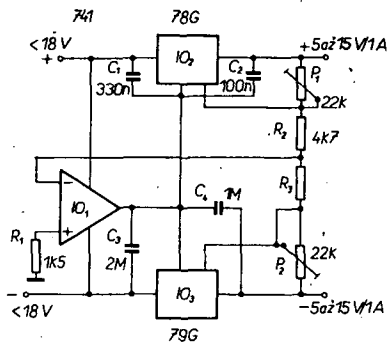
Obr. 100. Zdroj konstantního proudu pro fototranzistor

zdrojem konstantního proudu T_1 je řízen tak, že úbytek napětí mezi body A a B je dlouhodobě 5 V. Na rychlé změny osvětlení ($f > 2$ Hz) zdroj proudu nereaguje – ty způsobují změny napěti na výstupu.

Všechny pomalé změny vyvolávají změnu výstupního napětí operačního zesilovače a tím následné zvětšení nebo zmenšení proudu přes T_1 , takže úbytek napěti na světlocitlivém prvku je konstantní. V zapojení jsou použity dva články RC (C_3 , R_5 a C_2 , R_4), jejichž časové konstanty určují

změny napětí při pomalých změnách osvětlení. Impedance světlositlivého pravku je 300Ω až ∞ . Odběr proudu ze zdroje je závislý na proudu tekoucím přes T_1 , pro OZ potřebujeme proud 1 až 2 mA, Zenerovou diodou teče proud asi 20 mA.

Ze dvou stabilizátorů a jednoho operačního zesilovače lze zkonstruovat jednoduchý napájecí zdroj se symetrickým a proměnným výstupním napětím, jehož maximální výstupní proud je 1 A. Začne-li jeden ze stabilizátorů omezovat výstupní proud, bude omezován výstupní proud druhého stabilizátoru; výstupní napětí tak bude v každém okamžiku symetrické. Na obr. 101 je použit pro kladné napětí IO



Obr. 101. Symetrický napájecí zdroj

78G a pro záporné napětí. IO 79G; obě výstupní napětí jsou nezávislé na sobě nastavitelná potenciometry P_1 a P_2 ; je možno nastavit i nesymetrické výstupní napětí. V našem případě je však uvažováno pouze symetrické výstupní napětí, a proto v místě spojení R_2 a R_3 , tj. na invertujícím vstupu OZ bude nulové napětí, což je předpokladem pro to, že obě výstupní napětí budou co do absolutní hodnoty stejná. Zvětší-li se např. v důsledku změny zátěže kladné napětí, pak se změní vztahový potenciál obou stabilizátorů a výstupní napětí z OZ bude proti zemi záporné. Změna napětí na výstupu se pak „dorovná“. Maximální výstupní napětí je omezeno maximálním napájecím napětím OZ 741 a je 36 V. Nejmenší výstupní napětí je dáno stabilizátory a je v našem případě ± 5 V.

Na obr. 102 je zapojení regulovatelného napájecího zdroje s výstupním napětím 0 až ± 15 V a maximálním výstupním proudem 60 mA. Vstupní napětí je ± 16 V, bylo zvoleno s ohledem na maximální napájecí napětí IO a nesmí být proto překročeno. Přesná velikost výstupního napětí je závislá na parametrech IO (liši se kus o kusu) a je obvykle o něco málo menší než

± 15 V. Zenerova dioda 5,6 V je zdrojem referenčního napětí. Její napětí není kritické, při menším Zenerově napětí je možné nastavit i menší výstupní napětí. Přes potenciometr P_1 , kterým nastavujeme výstupní napětí, je upravené referenční napětí přivedeno na neinvertující vstup prvního operačního zesilovače. Na výstup připojený tranzistor zvětšuje možný výstupní proud. Celkové zesílení OZ a tranzistoru je závislé na odporech ve zpětné vazbě ($22\text{k}\Omega$ a $10\text{k}\Omega$). V daném zapojení je zesílení asi 3, takže výstupní napětí by teoreticky mělo být $3 \times 5,6$ V = 16,8 V.

O něco komplikovanější je regulace záporného napětí. Neinvertující vstup druhého OZ (vývod 3) je přes odpor $6,8\text{k}\Omega$ připojen na zem. Invertující vstup tohoto OZ je přes odpor $10\text{k}\Omega$ připojen na běžec P_1 , tedy na referenční napětí, a výstupní napětí bude proto záporné a bude trojnásobkem napětí na běžci potenciometru P_1 . Jen tak je možné kompenzovat kladné napětí přes odpor $33\text{k}\Omega$; zapojeném mezi výstup a invertující vstup OZ. Nesymetrii lze vyrovnat potenciometrem P_2 .

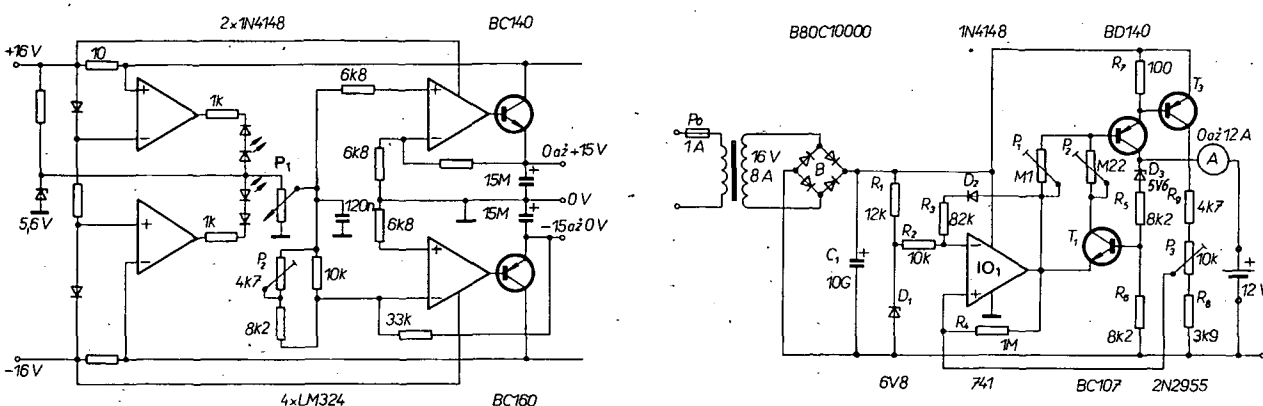
Další dva OZ slouží k omezení proudu. Referenční napětí se zmenší na nulu, bude-li úbytek napětí na odporech $10\text{k}\Omega$ minimálně 0,6 V. Současně se rozvíjí diody LED, kterými je indikováno omezení proudu.

Pro mnoho uživatelů olověných akumulátorů je otázka jejich nabíjení jednoduchou záležitostí. Abychom však prodloužili jejich dobu života, je nutné, aby nabíjení probíhalo podle určitých zásad. Celý pochod (nabíjení) lze rozložit do tří fází. Během první fáze je akumulátor nabíjen omezeným proudem a to až do té doby, dokud jeho svorkové napětí nebude 10 V. Omezením proudu zamezíme přetížení nabíječe. Po té následuje druhá fáze, kdy se akumulátor nabíjí tzv. 5hodinovým proudem. Tento proud stanovíme tak, že kapacitu akumulátoru v Ah dělíme pěti. Dosáhneme-li napětí akumulátoru 14,4 V, přechází druhá fáze do třetí, tj. nabíjení s pomalem se zmenšujícím proudem. Při napětí 16,5 V bude akumulátor zcela nabít. Na obr. 103 je zapojení nabíječe, který tyto fáze řídí automaticky. Při vybitém akumulátoru (napětí 10 V) teče diodou D_3 malý proud, takže T_1 je uzavřen. Rovněž IO, není řízen, takže jeho výstupní napětí bude nulové. Na IO závisí proud báze T_2 a T_3 a tedy i nabíjecí proud akumulátoru, který je závislý i na poloze běžce potenciometru P_1 . Při napětí akumulátoru 10 až 14,4 V začne vést dioda D_3 a tranzistor T_1 začne rovněž vést. Na výstupu IO₁ je i nadále 0 V. Nabíjecí proud akumulátoru je v této fázi závislý na nastavení P_1 a P_2 . Zvětší-li se napětí na běžci P_3 nad Zenero-

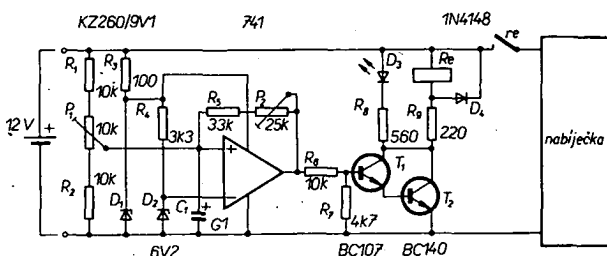
vo napětí D_1 , pak začne působit zpětná vazba přes R_1 a výstupní napětí IO₁ bude rovnou součtu Zenerovo napětí D_1 a napětí na diodě D_2 . Tím se také zvětší napětí na emitoru T_1 , tento tranzistor se uzavře a nabíjecí proud bude určen odporem P_1 . Ale oproti první fázi nabíjení má IO₁ větší výstupní napětí, větší bude tedy i proud přes P_1 , a proto je nabíjecí proud menší než v první fázi. Přes D_2 a R_3 je zavedena zpětná vazba a při zvětšujícím se napětí akumulátoru se zmenší nabíjecí proud. Tranzistory T_2 , T_3 a usměrňovač jsou umístěny na velkém chladiči.

Při nastavování nabíječe postupujeme takto: při napětí akumulátoru 14,4 V nastavíme P_3 tak, aby výstupní napětí OZ bylo maximální. Nakonec nastavíme P_1 při napětí 14,5 V až 15 V tak, aby do akumulátoru tekli proud rovný 1/20 Ah. Nakonec při napětí mezi 11 V až 14 V nastavíme jmenovitý nabíjecí proud rovný 1/5 Ah. Tento proud je během nabíjení závislý na zbykovém proudu a charakteristikách tranzistoru; je o 30 až 100 % větší, než proud v poslední fázi nabíjení.

Plné automatické nabíječe akumulátorů nejsou dnes ještě zcela běžným zařízením. Pokud již vlastníme běžnou nabíječku a nechceme investovat peníze do automatické nabíječky, je vhodné použít doplněk, který odpojí nabíječku při nabíjení akumulátoru. Zapojení takového doplňku je na obr. 104. Základem zapojení je komparátor s operačním zesilovačem. Tento komparátor porovnává napětí akumulátoru s napětím referenčním. Zvětší-li se napětí akumulátoru nad nastavené maximum, pak uvedený obvod přeruší kontaktem relé nabíjecí proud; zmenší-li se napětí akumulátoru pod nastavené maximum, kontakt relé nabíjecí proud připojí. Jako komparátor je použit operační zesilovač typu 741. Napájecí napětí OZ je stabilizováno pomocí R_3 a D_1 a je tedy nezávislé na napětí akumulátoru. Z tohoto stabilizovaného napětí je pomocí R_4 a D_2 odvozeno referenční napětí pro komparátor. Napětí akumulátoru se dělí dělicem napětí R_1 , P_1 a R_2 a porovnává s napětím referenčním. Zvětší-li se napětí na akumulátoru nad velikost nastavenou potenciometrem P_1 , bude na neinvertujícím vstupu větší napětí než na invertujícím vstupu. Tím se zvětší výstupní napětí a přitáhne relé (přes tranzistory T_1 a T_2). Jeho kontakt re₁ přeruší nabíjecí proud a současně se rozsvítí dioda D_3 . Abychom vyloučili kmitání relé (neustálé zapínání a vypínání) při malých změnách napětí akumulátoru, musí mít komparátor hysterezi, kterou lze nastavit obvodem zpětné vazby P_2 , R_6 . Potenciometrem P_2 můžeme hysterezi měnit, takže lze nastavit takové



Obr. 103. Automatická nabíječka akumulátoru



Obr. 104. Hlídáč nabíjení akumulátoru

minimální napětí akumulátoru, při kterém se bude akumulátor znovu dobíjet.

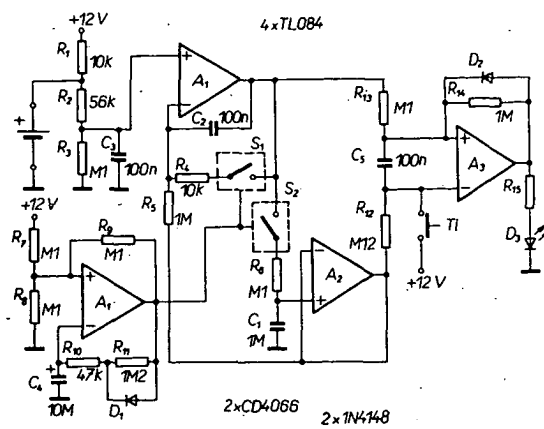
Při nastavování obvodu je lepší místo akumulátoru použít stabilizovaný zdroj, na kterém nastavíme napětí 14,5 V. Otáčíme potenciometrem P₁, až se písmo relé R_e. Pak nastavíme napětí 12,5 V a potenciometrem P₂ otáčíme tak dlouho, až relé R_e odpadne. Protože P₁ a P₂ se vzájemně ovlivňují, musíme tento postup několikrát opakovat. Nemáme-li k dispozici relé, jehož kontakty snesou maximální nabíjecí proud, můžeme kontakt relé zapojit do primárního vinutí transformátoru a tak odpojovat celou nabíječku.

Při rychlém nabíjení NiCd akumulátorů musíme nabíjecí proud upravit tak, aby se akumulátor nezničily. Na obr. 105 je zapojení nabíječky, která reaguje na rychlosť, s jakou se zvětšuje napětí na akumulátoru. Napětí na akumulátoru se zvětšuje nejrychleji, když je akumulátor již téměř nabít. Tento stav je indikován diodou LED D₃. Operační zesilovač A₁ je zapojen jako generátor impulsů, který každých 10 s generuje nabíjecí impuls, který je připojen elektronickým spínači S₁ a S₂. Tak se bude kondenzátor C₁ dobijet na napětí rovné vstupnímu napětí (plus případné ofsetové napětí A₁ a A₂). Po otevření spínačů S₁ a S₂ ještě výstupní napětí A₁ a A₂ stejně. Zvětší-li se však napětí akumulátoru, pak se výstupní napětí A₂ mění, A₁ integruje přírůstek napětí na jeho vstupe. Při kládné změně vstupního napětí mění se také výstupní napětí. Bude-li rozdíl výstupních napětí A₁ a A₂ větší než hystereze klopného obvodu A₃, bude výstupní napětí A₃ kládné, rozsvítí se dioda D₃. Hysterezní napětí je závislé na odporu R₁₄ a velikosti vstupního napětí. Jinak řečeno: je-li akumulátor tvoren několika článci, je jeho napětí větší a bude tedy i „širší“ hystereza. Nabíječ lze použít k nabíjení 4 až 12 článeků.

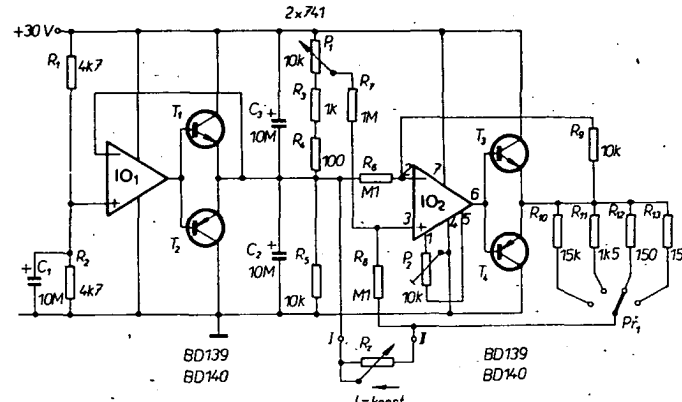
Pokud máme ve své amatérské dílně regulovatelný stabilizovaný zdroj, je vhodné ho doplnit obvodem zdroje konstantního proudu, jehož zapojení je na obr. 106. Obvod je vhodné připojit na nesymetrický napájecí zdroj 30 V pro výstupní proud až 200 mA. Symetrikační obvod IO₁ a T₁, T₂ vytváří umělou zem mezi kondenzátory C₂ a C₃. Symetrické napětí ±15 V můžeme použít samostatně (maximální proud ±50 mA), nikdy však současně ne se zdrojem konstantního proudu. Symetrizace nesymetrického napájecího napětí slouží k napájení invertujícího vstupu IO₂. Dělič napětí P₁R₃R₄ je určen pro řízení zdroje proudu s operačním zesilovačem. Na běžci P₁ bude napětí 1,5 V až 15 V. Podle jeho polohy a podle polohy P₁ můžeme určit proud tekoucí zátěží R_z. Tranzistory T₃ a T₄ tvoří budič. Proud tekoucí zátěží bude dán vztahem

$$I_z = \frac{0,1 U_{P_1}}{R_{10} \text{ (nebo } R_{11} \text{ nebo } R_{12} \text{ nebo } R_{13})}$$

Pro kontrolu proudu můžeme potenciometr P₁ opatřit stupnicí. Je-li P₁ v poloze 1, je rozsah 0,01 až 0,1 mA; v poloze 2 je 0,1 až 1 mA; v poloze 3 je 1 až 10 mA a v poloze 4 10 až 100 mA.



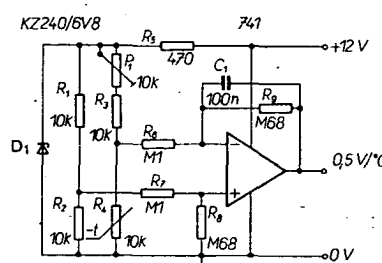
Obr. 105. Rychlonabíječka akumulátoru NiCd



Obr. 106. Zdroj konstantního proudu

Aplikace OZ v převodnících

Teplotu v místnosti můžeme přesně určit obvodem na obr. 107. Jako čidlo teploty je použit termistor, jehož odpor je velmi závislý na teplotě. Vlastnostmi termistoru je současně omezen rozsah měření. Chceme-li rozlišit teplotu s přesností 0,5 °C, pak je lineární rozsah omezen na 40 °C. Obvod využívá odpovídajícího můstku připojeného na stabilizované napětí. Můstek je nastaven tak, že výstupní napětí bude nulové při nejnižší měřené teplotě. Na všech větvích můstku je v tomto případě poloviční napájecí napětí. Výstupní odpor operačního zesilovače je velmi malý. Jeho výstupní napětí je při rovnováze můstku nulové. Se změnou odporu termistoru se mění výstupní napětí asi o 0,5 V na stupeň (je závislé na použitém typu termistoru). Budeme-li teplotu měřit např. ručkovým měřidlem, pak je nutné volit odpor R₉ tak, aby ho dosáhl požadované citlivosti. Abi zapojení pracovalo bez chyb, musí být R₈ = R₉. Velikost napájecího napětí není kritická; Zenerovo napětí D₁ může být 4,7 až 8,2 V. Nulové výstupní napětí nastavujeme při nejnižší teplotě potenciometrem P₁. Odběr ze

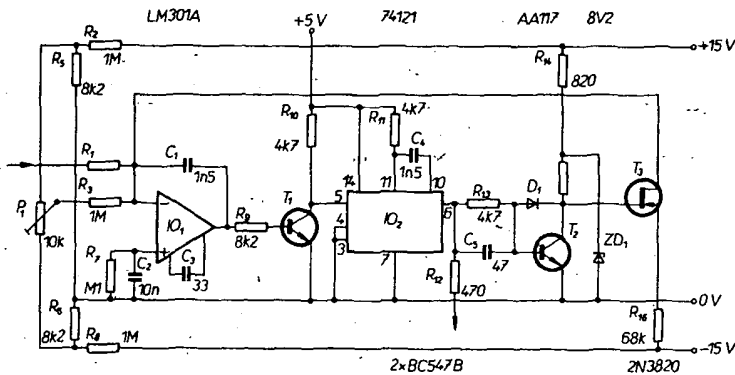


Obr. 107. Převodník teplota-napětí

zdroje je asi 12 mA a je určen použitou Zenerovou diodou.

Kombinací čítače a analogového vstupu dostaneme analogově-číslicový převodník (převodník A/D), vhodný pro číslcové voltmetry. Na výstupu obvodu na obr. 108 bude sled impulsů se šírkou asi 5 µs, jejichž kmitočet je úměrný přiváděnému stejnosměrnému napětí. Jejich úroveň je kompatibilní s logikou TTL. Číselník přenosu je 10 kHz na 1 V. Maximální kmitočet impulsů je určen linearitou (konstantní číselník přenosu), teplotní stabilitou a drifty (tzn. že při nulovém napětí na výstupu bude na výstupu kmitočet 0 Hz). Výstup je zapojen jako integrátor s operačním zesilovačem LM301A. Strmost, s níž se výstupní napětí zmenšuje, je závislá na velikosti vstupního napětí. Při překročení zvolené velikosti se uzavírá T₁ a překlopí se přes výstup E monostabilní klopný obvod IO₂. Na výstupu Q se objeví kladný impuls, jehož délka (5 µs) je nastavena R₁₁ a C₄. Tento impuls krátkodobě sepné T₂, takže FET T₃ povede a nabije se kondenzátor C₁, čímž jsou určeny počáteční podmínky pro integrátor, jehož výstupní napětí dosáhne krátkodobě kladného maxima. Tento pochod se opakuje a to tím rychleji, čím větší bude vstupní napětí integrátoru. Z toho je patrné, že kmitočet impulsů je úměrný vstupnímu napětí.

Odpor R₁ spolu s C₁ určuje číselník přenosu. Odpor R₁ je asi 90 kΩ. Nejlépe je při nastavování tento odpor s kovovou vrstvou nahradit cermetovým potenciometrem, kterým R₁ přesně nastavíme. Rovněž pro R₁₁ a R₁₆ je vhodné použít odpory s kovovou vrstvou (např. TR 151) a pro C₄ polykarbonátový kondenzátor. Při zkrato-



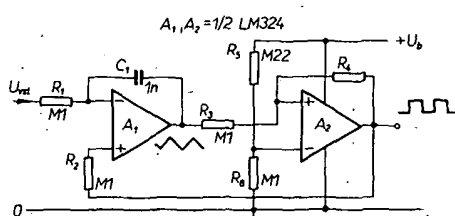
Obr. 108. Převodník napětí-kmitočet

vaném vstupu nastavíme P₁ tak, aby na výstupu byl kmitočet 0 až maximálně 2 Hz. Vstupní napětí je 0 až 10 V a výstupní kmitočet 0 až 100 kHz.

V některých případech potřebujeme signál pravoúhlého tvaru, jehož střední hodnota je přesně známa a lze ji nastavit. Zapojení takového obvodu je na obr. 109, kde A₁ je zapojen jako integrátor a A₂ jako Schmittův klopný obvod. Když např. při určitém napětí na invertujícím vstupu A₂ bude výstupní napětí A₂ rovno nule, pak se napětí na výstupu integrátoru zmenší. Dosáhne-li výstupní napětí integrátoru spodního prahu sepnutí Schmittova klopného obvodu A₂, ten se překlopí a na jeho výstupu bude úroveň H (blízká napájecímu napětí). Tím bude na neinvertujícím vstupu A₁ větší napětí než na vstupu invertujícímu a napětí na výstupu integrátoru se počne zvětšovat. Když dosáhne horní hranice prahu sepnutí Schmittova klopného obvodu, tak se A₂ překlopí zpět a děj se znova opakuje. Na výstupu A₂ bude signál pravoúhlého tvaru. Střední hodnota pravoúhlého napětí je určena vstupním napětím, neboť výstupní napětí je úmerně střední hodnotě až do té doby, dokud není skončeno „přeladění“. Na obr. 109 je práh překlopení pevně nastaven, takže se změní střída pravoúhlého napětí. Výstupní signál se tedy může měnit od maximálního kmitočtu (střída 50 %) k maximálnímu „0 Hz“ (při střídě 0 % nebo 100 %). Vstupní napětí se může měnit od 0 do U_b – 1,5 V. Při použití IO LM324 bude napájecí napětí v rozsahu 3 až 30 V. Při použití jiného typu operačního zesilovače je omezena spodní mez vstupního napětí.

Aplikace OZ v měřicí technice

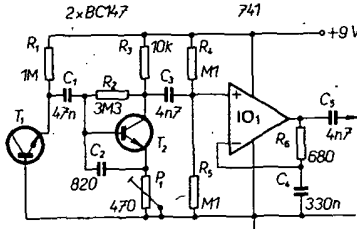
Generátorem šumového napětí je přechod p-n tranzistor T₁ a tranzistor T₂ zesiluje šumové napětí. Zesílení tohoto stupně můžeme nastavit emitorovým odporem P₁. Mezi emitorem a bází zapojený kondenzátor C₂ zvětšuje vstupní impedanci na vysokých kmitočtech. Tím je



Obr. 109. Převodník napětí-střida

toho lze diodu použít až do teploty 200 °C. Aby bylo možné napěti diody měřit s velkou přesností, je použit zdroj referenčního napětí se stabilizátorem typu 723. Absolutní hodnota referenčního napětí je rozdílná pro různé IO 723, ale jejich teplotní činitel je vždy velmi malý – 0,003 %/°C. Ze stejného IO (723) je získáváno i napájecí napětí 12 V. Odpor R₁ do neinvertujícího vstupu IO_{2a} je spojen se zdrojem referenčního napětí, takže jím teče konstantní proud. Pracovní bod OZ je nastaven tak, že je k invertujícímu vstupu přiveden stejný proud jako ke vstupu neinvertujícímu. Proto i proud teplotním čidlem D₁ bude konstantní. To je nutné, aby vnitřní odporník diody byl co nejmenší; změny proudu vyvolávají změny napětí, které se projevují jako falešné změny teploty. Výstupní napětí na vývodu 4 IO_{2a} je rovno vstupnímu napětí a úbytku napětí na diodě (které se mění s teplotou). Kondenzátor C₃ potlačuje případné zákmity. Neinvertující vstup IO_{2b} je spojen přes P₁ a R₃ se zdrojem referenčního napětí, takže do tohoto vstupu teče rovněž konstantní proud. Na invertující vstup je připojen výstup IO_{2a}; IO_{2b} zesiluje rozdíl proudu, takže na jeho výstup je možné připojit voltmetr s rozsahem 5 až 15 V (místo voltmetru můžeme použít mikroampérmetr). Použijeme-li např. měřidlo s citlivostí 0,1 mA s vnitřním odporem 1,2 kΩ, pak předřazený odpor R₅ + P₃ bude 60 kΩ.

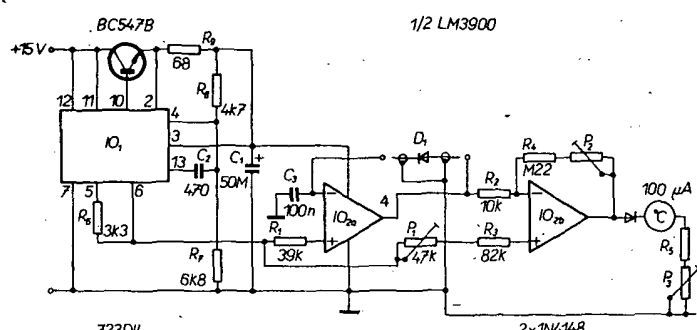
Na obr. 112 je zapojení regulačního obvodu pro akvarijní termostat, který udržuje konstantní teplotu vody v akváriu. Na vstup A je připojeno teplotní čidlo a na výstup triak, který spíná topidlo. Teplota vody se měří teplotním čidlem (např. termistor, dioda). V regulační části jsou použity tři operační zesilovače a čtvrtý může být použit jako převodník teplota-napětí. Chyběvou napětí je srovnáno se zvolenou úroví (závislou na P₁ a fotoodporu) v A₂ a současně je 10x zesíleno. Operační zesilovač A₁ porovnává výstupní napětí z A₂ s napětím trojúhelníkovitého průběhu, získaného z operačního zesilovače A₃.



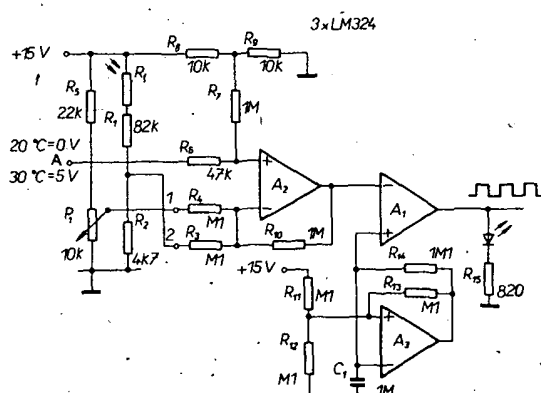
Obr. 110. Generátor šumu

dosaženo rovnoramenného šumového spektra. Na výstupu operačního zesilovače IO₁ je obvod R₆, C₄ s mezním kmitočtem 5 kHz, kterým jsou rovněž zdůrazněny vyšší kmitočty šumového spektra. Obvod na obr. 110 je výhodně použit jako generátor šumu pro měření v nf technice.

Při měření teploty je základní podmínkou volba čidla, které určuje vlastnosti celého měřicího teploty. V zapojení na obr. 111 je jako teplotního čidla využito křemíkové diody, na níž je úbytek napětí 2 mV na stupeň Celsia. Přednosti diody jako teplotního čidla spočívají v její linearity a krátké teplotní časové konstantě. Kromě



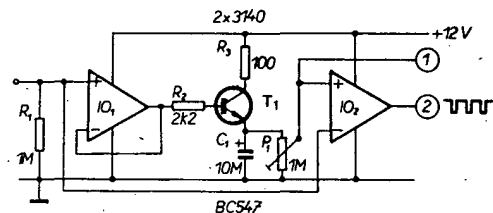
Obr. 111. Teploměr



Obr. 112. Akvarijní termostat

vače A_3 . Na výstupu A_1 bude pravoúhlé napětí, kterým je spínán na kratší nebo delší dobu triak T_1 v závislosti na vstupním napětí. Potenciometrem P_1 , jehož běžec je připojen na invertující vstup A_2 , můžeme nastavit požadovanou teplotu. Přes vstup 2 reaguje obvod na světlo v blízkosti akvaria. Tím je možné regulovat teplotu v závislosti na denní době. Vhodným návrhem odporníků R_1 a R_2 lze nastavit určitý rozdíl teplot mezi dnem a nocí, např. 2°C . Fotoodpor můžeme v zapojení samozřejmě vyněchat. Napájecí napětí není kritické a může být odebíráno z jednocestného usměrňovače. Odběr proudu je asi 21 mA . Vzhledem k tomu, že triak je napájen obvykle přímo ze sítě, je k jeho řízení z bezpečnostních důvodů lépe použít optoelektronický vazební člen.

Na čitačích kmitočtu a podobných přístrojích byvá knoflík, kterým se nastavuje práh sepnutí klopného obvodu. Toto nastavení vyžaduje od obsluhy zvýšenou pozornost, protože je lepší použít obvod z obr. 113, který tento práh nastavuje automaticky. Vstupní signál je přiveden na vstup sledovače napětí IO_1 , takže kondenzátor C_1 se nabije na hodnotu špičkového napětí přes T_1 ; pochodem je však časově omezen – nejkratší vstupní signál



Obr. 113. Automatický regulátor úrovně překlápení

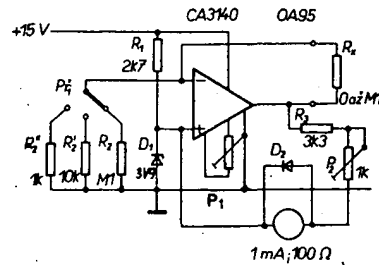
může být $1,5\text{ }\mu\text{s}$. Napětí na kondenzátoru C_1 se dělí odporem P_1 a používá jako referenční napětí pro klopný obvod. Paralelně k P_1 může být připojeno zařízení s velkou vstupní impedancí (výstup 1), je-li napětí na C_1 maximální. Obvod může být spouštěn i klopným obvodem IO_2 , který generuje spouštěcí impulsy. Spojením invertujícího vstupu IO_2 s jeho výstupem obdržíme sledovač napětí. Navstupu 2 je pak referenční napětí, odběr proudu může být v tomto případě větší. Dolní mezní kmitočet obvodu je 1 Hz. Vstupní napětí smí být maximálně 7 V, jinak se OZ a tranzistor zničí. Aby k tomu nedošlo, je vhodné paralelně k R_1 připojit Zenerovu diodu se Zenerovým napětím 6,8 V. Velikost napájecího napětí není kritická. Odběr ze zdrojem je asi 2 mA při 12 V .

Na obr. 114 je zapojení generátoru sinusového signálu. Dva v sérii zapojené filtry ($\text{IO}_2 - T_1$, $\text{IO}_3 - T_2$) jsou řízeny

z omezovače zapojeného jako Schmittův klopný obvod (H_1, H_2). Zpětná vazba nutná k rozkmitání obvodu je zavedena z výstupu 2. filtru přes kondenzátor C_1 na vstup Schmittova klopného obvodu. Potenciometrem P_1 můžeme nastavit symetrii pravoúhlého signálu a tím potlačit sudé harmonické v sinusovém signálu. Náběžná hrana pravoúhlého signálu na výstupu H_2 se „vylepuje“ druhým Schmittovým klopným obvodem (H_3, H_4); dvě paralelně zapojená hradla (H_5, H_6) zmenšují výstupní impedanci. Pravoúhlé napětí má mezihradlovou velikost 15 V a stejnosemernou složku asi $7,5\text{ V}$. Stromstřídání je lepší než 40 ns . Činitel jakosti obou selektivních filtrů je asi 10; nejmenší dosažitelné zkreslení sinusového signálu je asi $0,15\%$. Běžné zkreslení je $0,2\%$, při výstupním mezivhradlovém napětí 4 V. Dodatečné zkreslení vzniká hlavně ve druhém selektivním filtru. Kmitočet oscilátoru je určen kapacitou kondenzátorů $C = C_2 = C_3 = C_4 = C_5$ a je dán vztahem

$$C = \frac{0,34}{f_0} \quad [\mu\text{F}; \text{Hz}]$$

S IO CA3140 lze jednoduše sestrojit lineární ohmmetr, jehož zapojení je na obr.

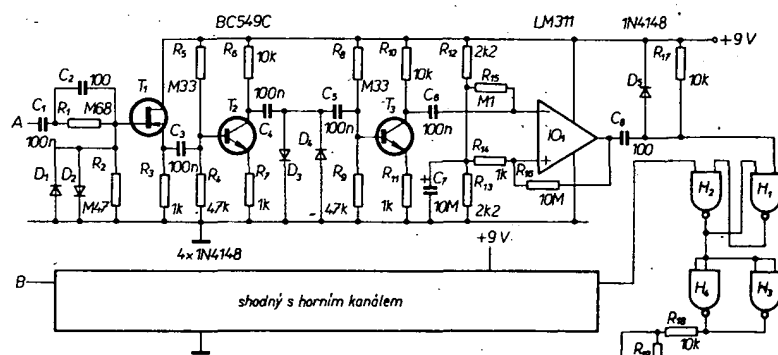


Obr. 115. Lineární ohmmetr

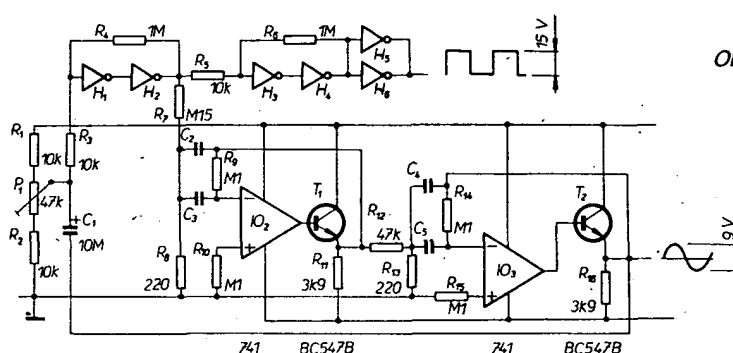
invertujícím vstupu stejné napětí jako na neinvertujícím vstupu. Aby toto tvrzení platilo zcela přesně, musíme ofsetové napětí vykompenzovat potenciometrem P_1 . Při tom je P_2 nastaven na minimum a při $R_x = 0$ nastavíme na měřidlo potenciometrem P_1 nulu. Při správném nastavení zůstává měřidlo na nule, i když ho přepořídíme. Invertující vstup má velký odpór, takže přes R_x a R_2 teče stejný proud. Budou-li R_x a R_2 stejné, bude na nich i stejný úbytek napětí (3,9 V). Napětí na výstupu bude pak 7,8 V, takže předřadný odpór musíme navrhnut na toto napětí. Potenciometrem P_2 nastavíme plinou výchylku ručky měřidla.

Jako důsledek toho, že napětí na neinvertujícím vstupu je 3,9 V (proto je proud R_2 konstantní), zůstává také proud odporem R_x konstantní. Úbytek napětí na R_x je proto úměrný odporu R_x . Na předřadném odporu a měřidle je stejné napětí jako na R_x , neboť obě větve můstku jsou zapojeny mezi 3,9 V a výstup IO. Proud tekoucí měřidlem je tedy úměrný odporu R_x , takže odpor R_x lze číst přímo na lineární stupnice měřidla. Přepínačem volíme příslušný rozsah. Díky velkému vstupnímu odporu IO CA3140 ($1,5\text{ T}\Omega$) lze měřit i značně velký odpór. Odpor R_2 určující měřený rozsah můžeme volit od $100\text{ }\Omega$ do $10\text{ M}\Omega$. Při rozsahu $100\text{ }\Omega$ je odběr ze zdroje 50 mA , na ostatních rozsazích 20 mA . Místo měřidla lze použít multimeter; nemá-li multimeter měřicí rozsah 1 mA , je nutné upravit odpory R_3 a P_2 .

115. Na neinvertujícím vstupu je napětí 3,9 V. Propojíme-li měřicí svorky drátem, bude na výstupu též napětí 3,9 V. Je tedy samozřejmé, že v tomto případě bude na

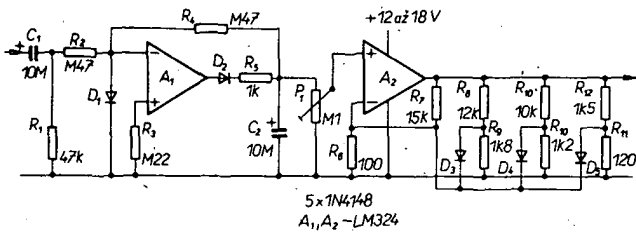


Obr. 116. Měřič fáze



Obr. 114. Generátor sinusového signálu

Se zapojením na obr. 116 je možné měřit rozdíl fází dvou nf signálů ($f_{\max} = 100\text{ kHz}$). Měřidlo na výstupu je ocejchováno ve stupních (0 až 360°). Signály A a B jsou vytvarovány do dvou

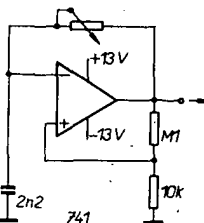


Obr. 117. Měřič špičkových napětí

pravoúhlých napětí, která řídí vstup nastavení nebo nulování klopného obvodu s H₁ – H₄. Sestupná hraná pravoúhlého signálu A nastaví klopny obvod; obvod se nuluje sestupnou hranou pravouhlého signálu B. Šířka impulsu na výstupu H₂ je úmerná časovému rozdílu mezi signály A a B. Měřidlo ukazuje střední hodnotu proudu, tekoucího přes R₁₉, P₁ a měřidlo. Tvarovač impulsu je v obou kanálech identický a je tvořen emitorovým sledovačem (T₁), zesilovačem (T₂) se zesílením 10, symetrickým omezovačem (D₃, D₄), druhým zesilovačem (T₃) se zesílením 10, komparátorem (IO₁) s malou hysterezí a obvodem s R₁₇, C₈ a D₅.

Na obr. 117 je zapojení detektoru špičkových napětí. Špičková napětí jsou detektována diodou D₂ a kondenzátorem C₂ na výstupu zesilovače A. U každého operačního zesilovače se zpětnou vazbou plati, že oba vstupy mají stejné napěti a že se výstupní napětí zvětšuje, zmenšuje-li se měřené napětí. To platí dotud, dokud je napětí na kondenzátoru C₂ tak velké, že ho lze kompenzovat přes R₄ zmenšujícím se výstupní napětí. Bude-li se vstupní napětí opět zvětšovat, uzavře se dioda D₂; kondenzátor C₂ se tedy nemůže vybit přes výstup OZ, nýbrž přes potenciometr P₁. Napětí na C₂ je úmerné záporným nejvyšším špičkám vstupního napětí. Protože tento obvod je určen pro VU-metry s diodami LED (buzení obvodu UAA180), musí být výstupní charakteristika logaritmická. Abychom ji dosáhli, má A₂ ve zpětné vazbě diody, jimiž lze převést lineární charakteristiku na charakteristiku logaritmickou.

S operačním zesilovačem je možné zkonztruovat jednoduchý generátor trojúhelníkovitého signálu. Příklad zapojení generátoru je na obr. 118. Po zapnutí se nabije kondenzátor 2,2 nF přes potenciometr. Pokud je napětí na kondenzátoru větší než U_{výst}/11, „přebírá“ zesilovač na invertujícím vstupu kladné napětí a výstupní napětí se zmenšuje. Rychlosť zmenšování je závislá na vlastnostech OZ. Po určitém čase bude výstupní napětí tak malé, že se kondenzátor přes potenciometr bude vybit. Zmenší-li se napětí na



Obr. 118. Generátor signálu trojúhelníkovitého napětí

kondenzátoru pod U_{výst}/11, bude napětí na invertujícím vstupu záporné, výstupní napětí se opět zvětší a děj se bude opakovat. S danými součástkami můžeme měnit kmitočet mezi 15 až 70 kHz.

Na obr. 119 je zapojení jednoduchého měřicího zesilovače, na jehož výstupu můžeme připojit jakékoli univerzální měřidlo. Na vstupu tohoto zesilovače je diferenciální stupeň s T₁ a T₂. Jako emitorové impedance jsou zapojeny zdroje konstantního proudu a to v emitoru T₁, D₁, D₂, T₃ a R₆ a v emitoru T₂ jsou to D₁, D₂, T₄ a R₇. Díky témtoto zdroji konstantního proudu je měřicí zesilovač necitlivý na velmi rychlé změny napětí. Za diferenciálním zesilovačem T₁, T₂ je zapojen integrovaný diferenciální zesilovač s IO LM301, který má zesílení roven jedné. Na jeho výstupu je k dispozici měřený signál. Potenciometrem P₂ nastavujeme úroveň překlopení. Potenciometrem P₁ nastavujeme nulu při zkratovaném vstupu. Potenciometrem P₂ můžeme měnit výstupní citlivost (měníme zesílení mezi 2 až 130).

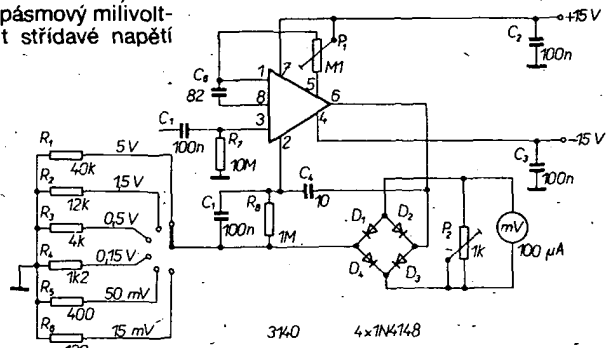
Na obr. 120 je širokopásmový milivoltmetr, s nímž lze měřit střídavé napětí

v rozsahu 100 Hz až 500 kHz. Protože použitý OZ má na vstupu tranzistory MOS, je vstupní impedance při všech měřicích rozsazích 10 MΩ. OZ je zapojen současně jako měřicí zesilovač i jako aktivní usměrňovač. Jeho zesílení je nastaveno zpětnovazebními odpory R₁ až R₆. Protože můstkový usměrňovač je zapojen ve větví zpětné vazby OZ, může být prahové napětí diod kompenzováno, takže stupnice bude lineární. Potenciometrem P₁ nastavíme nulu při zkratovaném vstupu. Příslušný měřicí rozsah se nastavuje potenciometrem P₂ a odpory R₁ až R₆.

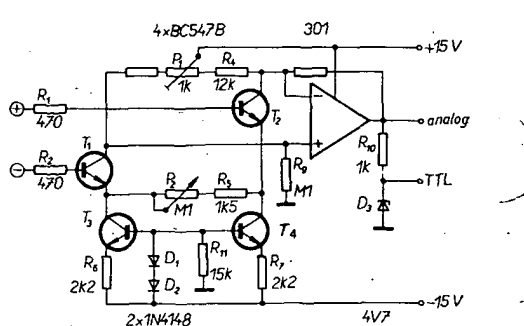
Na obr. 121 je zapojení jednoduchého testera operačních zesilovačů. Stlačíme-li tlačítko, bude na neinvertujícím vstupu OZ referenční napětí, odvozené z napětí výstupního, děličem napětí R₂ a R₃. Přes odporník R₁ se bude nabíjet kondenzátor C₁, až napětí na invertujícím vstupu bude stejně velké jako napětí referenční. Operační zesilovač pracuje jako komparátor, který přepíná výstup, takže upravené referenční napětí na neinvertujícím vstupu bude mít opačnou polaritu. Kondenzátor C₁ se znova nabije, dokud napětí na něm není stejně jako napětí referenční. Cyklus se pak znova opakuje. Oba tranzistory umožňují testovat i operační zesilovač s malým výstupním proudem. Je-li na výstupu úrovně H, vede T₁ a svítí D₁, je-li na výstupu úrovně L, vede T₂ a svítí D₂. Testem lze kontrolovat všechny OZ, které mají shodné zapojení s OZ typu 741 (např. CA3080, LF356 atd.).

Generátor napětí schodovitého průběhu

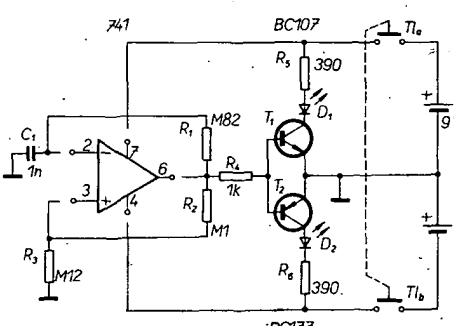
Blokové schéma generátoru je na obr. 121a. Generátor se skládá z astabilního multivibrátoru s nastavitelnou střídou výstupních impulsů. Výstupním signálem astabilního multivibrátoru se přes diodu D₁ napájí invertující integrátor. Každý záporný napěťový impuls U_{R1} posouvá úroveň výstupního napětí integrátoru (schodovitého napětí U_{sch}) o jeden „schod“, a to směrem ke kladným velikostem. Dioda D₂ zabezpečuje, že



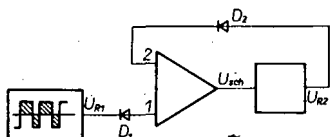
Obr. 120. Širokopásmový milivoltmetr



Obr. 119. Univerzální měřicí zesilovač



Obr. 121. Jednoduchý tester operačních zesilovačů



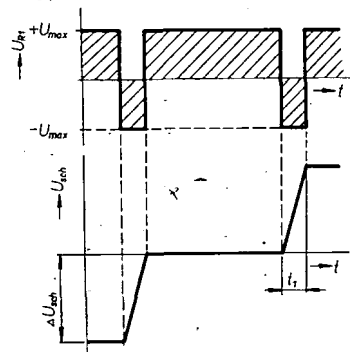
Obr. 121a. Blokové schéma generátoru napětí schodovitého průběhu

kladné části napětí U_{R1} neovlivní činnost integrátoru (obr. 121b).

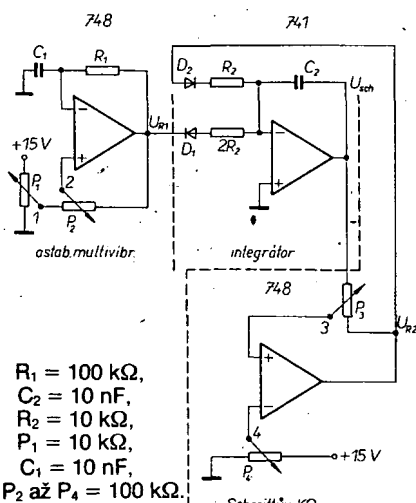
Výstupní napětí integrátoru se vede do Schmittova klopného obvodu. Jakmile výstupní napětí (schodovitého průběhu) dosáhne kladné úrovně překlápacího napětí klopného obvodu, změní se výstupní napětí klopného obvodu U_{R2} z $-U_{max}$ na $+U_{max}$, přičemž pod U_{max} se rozumí maximální jednotlivé napěťové úrovně „schodů“.

Zátoho stavu vede dioda D_2 a na výstupu integrátoru se objeví strmá záporná hrana napětí schodovitého průběhu. Dosáhne-li U_{sch} dolní úrovňu překlápacího napětí klopného obvodu, změní se U_{R2} na velikost $-U_{max}$. Klopný obvod dále činnosti integrátoru neovlivňuje, neboť D_2 nepovede. S přístupem zápornou částí U_{R1} vznikne i první „schod“ a podobně vzniká celý průběh napětí schodovitého tvaru.

Zapojení na obr. 121c pak odpovídá blokovému schématu na obr. 121a. Potenciometrem P_1 lze nastavit střidu astabilního multivibrátoru (změna nastavení P_1 má vliv na kmitočet výstupního signálu). Potenciometrem P_2 se volí počet stupňů napěti schodovitého průběhu. Potenciometry P_3 a P_4 slouží k nastavení hysterezy klopného obvodu, popř. k posouvaní hysterezní smyčky. Jako diody D_1 a D_2 se doporučuje použít diody stejněho typu.



Obr. 121b. Průběhy napětí U_{R1} a U_{sch}



Obr. 121c. Zapojení generátoru napětí schodovitého průběhu

Generátory periodických signálů různých průběhů – generátory funkcí

Prudký rozvoj výroby monolitických operačních zesilovačů, jejich dostupnost a vynikající elektrické vlastnosti umožňují snadno realizovat celou řadu elektrických obvodů, které by se s diskrétními prvky realizovaly velmi těžko, nebo jejichž elektrické vlastnosti by neměly požadovanou úroveň.

Jedním z těchto obvodů je tzv. generátor funkci. Generátorem funkcí se nazývá generátor periodických signálů různých tvarů (např. trojúhelníkovitý, pravoúhlý, sinusový, kosoúhlý apod.), jejichž kmitočet lze měnit v širokých mezích od deseti nebo setin Hz do jednotek nebo desítek MHz.

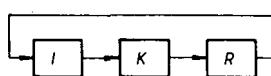
V generátořech funkcí se sinusový průběh získává obvykle tvarováním trojúhelníkovitého průběhu. Sinusový průběh není tedy průběhem základním, ale odvozeným. Základními tvary průběhů jsou pravoúhlý a trojúhelníkovitý průběh. Tato skutečnost je velmi výhodná na nízkých kmitočtech (méně než 100 Hz), neboť realizace sinusových generátorů LC nebo RC pro nízké kmitočty je složitá s ohledem na stabilitu amplitudy generovaných kmitů. K udržení konstantní amplitudy výstupního signálu je nutné použít regulační smyčku, přičemž časová konstanta regulační smyčky – žárovka, termistor apod. – musí být aspoň pětkrát větší, než je perioda signálu nejnižšího vyráběného kmitočtu. To znamená, že při kmitočtech řádu 0,1 Hz bychom po každé změně kmitočtu museli čekat 50 s na ustálení amplitudy. Vzhledem k tomu, že u funkčního generátoru není nutné regulační smyčku použít, odpadají proto i problémy se stabilizací amplitudy generovaných signálů.

Skutečnost, že zapojení generátorů funkcí jsou poměrně jednoduchá a s poměrně malým počtem součástek (zvláště kondenzátorů), vedla zahraniční výrobce k jejich integraci. Jako příklad takového obvodu je možné uvést integrovaný obvod ICL8038 fy Intersil, který umožňuje realizovat generátor funkci s kmitočtovým rozsahem 0,001 Hz až 1 MHz a se sinusovým, trojúhelníkovitým a pravoúhlým tvarom výstupního napětí.

Možnost jednoduše ladit generátor funkci vnějším stejnosměrným napětím umožňuje snadno realizovat i rozšířit generátor v širokém oboru kmitočtů. Velmi často je této vlastnosti využito ke kmitočtové modulaci signálu generátoru funkci. Proto také mnoho průmyslově vyráběných generátorů funkci je vybaveno obvody, které umožňují kmitočtovou, případně i amplitudovou modulaci výstupního signálu.

Generátory napětí pravoúhlého a trojúhelníkovitého průběhu

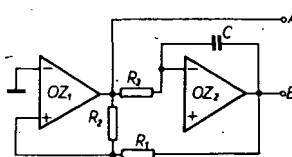
Podstatou činnosti generátoru napětí pravoúhlého a trojúhelníkovitého průběhu spočívá v integraci napětí na kondenzátoru. Blokové schéma obvyklého uspořádání je na obr. 122. Protože integrační časová konstanta, integrované napětí



Obr. 122. Blokové zapojení generátoru funkci

i konečné napětí na integračním kondenzátoru jsou vždy určitým způsobem definovány, bude definována i doba kmitu a tedy i kmitočet oscilátoru, pracující na tomto principu. Protože v zásadě jde o integraci konstantního napětí, bude mít výstupní napětí v současných osách čas-napětí tvar přímky se směnicí k (v první polovině jednoho kmitu), případně – k (ve druhé polovině kmitu); říkáme, že generátor produkuje napětí trojúhelníkovitého průběhu. Abychom na výstupu integrátoru i obdržel napětí se směnicí, která má střídavé opačné znaménko, musíme integrovat napětí, které má sice stejnou velikost, ale střídavě se měnící polaritu (vůči vodiči s nulovým potenciálem).

Polarita tohoto přepínacího referenčního zdroje R se mění vždy v okamžiku, kdy je na výstupu integrátoru špička napětí trojúhelníkovitého průběhu. To zajišťuje, že komparátor K, který se překlopí v okamžiku, kdy výstupní napětí trojúhelníkovitého průběhu dosáhne předepsané velikosti, přepne zdroj referenčního napětí do opačné polarity. Je jasné, že na výstupu zdroje referenčního napětí je napětí pravoúhlého průběhu. To znamená, že na výstupu integrátoru je napětí trojúhelníkovitého průběhu, zatímco na výstupu zdroje referenčního napětí je napětí pravoúhlého průběhu. Zjednodušené typické zapojení generátorů funkci s operačními zesilovači je na obr. 123.



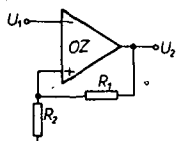
Obr. 123. Základní zapojení generátoru funkci

Důležitým prvkem generátoru funkci je komparátor. Jako komparátor se nejvíce používá Schmittův klopný obvod, realizovaný operačním zesilovačem. Dále si světlíme činnost tohoto obvodu. Výstup Schmittova klopného obvodu se v provozu stále nachází buď v kladné nebo záporné saturaci. Tento stabilní stav (je-li na invertujícím vstupu nulové napětí) je zajištěn kladnou, zpětnou vazbou z výstupu do neinvertujícího vstupu. Bude-li v daném okamžiku mít výstupní napětí např. kladnou polaritu (v saturovaném stavu bývá při napájecím napětí ± 15 V na výstupu běžných monolitických operačních zesilovačů napětí ± 12 až ± 13 V), přeneše se na neinvertující vstup výstupní napětí operačního zesilovače, změněné ve stejném poměru jako je poměr R_2/R_1 . Toto kladné napětí bude udržovat výstup zesilovače v kladné saturaci. Budeme-li nyní na neinvertující vstup přivádět plynule se zvětšující kladné napětí, dostane se obvod nutně do stavu, kdy se napětí na obou vstupech vyrovnají a posléze bude invertující vstup polarizován kladněji, než vstup neinvertující. V okamžiku, kdy bude invertující vstup jen nepatrne „kladněji“ (zesilovač pracuje s plným zesílením), začne se napětí na výstupu zesilovače měnit směrem k saturačnímu napětí druhé polarity. Jakmile se začne zmenšovat kladné napětí na výstupu zesilovače, musí se zmenšovat i napětí na neinvertujícím

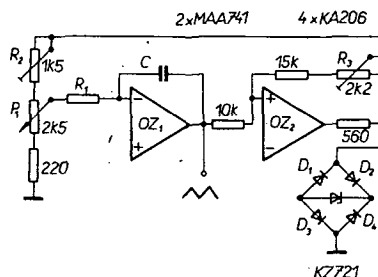
vstupu, což má za následek další zvětšení rozdílu napětí mezi vstupy zesilovače. Tento jev pokračuje lavičkovitě až do okamžiku, kdy se výstup zesilovače dostane do saturovaného stavu v záporné polaritě. Podobný pochod probíhá při přechodu zesilovače ze záporné saturace do kladné. V tomto případě však musíme na invertující vstup přivést záporné napětí. Důležitým parametrem Schmittova klopného obvodu je hystereze, což je rozdíl napětí, při nichž přechází klopny obvod z jednoho saturačního stavu do druhého a zpět. Hystereze Schmittova klopného obvodu, uvedeného na obr. 124, je určena vztahem

$$U_H = [(+U_{sat}) - (-U_{sat})] \frac{R_2}{R_1 + R_2}$$

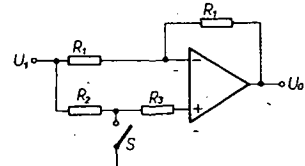
Z uvedeného vztahu je ihned vidět, že hystereze Schmittova klopného obvodu



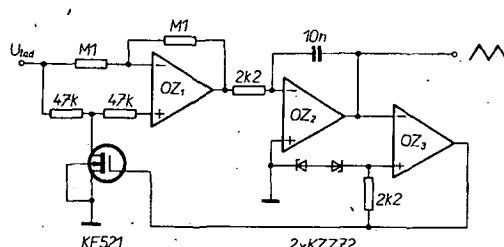
Obr. 124. Zapojení Schmittova klopného obvodu



Obr. 125. Zapojení generátoru funkcí s omezovačem



Obr. 126. Obvod s přenosem jedna



Obr. 127. Zapojení generátoru funkcí laděného vnějším napětím

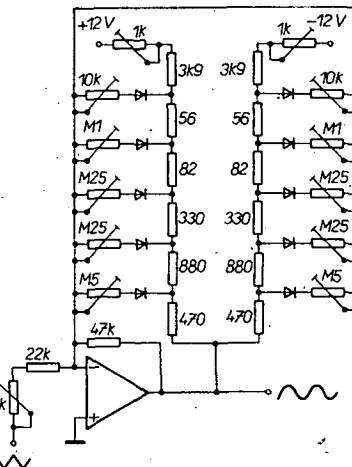
můžeme snadno měnit změnou velikosti jednoho z odporů. Této skutečnosti může být využito u funkčních generátorů k jednoduchému řízení amplitudy.

Vrafme se nyní k zapojení na obr. 123. Operační zesilovač OZ₂ pracuje jako integrátor a zesilovač OZ₁ současně jako komparátor a zdroj referenčního napětí. Jedno referenční napětí je $+U_{sat}$ a druhé je $-U_{sat}$. Zde je ihned vidět určitá nedokonalost uvedeného zapojení: saturační napětí operačních zesilovačů jsou zřídka kdy dokonale symetrická. Na výstupu zesilovače OZ₁ (bod A) je napětí pravoúhlého průběhu se střídou priblíženě 1:1, jehož amplituda je rovna součtu absolutních hodnot obou saturačních napětí (kladné a záporné polarity). Trojúhelníkovitý signál je na výstupu zesilovače Z₂ (bod B). Jeho kmitočet, který je vždy stejný jako kmitočet pravoúhlého signálu, bude při konstantní amplitudě závislý na velikosti odporu R₃ a kapacitě kondenzátoru C. Amplituda napětí trojúhelníkovitého průběhu je určena poměrem velikosti odporů R₁ a R₂. Pokud platí pro zesilovač OZ₁, že $|+U_{sat}| = |-U_{sat}|$, potom bude pro mezivrcholovou hodnotu napětí trojúhelníkovitého průběhu platit následující vztah

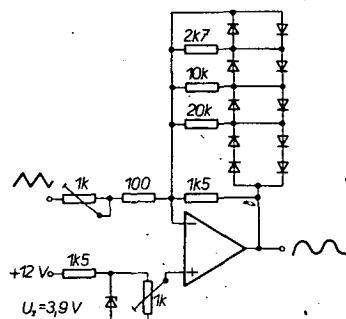
$$U_A = +U_{sat} \frac{2R_1}{R_2}$$

Abychom dosáhli přesné symetrického výstupního napětí trojúhelníkovitého průběhu, tj. střidy pravoúhlého napětí přesné 1:1, museli bychom komparátor osadit operačním zesilovačem vybraným tak, aby měl kladné i záporné saturační napětí stejné. Tento požadavek lze v praxi těžko realizovat, proto se tento problém řeší použitím symetrického omezovače. Zapojení generátoru funkcí vybaveného omezovačem je na obr. 125. Diodový můstek přepíná Zenerovu diodu podle okamžité polarity na výstupu komparátoru tak, že při kladné polaritě vedou D₂ a D₃ a při záporné polaritě D₁ a D₄. Tímto způsobem je Zenerova dioda vždy polarizována tak, že v uvedeném zapojení pracuje jako symetrický omezovač. Velikost napětí (mezivrcholovou hodnotu) trojúhelníkovitého průběhu lze přesně nastavit na 10 V volbou odporu R₃. Kmitočet výstupního signálu je řízen potenciometrem P₁ v poměru 1:10. Uvedený poměr je možné nastavít přesně volbou odporu R₁. Kmitočtový rozsah se nastavuje hrubě přepínáním kondenzátorů C.

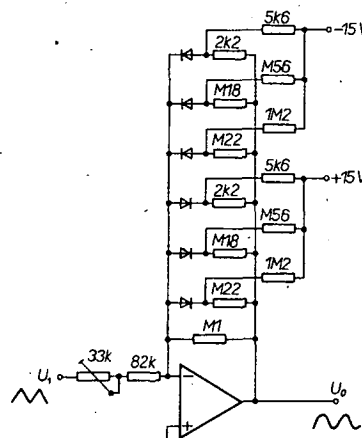
Jak jsme se již dříve zmínilí, kmitočet generátoru funkcí (např. obr. 125) je řízen napětím, které ovšem musí stále (během každého cyklu) měnit polaritu. To je také důvod, proč se totiž řídí napětí odebírá (po omezení na definovanou amplitudu) z výstupu komparátoru. Stejného výsledku můžeme dosáhnout, budeme-li kmitočet generátoru řídit vnějším napětím, u něhož budeme komparátorem a dalšími



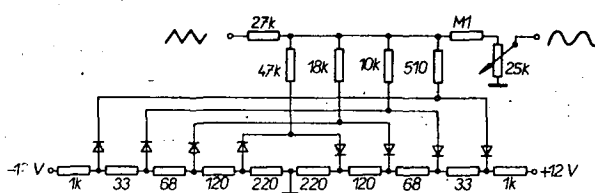
Obr. 129. Převodník trojúhelník-sinusovka s diodoodporovou sítí ve zpětné vazbě operačního zesilovače



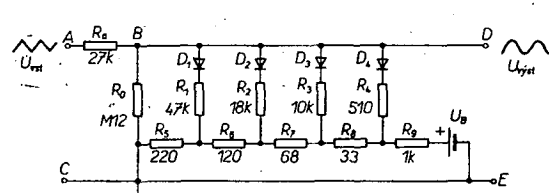
Obr. 130. Jednodušší převodník trojúhelník-sinusovka



Obr. 131. Jednoduchý převodník trojúhelník-sinusovka



Obr. 132. Převodník trojúhelník-sinusovka s pasivní diodoodporovou sítí



Obr. 133. Základní zapojení pasivního převodníku trojúhelník-sinusovka

obvody měnit polaritu. Jednou z mnoha možností je použít obvod na obr. 126. Činnost tohoto obvodu je velmi jednoduchá. Pokud je spínač S sepnut, obvod se chová jako invertor. Neinvertující vstup je uzemněn přes odpor R_3 . Zdroj signálu U_1 je zatěžován paralelní kombinací odporů R_1 a R_2 . Výstupní napětí v tomto případě bude tedy $U_o = -U_1$. Jiná situace ovšem nastane, bude-li spínač S rozpojen. Napětí U_1 bude pak také na invertujícím vstupu (protože do neinvertujícího vstupu operačního zesilovače neteče žádný proud, a proto na R_2 a R_3 nevniká úbytek napětí). V tomto případě však musí být napětí U_1 také na invertujícím vstupu (mezi vstupy operačního zesilovače je nulový rozdíl napětí). To znamená, že ani odparem R₁ neteče žádný proud, a proto i na výstupu operačního zesilovače bude $U_o = U_1$. V praxi se volí přibližně $R_2 = R_3$ a $R_2 + R_3 = R_1$.

Na obr. 127 je zapojení funkčního generátoru laděného vnitřním napětím. Komparátor, vybavený bipolárním omezovačem, řídí svým výstupem řídici elektrodu tranzistoru typu MOSFET, který zde nahrazuje spínač S z obr. 126. Pokud záleží na linearitě převodu U_{ad} ku f_{vyst} , je nutné, aby zdroj napětí U_{ad} měl malou impedanci (např. výstup operačního zesilovače).

Jak jsme se již zmínili, generátor funkcí má dva základní průběhy: pravoúhlý a trojúhelníkovitý. V měřicí technice je ovšem zcela běžné používání i napětí sinusové. Obvyklých funkčních generátorů se sinusové napětí nevykystuje přímo na výstupech základního generátoru, ale získává se většinou úpravou trojúhelníkovitého napětí. Tento způsob generování sinusového napětí má jednu velkou přednost: je totiž možné tímto způsobem generovat sinusové napětí o velmi nízkých kmitočtech, které se jinak generují s velkými potížemi. Jednoduchý a všeobecně známý způsob převodu napětí trojúhelníkovitého na sinusové využívá závislosti proudu, tekoucího kanálem unipolárních tranzistorů, na přiloženém napětí U_1 . Princip tohoto zapojení je uveden na obr. 128 [1].

Další možností, jak převést napětí o trojúhelníkovém průběhu na napětí sinusového průběhu, je použít metodu posupních approximací. Na obr. 129 je uvedeno základní zapojení využívající zmíněné metody – operační zesilovač má ve zpětné vazbě diodoodporovou matici. V tomto případě bylo dosaženo nelineárního zkreslení sinusového signálu menšího než 0,6 % [2]. Poněkud jednodušeji je realizován převodník na obr. 130 [3] a na obr. 131 [4]. Převodník „trojúhelník-sinus“ je pochopitelně možné realizovat i pasivní diodoodporovou sítí podle obr. 132. Výhodou tohoto zapojení je jeho kmitočtová nezávislost. Pro uvedené zapojení se uvádí nelineární zkreslení asi 1,5 % [5]. Funkci převodníku si vysvětlíme na základním zapojení na obr. 133. Dvojpól mezi body B a C je tvořen základním

odparem R_0 a řadou dalších odporů R_1 až R_4 , které jsou připojeny přes Diody D₁ až D₄. Tyto diody mají různé předpěti v závěrném směru postupně většími napětími ze zdroje U_B a z odporového děliče R_5 až R_9 . Každá z diod tedy sepnute, až když napětí na svorkách B-C bude větší než její předpětí. Proto má výsledný dvojpól převodní charakteristiku ve tvaru lomeného průběhu podle obr. 134; v němž zlomy odpovídají předpěti jednotlivých diod a sklon mezilehých úseků je přibližně dán poměrem odporu R_a k paralelnímu spojení základního odporu R_0 se všemi odporu, jejichž diody jsou již otevřeny.

Při vhodné volbě odporů a předpětí lze tímto zapojením aproximovat libovolnou monotónně stoupající nebo klesající charakteristiku. S konkrétními (obr. 132) odporu je právě možno dosáhnout stupňovitého napodobení sinusového průběhu. Jak je možné se jednoduše přesvědčit, budou jednotlivá napětí U_n následující

$$\begin{aligned} U_1 &= 2,29 \text{ V}, \\ U_2 &= 3,54 \text{ V}, \\ U_3 &= 4,25 \text{ V}, \\ U_4 &= 4,59 \text{ V}. \end{aligned}$$

V úseku $U_{\text{vyst}} = 0$ až 2,29 V bude tedy přibližně platit

$$U_{\text{vyst}} = U_{\text{vst}} \frac{R_0}{R_a + R_0} = U_{\text{vst}}.$$

Potom U_{vyst} pro $U_{\text{vst}} = 2,29 \text{ V}$ bude $U_A = 2,29 \text{ V}$.

V úseku $U_{\text{vst}} = 2,29$ až 3,54 V bude platit vztah

$$U_{\text{vyst}} = (U_{\text{vst}} - U_1) \frac{R_1 \parallel R_0}{R_a + (R_1 \parallel R_0)} + U_A$$

(Pozn. $R_1 \parallel R_0$ znamená výslednou hodnotu odporu, která je určena paralelním spojením R_1 a R_0 .)

Potom U_{vyst} pro $U_{\text{vst}} = 3,54 \text{ V}$ bude $U_B = 3,08 \text{ V}$.

V úseku $U_{\text{vst}} = 3,54$ až 4,25 V bude platit vztah

$$U_{\text{vyst}} = (U_{\text{vst}} - U_2) \frac{R_2 \parallel R_1 \parallel R_0}{R_a + (R_2 \parallel R_1 \parallel R_0)} + U_B$$

V tomto případě U_{vyst} pro $U_{\text{vst}} = 4,25 \text{ V}$ bude $U_C = 3,31 \text{ V}$. Dále v úseku $U_{\text{vst}} = 4,25$ až 4,59 V bude platit

$$U_{\text{vyst}} = (U_{\text{vst}} - U_3) \frac{R_3 \parallel R_2 \parallel R_1 \parallel R_0}{R_a + (R_3 \parallel R_2 \parallel R_1 \parallel R_0)} + U_C$$

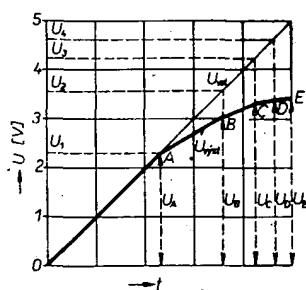
Potom U_{vyst} pro $U_{\text{vst}} = 4,59 \text{ V}$ bude $U_D = 3,37 \text{ V}$.

Konečně v úseku $U_{\text{vst}} = 4,59 \text{ V}$ až $U_{\text{vst max}}$ bude platit

$$U_{\text{vyst}} = (U_{\text{vst max}} - U_4)$$

$$\frac{R_4 \parallel R_3 \parallel R_2 \parallel R_1 \parallel R_0}{R_a + (R_4 \parallel R_3 \parallel R_2 \parallel R_1 \parallel R_0)} + U_D$$

Pokud např. zvolíme $U_{\text{vst max}} = 5 \text{ V}$ (je jasné, že musí platit $U_{\text{vst max}} > U_4$), potom U_{vyst} pro $U_{\text{vst}} = 5 \text{ V}$ bude $U_E = 3,38 \text{ V}$. Při výpočtu napětí U_A, U_B, U_C, U_D a U_E byl vzat v úvahu i vliv odporového děliče, který vytváří potřebné předpěti diody. Vliv délky se výrazněji projeví pouze v úseku $U_{\text{vst}} = 4,59$ až $U_{\text{vst max}}$. Naopak byl zanedbán vliv odporu R_0 (tj. $R_0 = \infty$). Budeme-li předpokládat, že se U_{vst} lineárně zvětší s časem, potom U_{vyst} bude záviset na času podle obr. 134. Jak je z tohoto obrázku zřejmé, U_{vyst} sleduje přibližně čtvrtperiodu sinusového průběhu. Pokud vstupní napětí bude mít v čase trojúhelníkovitý průběh s amplitudou $\pm 5 \text{ V}$, potom výstupní napětí bude mít přibližně sinusový průběh (s použitím zapojení na obr. 132).



Obr. 134. Převodní charakteristika pasivního převodníku trojúhelník-sinusovka

Na tomto místě je nutno poznamenat, že výše uvedený rozbor je zjednodušený a platí proto jen přibližně (např. byly zanedbány úbytky napětí na jednotlivých diodách). Rozbor slouží pouze k lepšemu pochopení funkce převodníku, neboť převodník tohoto typu je použit v dálé popisovaném stavebním návodu na generátor funkci. Uvedený rozbor může případně posloužit těm, kteří by chtěli realizovat převodník s jiným tvarem výstupního napětí.

Jednoduchý generátor funkcí

V profesionální i amatérské praxi se velmi často potřebují signální generátory s různými průběhy výstupních signálů, jako např. se sinusovým, pravoúhlým, trojúhelníkovitým apod. Konstruovat pro každý průběh samostatný generátor je velmi neekonomické. Navíc v některých případech je realizace např. sinusových generátorů velmi obtížná. Dále uvedený popis funkčního generátoru řeší jednoduchým způsobem potřebu generátoru s různým tvarem výstupního signálu. Některé parametry (jako např. zkreslení výstupního sinusového signálu) sice nedosahují úrovně speciálních generátorů, avšak jednoduchost konstrukce může v běžné praxi využít některé horší technické parametry.

Popis funkce

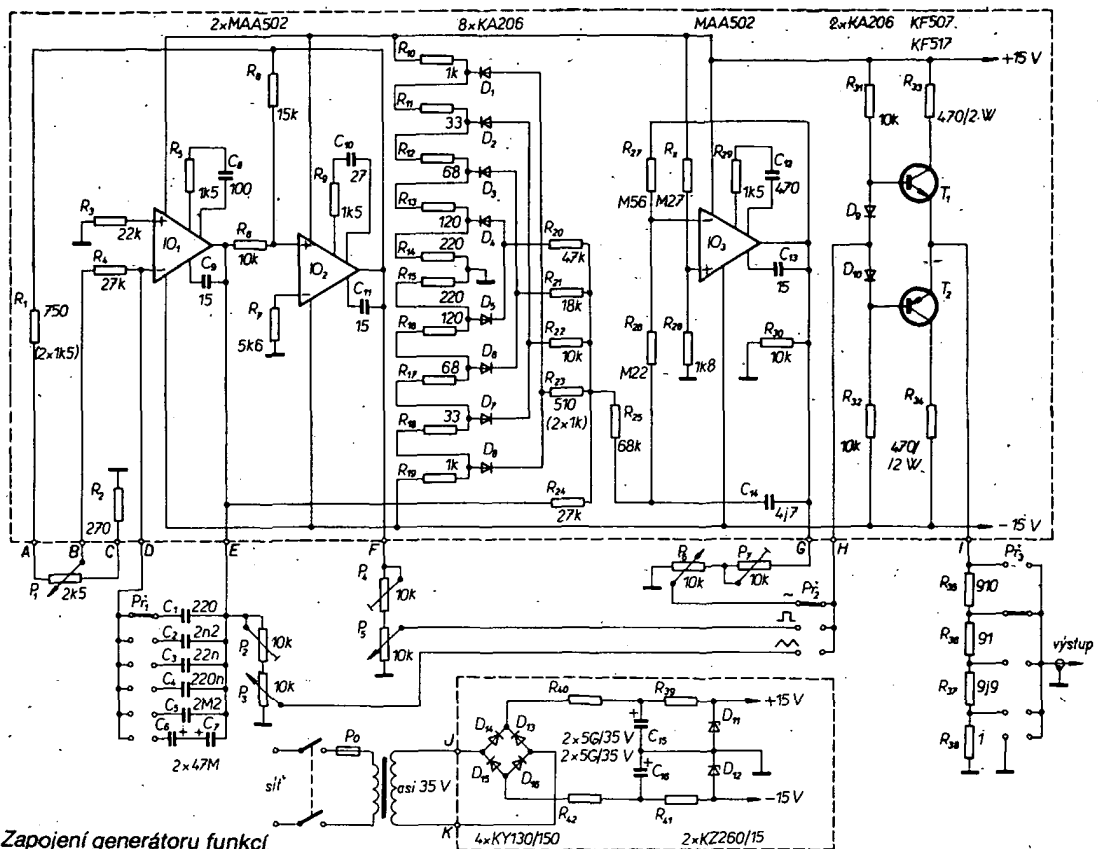
Praktické zapojení jednoduchého generátoru funkcí je na obr. 135. Činnost zapojení přesně odpovídá předchozímu výkladu. Operační zesilovač IO₁ plní funkci integrátoru; zatímco IO₂ zde pracuje současně jako komparátor a zdroj referenčního napětí. Jemně (plynule) se kmitočet generátoru mění změnou výstupního napětí Schmittova klopného obvodu (IO₂) potenciometrem P₁. Výstupní napětí z potenciometru P₁ je potom přivedeno na invertující vstup integrátoru (IO₁). Kmitočet můžeme přibližně určit ze vztahu

$$f = \frac{U_{\text{vst}}}{4U_H P_4 C_1}$$

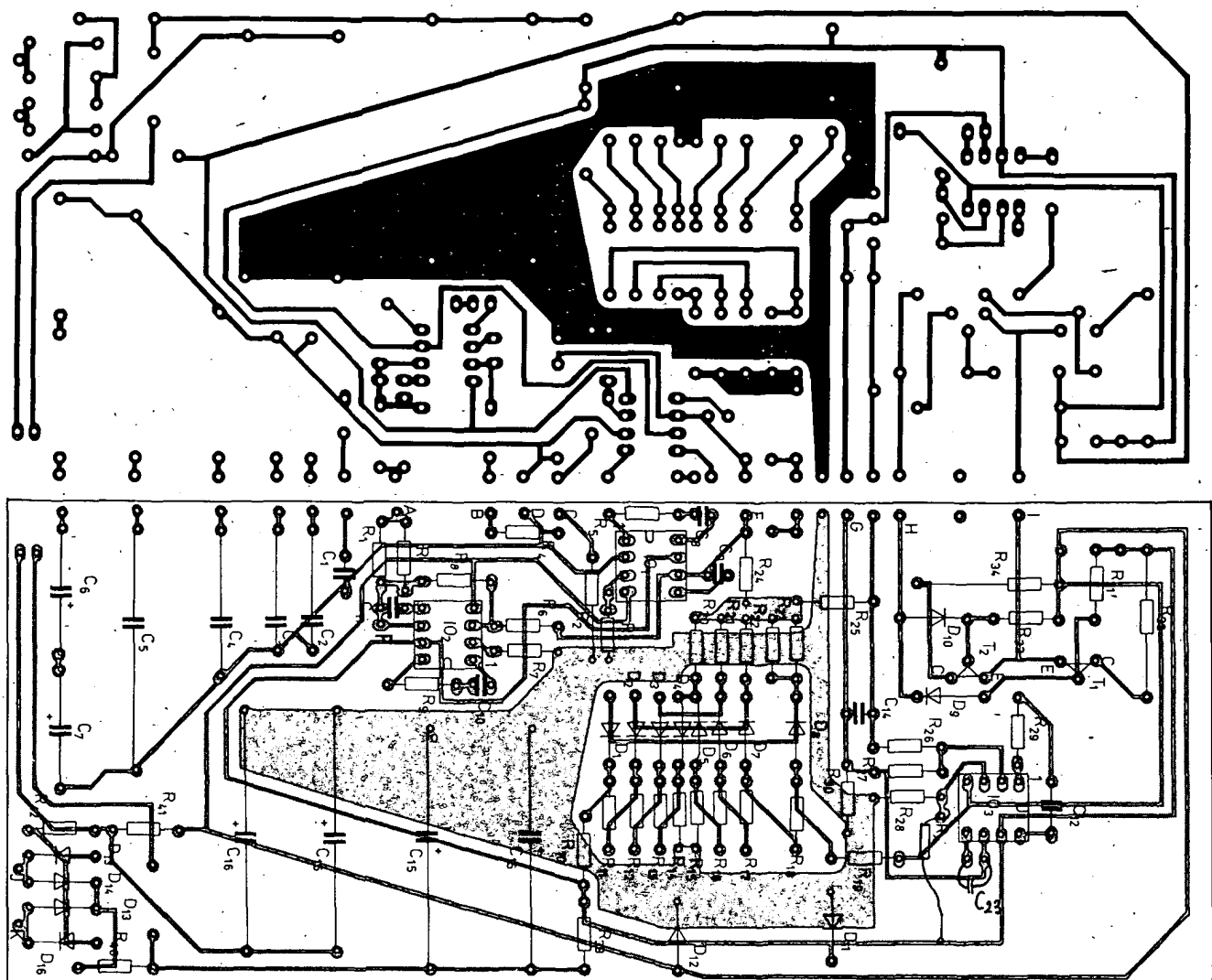
$$\begin{aligned} n &= 1 \text{ až } 7, \\ U_{\text{vst}} &\text{ amplituda napětí v bodě B,} \\ U_H &\text{ hystereze klopného obvodu (asi 10 V)} \end{aligned}$$

V uvedeném zapojení není na výstupu klopného obvodu použit symetrický omezovač. Je proto vhodné vybrat operační zesilovač IO₂, tak, aby co nejmíň platilo $|+U_{\text{sat}}| = |-U_{\text{sat}}|$. Jen tak dosaheme toho, že výstupní napětí bude mít přesně trojúhelníkovitý průběh, tj. že střída výstupního pravoúhlého napětí bude přesně 1:1. Pochopitelně je také možné uvedené zapojení doplnit symetrickým omezovačem tak, jak je to uvedeno na obr. 125. Aby byla stavba generátoru co nejjednodušší, nejsou v uvedeném zapojení použity obvody, které by umožňovaly kmitočtovou nebo amplitudovou modulaci výstupních signálů. Kmitočtovou modulaci můžeme jednoduše realizovat tak, že nahradíme dělič napětí R₁, P₁, R₂ přechodem drain-source tranzistoru typu MOSFET a na řídici elektrodu tohoto tranzistoru přivádime modulační signál.

Abychom zajistili co největší stabilitu kmitočtu výstupního signálu, je nutno

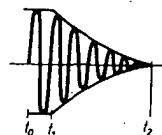


Obr. 135. Zapojení generátoru funkcí

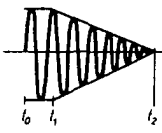


Technicky nejjednodušší způsob jak rozlišit zda se jedná o hudbu nebo řeč, je vyhodnotit četnost mezer v akustickém signálu. Při hudbě vznikají tyto mezery jen velmi zřídka, zatímco při řeči po každém slově. Umlíčovací obvod, kterým je založen na uvedeném principu, generuje během každé mezery (nebo na jejím konci) krátký impuls. Integraci těchto impulzů vzniká stejnosměrné napětí, které se zvětšuje se zvětšující se četností mezer. Toto stejnosměrné napětí potom od jisté prahové úrovně ovládá vlastní vypínačí obvod. Hudbu tento systém vyhodnotí správně, pokud bude prahová úroveň detektoru mezer pod úrovní nejtišší pasáže v hudebním signálu (pianissimo). Řeč bude identifikována správně, pokud bude prahová úroveň detektoru mezer pod úrovní základního šumu v akustickém signálu. Pokud se ovšem bude jednat například o reportáž ze sportovního prostředí nebo o řeč, která je doplněna hudebním doprovodem, může metoda mezer selhat.

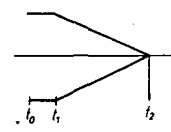
Lepších výsledků je možné dosáhnout, bude-li se místo četnosti mezer v akustickém signálu vyhodnocovat dozvuk, který vzniká vždy, pokud se jedná o hudbu (dozívající struny hudebních nástrojů, rezonující části některých hudebních nástrojů, dozvuk v koncertním sále atd.). Naproti tomu, pokud se jedná o řeč snímanou přímo mikrofonem (zprávy, různá hlášení atd.), bude dozvuk značně menší. Dozvuk si můžeme v tomto případě představit jako tlumené oscilace (obr. 76). Jak je známo, tlumené oscilace mají amplitudu, která se exponenciálně zmenšuje. Z tohoto důvodu je vhodné v hledisku dalšího použití žádaný signál nejprve zesílit v zesilovači s logaritmickým průběhem zesílení (v závislosti na velikosti vstupního signálu). Tímto způsobem je tedy linearizován exponenciální průběh dozívajícího signálu (obr. 77) – obálka dozívajícího tónu, který byl generován od času t_0 do času t_1 , je na obr. 78.



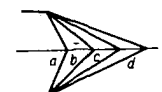
Obr. 76. Exponenciální pokles amplitudy dozívajícího signálu



Obr. 77. Linearizovaný průběh amplitudy dozívajícího signálu



Obr. 78. Obálka linearizovaného dozívajícího signálu



Obr. 79. Obálky linearizovaných dozívajících signálů s různou dobou dozívání

Od času t_0 do času t_1 probíhá dozívání. Na obr. 79 jsou obálky signálů s různou dobou dozívání (průběhy jsou linearizovány). Princip metody spočívá v tom, že vyhodnotí strmost, s níž se zmenšuje amplituda dozívajícího signálu. Pokud je strmost velká (případ a), odpovídá to pauzám v řeči. Pokud je strmost malá (případ d), odpovídá to dozvuku v hudbě. Je tedy nyní nutné použít takového detektoru, na jehož výstupu vzniká impuls s amplitudou, která je uměrná strmosti obálky. Integraci takto vzniklých impulzů obdržíme stejnosměrné napětí uměrné strmosti poklesu dozívajícího signálu. Toto stejnosměrné napětí potom od jisté prahové úrovně ovládá vlastní vypínačí obvod.

Jednoduchý selektor hudby

Dále uvedené zapojení pracuje na principu vyhodnocení četnosti mezer v akustickém signálu. Zapojení (obr. 80) je navrženo tak, aby selektor mohl být zapojen mezi výstup z demodulátora běžného rozhlasového přijímače (výstup pro magnetofon) a vstup nízkofrekvenčního zesilovače. Vzhledem k tomu, že výstupní napětí z kmitočtového demodulátoru bývá v rozmezí 100 až 500 mV, a dále, že při hudbě musíme počítat s dynamickým rozsahem asi 40 dB, je nutné zajistit dodatečné zesílení 50 dB. Jen tak totiž můžeme zajistit, že při tichých hudebních pasážích detektor mezer vyhodnotí správně vstupní signál jako hudbu.

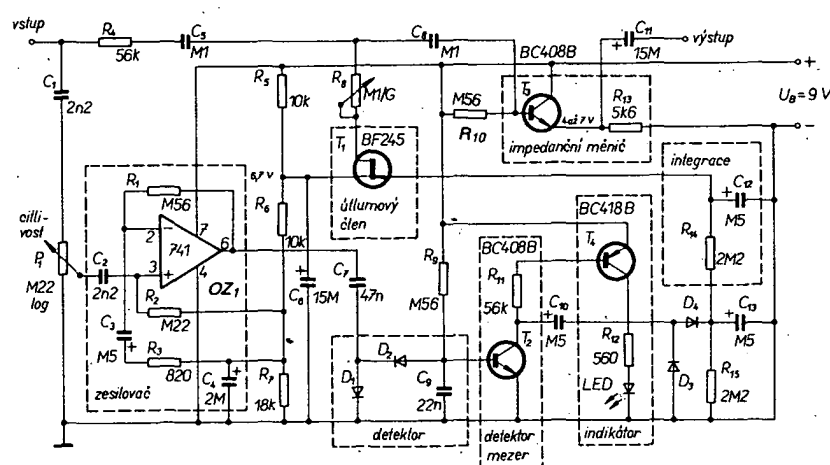
V zapojení na obr. 80 je k zesílení vstupního signálu použit operační zesilovač OZ₁. Dolní mezní kmitočet zesilovače je asi 100 Hz a je určen volbou kapacit kondenzátorů C₁, C₂ a C₃. Omezení ze strany nízkých kmitočtů zlepšuje odolnost zařízení proti rušení nízkými kmitočty (brum). Ze strany vyšších kmitočtů je omezení určeno vlastnostmi samotného operačního zesilovače. Omezení ze strany vyšších kmitočtů zvětšuje odolnost zařízení proti rušení interferenčními zázněji. Zde je nutné poznamenat, že vstupní signál bude po průchodu zesilovačem značně zkreslen (limitace). Toto zkreslení není však pro funkci přístroje na závadu, neboť se vyhodnocuje pouze mezer v signálu.

Za zesilovačem OZ₁ následuje detektor s diodami D₁, D₂. Výstupní napětí z detektoru je záporné a je vyhlašováno kondenzátorem C₉. Toto napětí udržuje při hudebním signálu tranzistor T₂ v nevodivém stavu. Objeví-li se v signálu mezera (řeč), záporné předpětí z detektoru bude nulové

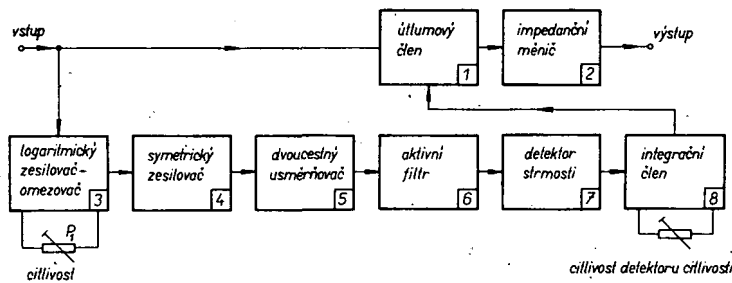
a uplatní se kladné předpětí, které je získáváno pomocí odporu R₉. To znamená, že tranzistor T₂ přejde do vodivého stavu. Do vodivého stavu přejde proto i tranzistor T₄ a rozsvítí se indikační dioda LD₁. Tato dioda indikuje přítomnost mezer ve vstupním signálu. Napěťový skok na kolektoru T₂, který vzniká s příchodem mezer v signálu, je upraven v tvarovacím obvodu C₁₀, D₃ na kladný impuls s definovanou šírkou. Impulzy z tohoto tvarovacího obvodu jsou přivedeny přes diodu D₄ k integračnímu článku C₁₂, C₁₃, R₁₄. Napětí na tomto článku se zvětšuje se zvětšováním četnosti mezer v signálu. V době mezi mezery se kondenzátory C₁₂ a C₁₃ vybíjejí přes odpory R₁₄ a R₁₅. Tímto způsobem je zajištěna jistá časová konstanta celého přístroje, která zaručuje, že vypínačí obvod mění svůj stav teprve po jisté době. Z tvarovacího obvodu je stejnosměrné napětí přivedeno na řidící elektrodu tranzistoru T₁. Pokud je řidící napětí nulové, je tranzistor T₁ v nevodivém stavu. Nevodivý stav je zajištěn předpětím v emitoru T₁ (+6,7 V). Bude-li řidící napětí dostatečné (velká četnost mezer ve vstupním signálu), přejde T₁ do vodivého stavu. Vzhledem k tomu, že vstupní nf signál je přes odpory R₄, R₈ a kondenzátor C₅ přiveden ke kolektoru T₁, zeslabí se vlivem zmenšení vnitřního odporu T₁. Velikost zeslabení je možno nastaví volbou nastavení trimru R₆. Maximální dosažitelné zeslabení je asi -40 dB. Aby nebyl signál zkreslen, nesmí maximální amplituda vstupního signálu přesáhnout úroveň 1 V. Nízkofrekvenční signál je potom dále převeden přes emitorový sledovač s tranzistorem T₃ na výstupní svorky přístroje.

Funkci přístroje můžeme snadno ověřit tak, že na vstup připojíme nf generátor, na kterém nastavíme vhodné výstupní napětí (100 až 500 mV), a budeme krátkodobě zkratovat diodu D₁. Imitujeme tak mezery v signálu. Zkratování musí být signalizováno diodou LD₁. Pokud zkratujeme diodu D₁ dvakrát rychle za sebou, potom se musí zeslabit reprodukce výstupního signálu ze selektoru.

Potenciometr P₁ a tedy i citlivost nastavíme až ve spojení s přijímačem. Nejprve nastavíme P₁ při mluvném programu tak, aby LD₁ zřetelně poblikávala a ztišila se reprodukce. Potom jemně opravíme nastavení P₁ při hudebním pořadu tak, aby dioda pokud možno nepoblikávala (tj. reprodukce nebude tišší). Tento postup je vhodné několikrát opakovat. Zde je nutné poznamenat, že správná funkce přístroje je zaručena pouze tehdy, bude-li vstupní signál málo zašuměný a budou-li tedy mezery velmi výrazné.



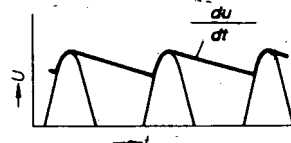
Obr. 80. Zapojení jednoduchého selektoru hudby



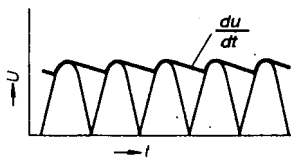
Obr. 81. Blokové zapojení selektoru pracujícího na principu vyhodnocování dozvuku

Selektor hudby pracující na principu vyhodnocení dozvuku

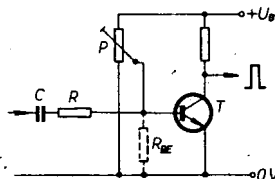
Cinnost obvodů, která je založena na vyhodnocení dozvuku, je možné sledovat na blokovém zapojení na obr. 81. Vstupní signál je nejprve přiveden na logaritmický zesilovač-limiter. Jak bylo již uvedeno, vychází se zde z předpokladu, že dozívající signál má exponenciální průběh (obr. 76), který je logaritmickém zesilovači-limiteru linearizován (obr. 77). Po limitaci jsou vrcholy vlnovek více zaobleny a rozšířeny. Dále je signál usměrněn. Vyhlašovací filtr na výstupu detektora musí mít dostatečně malou časovou konstantu, aby výstupní napětí mohlo sledovat špičky signálu. Při jednocestném usměrnění a malé časové konstantě může při nízkých kmitočtech vzniknout velké zvlnění výstupního signálu (obr. 82). Potom, zvláště při trvalém tónu, může dojít k záměně zvlnění se strmostí dozívání. Je proto tedy vhodné použít dvoucestné usměrnění, při němž má výstupní signál menší zvlnění (obr. 83). Výsledkem bude tedy signál s dvojnásobným kmitočtem a s menší amplitudou zvlnění. Dva signály, které mají stejnou amplitudu, ale obrácenou polaritu (jsou nutné pro dvoucestné usměrnění), jsou získány v symetrickém stupni (stupeň 4 na obr. 81). Tento stupeň je nastaven tak, že signál bude generován asi od 30 % maximální úrovně vstupního signálu. Vstupní signál z dvoucestného detektoru (stupeň 5) je potom přiveden přes aktivní filtr (stupeň 6) na výstup detektoru strnosti (stupeň 7). Aktivní filtr zde značnou měrou přispívá k vyhlazení demodulovaného signálu.



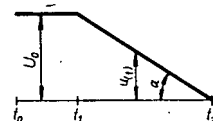
Obr. 82. Zvlnění na výstupu jednocestného usměrňovače



Obr. 83. Zvlnění na výstupu dvoucestného usměrňovače



Obr. 84. Zapojení detektoru strnosti



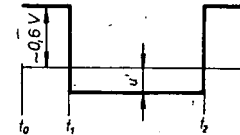
Obr. 85. Průběh napětí na výstupu detektoru strnosti

Na obr. 84 je zapojení detektoru strnosti. Trimmer P je nastaven tak, aby bez přítomnosti vstupního signálu byl tranzistor T ve vodivém stavu. V tomto případě bude odpor R_{EE} značně menší než odpor R. Z hlediska vstupního signálu tvoří odpor R + R_{EE} a kondenzátor C derivační obvod. Vstupní napětí má průběh podle obr. 85. Casový průběh tohoto napětí je možné napsat ve tvaru

$$u(t) = U_0(1 - kt) \quad (1)$$

kde k charakterizuje strmost poklesu dozívajícího signálu ($k = \tan\alpha$). Derivované napětí na bázi tranzistoru T bude

$$u' = -U_0 c k t \quad (2)$$

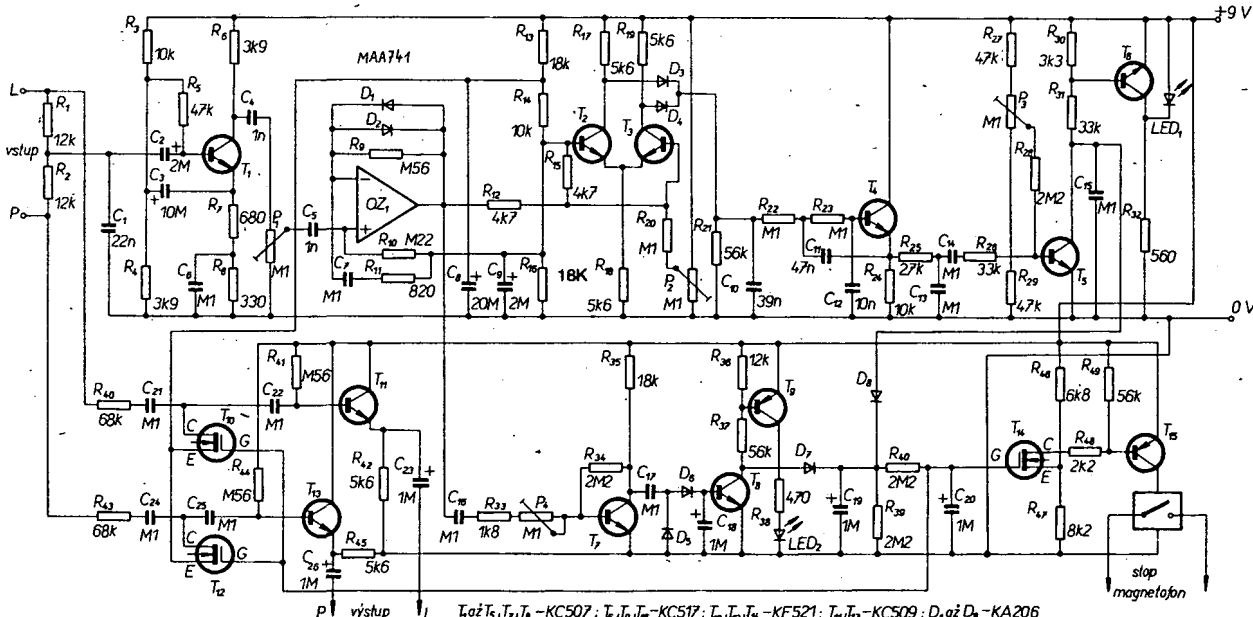


Obr. 86. Průběh napětí na bázi tranzistoru

kde konstanta c charakterizuje jednak časovou konstantu derivačního obvodu, jednak zeslabení derivovaného signálu vlivem napěťového děliče R a R_{EE} . Průběh napětí u' je na obr. 86. Jak je vidět ze vztahu (2), bude záporné u' tím větší, čím větší bude strmost poklesu signálu. Při dostatečně velkém záporném napětí u, tj. při dostatečně velké strmosti poklesu signálu, přejde tranzistor T do nevodivého stavu. To znamená, že na jeho kolektoru vznikne kladný napěťový skok. Jakmile dozívající signál dosáhne nulové úrovni, tranzistor T přejde opět do vodivého stavu. Impulzy, které takto vznikají, jsou po integraci přivedeny k vypínacímu obvodu, podobně jako tomu bylo v případě jednoduchého selektoru.

Na obr. 87 je skutečné zapojení, které využívá přirozeného dozvuku hudebního signálu.

Vzhledem k tomu, že uvedený přístroj je určen i pro stereofonní provoz, je na výstupu slučovací obvod s tranzistorem T₁. Úkolem slučovacího obvodu je vytvořit



Obr. 87. Zapojení selektoru pracujícího na principu vyhodnocování dozvuku

z levého a pravého akustického signálu součtovou složku, která je pak dále použita za základ pro vyhodnocení hudebních pořadů. Na místě logaritmického zesilovače-limiteru je použit operační zesilovač OZ₁, který má v obvodu zpětné vazby diody D₁ a D₂. Nízké kmitočty jsou potlačeny vhodně volenými kondenzátory C₄, C₅ a C₇. Dále následuje dvojčinný zesilovač s tranzistory T₂ a T₃. Za detektorem s diodami D₃, D₄ je aktivní filtr s tranzistorem T₄.

Detektor strmosti poklesu obálky vstupního signálu je realizován derivacním článkem a tranzistorem T₅. Z popisu funkce vyplývá, že tranzistor T₅ je stále ve vodivém stavu. Proto také komplementární tranzistor T₆ bude ve vodivém stavu a bude zkratovat indikační luminiscenční diodu LD₁. Pokud detektor strmosti vyhodnotí dostatečně velikou strmost obálky dozívajícího signálu, přejde tranzistor T₅ do nevodivého stavu; stejně tak i T₆. To znamená, že se dioda LD₁ rozsvítí a bude tak indikovat řeč. Kladné impulsy z kolektoru T₅ jsou přivedeny přes diodu D₈ k integračnímu článku C₁₉, C₂₀, R₃₉, R₄₀. Dioda D₈ zabrání okamžitému vybití kondenzátoru C₁₉ po skončení kladného impulsu (tranzistor T₅ je pak ve vodivém stavu). Pomalé vybíjení kondenzátoru probíhá jen díky velké časové konstantě obvodu (asi 10 sekund). Je tak zaručeno, že při výskytu řeči se kondenzátor C₁₉ nabije okamžitě, to znamená, že se okamžitě ztiší reprodukce. Ale na druhé straně, po skončení řeči, dosáhne reprodukce plné intenzity až asi po deseti sekundách. Tato setravnost je nutná, neboť delší pauzy v řeči by měly vždy za následek krátkodobé „uvolnění“ reprodukce, a tedy chybrou funkci selektoru. Z výstupu integračního článku je řídící signál přiveden na řídící elektrody tranzistorů T₁₀ a T₁₂, které pracují ve funkci útlumových členů. Nízkofrekvenční signál levého a pravého akustického kanálu jsou pak přes emitorové sledovače s tranzistory T₁₁ a T₁₃ přivedeny na výstup přístroje.

Celé zapojení je ještě navíc doplněno o obvod s tranzistory T₇ až T₉. Funkce tohoto obvodu je velmi jednoduchá. Vyhodnocuje totiž pouze přítomnost akustického signálu. Tranzistor T₇ zesiluje výstupní signál z OZ₁. Zesílený signál je detekován diodami D₅ a D₆. Stejnosměrná složka z výstupu detektora potom ovládá tranzistor T₈. Pokud je signál na výstupu OZ₁ nulový, tak je T₈ v nevodivém stavu a kondenzátor C₁₉ se přes diodu D₇ nabije. To znamená, že se napětí na G tranzistorů T₁₀, T₁₂ bude pozvolna (časová konstanta nabíjení C₁₉ a C₂₀) zvětšovat. V důsledku toho se zeslabí reprodukce. To znamená, že se reprodukce ztiší nejen při řeči, ale i při delších pauzách v programu. Tímto způsobem se zlepšuje účinnost celého zařízení. Pokud se totiž po delší pauze v programu vyskytne v signálu řeč, je ze začátku ještě zeslabena vlivem detektora pauzy a později vlivem detektoru strmosti dozívajícího signálu. Je tak vyloučeno, aby při začátku řeči měla reprodukce plnou hlasitost a zeslabovala se teprve po nějaké době (časová konstanta nabíjení C₁₉, C₂₀).

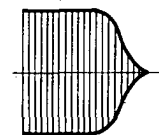
Popisované zařízení lze ještě doplnit obvodem, jehož zapojení je též na obr. 87. Tento obvod je velmi vhodný v případě, kdy nahráváme hudební pořad z rozhlasového přijímače. Je pochopitelné, že při nahrávání hudebních pořadů chceme většinou nahrávat hudbu a nikoli různé mluvené vložky mezi jednotlivými hudebními

čísly. Doplnkový obvod umožňuje pomocí dálkového ovládání STOP tlačítka u magnetofonu přerušit nahrávání, pokud se v programu vyskytne řeč. Samotné zapojení pomocného obvodu, jak je vidět z obr. 87, je velmi jednoduché. Paralelně k řídícím elektrodám T₁₀, T₁₁ je zapojena řídící elektroda T₁₄. Tento tranzistor zastává funkci impedančního převodníku. Tranzistor T₁₅, v jehož kolektoru je zapojeno relé, je výkonový zesilovač. Ke kontaktům relé je připojen výstup dálkového ovládání tlačítka STOP u magnetofonu.

Správně nastavit přístroj není již tak jednoduché, jako tomu bylo, v případě jednoduchého selektoru, neboť je nutné nastavit správně čtyři trimry. Budeme k tomu potřebovat osciloskop a signální generátor, nejlépe s trojúhelníkovým výstupním signálem. Na jeden ze vstupů přivedeme signál 2 kHz, 1,5 V (mezivracholová hodnota). Osciloskop připojíme na výstup operačního zesilovače a změnou nastavení P₁ překontrolujeme logaritmické omezení OZ₁. Nastavíme P₁ tak, aby symetrický stupeň T₂, T₃ nebyl ještě přebuzen, tj. aby nenastávala ještě limitace signálu. Osciloskop připojíme na katody diod D₃, D₄. Jak bylo již řečeno, bude v tomto bodě signál s dvojnásobným kmitočtem oproti kmitočtu vstupního signálu. Vzhledem k logaritmickému průběhu zesílení OZ₁ nebude mít signál trojúhelníkový průběh, ostré špičky budou značně zaobleny. Na obr. 88 je správný a nesprávný průběh napětí. Správného průběhu dosáhneme vhodným nastavením P₂.

P₁ a P₃ je nejlépe nastavovat již ve spojení s rozhlasovým přijímačem. Dočasně odpojíme diodu D₇. Přijímač naladíme na stanici, která má na programu mluvený pořad. P₁ a P₃ se snažíme nastavit tak, aby dioda LD₁ nejen co nejčastěji publikovala, ale aby při mezerách mezi jednotlivými slovy zůstala úplně zhasnutá. Dále naladíme přijímač na stanici s hudebním programem. Nyní se budeme snažit nastavit P₁ tak, aby dioda LD₁ přestala publikovat. Pokud budeme v tomto případě jemně otáčet běžcem trimru P₁ v takovém směru, při němž se pomalu zvětší napětí na výstupu OZ₁, potom bude LD₁ nejdříve stále častěji publikovat, při dalším otáčení se bude jas publikování diody zmenšovat, až konečně dioda zhasne. V tuhle chvíli přestane být reprodukce zeslabována a hudební pořad bude reprodukován v plné intenzitě. Přijímač naladíme na stanici s mluveným programem – překontrolujeme, ztiší se-li se reprodukce (dioda LD₁ bude publikovat). Pokud nedosáhneme tohoto stavu, je nutné jemně změnit nastavení P₃ a výše uvedený postup opakovat.

Po nastavení P₃ je také možno použít následující postup. Budeme k tomu potřebovat signální generátor, který má možnost připojit vnější amplitudovou modulaci. Jako modulační signál zvolíme



Obr. 89. Průběh amplitudově přemodulovaného signálu

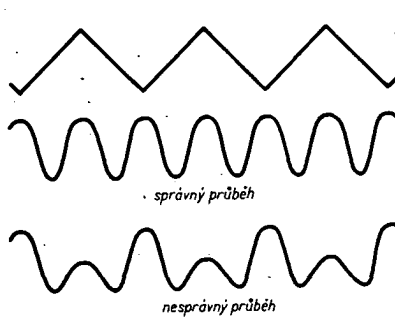
signál s kmitočtem několika Hz. Pokud signál generátoru přemodulujeme, obdržíme signál na obr. 89. Tímto způsobem tedy vlastně simulujeme dozívající signál. Takto modulovaný signál se základním kmitočtem asi 2 kHz přivedeme na jeden ze vstupů selektoru. Osciloskop připojíme na kolektor T₅. Modulační signál nastavíme tak, aby doba poklesu obalové křivky byla 10 ms (řeč). V tomto případě se musí na kolektoru T₅ objevit impulsy. Pokud tomu tak není, je nutné změnit nastavení P₃. Změníme modulační kmitočet tak, aby doba poklesu obalové křivky byla 30 ms (hudba). Na kolektoru T₅ nyní nesmí být žádné impulsy (nebo jen s velmi malou amplitudou). Změnou nastavení P₃ vlastně měníme práh detektoru strmosti, tj. volíme strmost poklesu obalové křivky vstupního signálu, od níž se na výstupu detektoru objeví impulsy, které po další úpravě způsobí zeslabení reprodukce. P₃ má být nastaven tak, aby se od strmosti poklesu menší než 20 ms zeslabila reprodukce.

Po posledním krokem je správné nastavení P₄. Připojíme napět diodu D₇ a připojíme i rozhlasový přijímač. Trimr P₄ nastavíme tak, aby při reprodukci hudby nebyla reprodukce zeslabována i při nejméně hlasitých částech hudebního programu. Na druhé straně v pauzách mezi jednotlivými programy se však musí reprodukce zeslabovat (při správně nastaveném P₄). Jakmile se zeslabí reprodukce vlivem pauzy v programu, tak se zároveň rozsvítí dioda LD₂. Jednoduše tak můžeme rozpoznat, zda jde při zeslabení reprodukce o řeč, nebo o pauzu v programu.

Je pochopitelné, že přesné nastavení celého selektoru bude vyžadovat delší trpělivou práci a mnoho praktických zkoušek ve spojení s přijímačem. Je totiž nutné ověřit funkci přístroje při různých žánrech hudebních programů. Přitom je nutné poznamenat, že funkce přístroje selhává v případech, kdy je řeč podložena hudbou nebo nějakým jiným spojitém signálem (např. při sportovní reportáži je hlas reportéra podložen hlukem ze hřiště nebo ze stadiónu). To znamená, že přístroj musíme nastavovat při řeči, která není podložena žádným dalším signálem.

Vzhledem k tomu, že stavba přístroje není kritická na rozložení součástek, byla místo speciální desky s plošnými spoji použita univerzální deska pro logické integrované obvody (DIL). Navíc univerzální deska s plošnými spoji umožňuje jednoduše realizovat různé varianty selektoru hudby. Budeme-li např. přístroj používat pouze pro monofonní provoz, může odpadnout obvod s tranzistorem T₁ a obvod s tranzistory T₁₂, T₁₃. Vstupní signál potom připojíme přímo na kondenzátor C₄. Pokud máme k dispozici nízkoamplifikační zesilovač s dostatečně velkým vstupním odporem (asi 100 kΩ), můžeme využít emitorové sledovače T₁₁ a T₁₃. Výstupní signály v tomto případě odebíráme za kondenzátory C₂₂ a C₂₅. Dále podle potřeby použijeme obvod k dálkovému ovládání tlačítka STOP u magnetofonu.

Závěrem je možno říci, že přístroj splňuje požadavky na něj kladené. To znamená, že s účinností asi 90 % rozlišuje hudbu od řeči. Podstatného zlepšení účinnosti by bylo možno dosáhnout již jen použitím drahé výpočetní techniky.



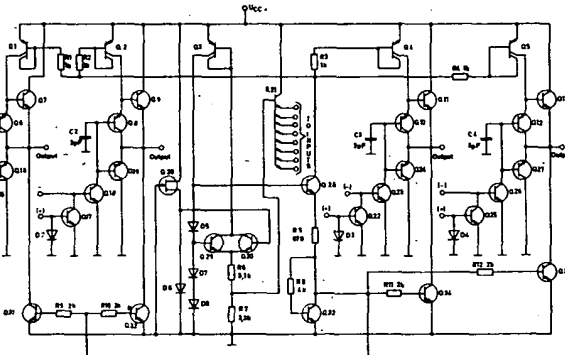
Obr. 88. Správný a nesprávný průběh napětí na katodách diod D₃, D₄

NORTONŮV ZESILOVAČ

Zvláštním druhem operačního zesilovače je tzv. Nortonův zesilovač, u něhož je poněkud pozměněn oproti běžnému operačnímu zesilovači vstupní diferenciální stupeň. Zatímco u běžného operačního zesilovače je výstupní napětí úmerné rozdílovému vstupnímu napětí, je u Nortonova zesilovače toto výstupní napětí úmerné vstupnímu rozdílovému proudu. K dosažení uvedené závislosti je vstupní obvod Nortonova zesilovače jednodušší, a proto Nortonovy zesilovače bývají relativně levně.

Pro pochopení funkce tohoto zesilovače použijeme obr. 1. V tranzistoru T_5 , jehož aktivní zátěží je tranzistor T_1 , je koncentrováno celé zesílení. Jeho kolektorový proud je u obvodu LM3900 nastaven na $200 \mu\text{A}$. Tranzistor T_3 je zapojen jako emitorový sledovač (s předpětím), pracující ve třídě A a T_7 je zapojen jako proudový zátěž s proudem $1,3 \text{ mA}$. Tranzistor T_2 zvětšuje proudový zesilovací činitel stupně, takže vstupní proud bude několik nA. Stejně funkce je možné dosáhnout tranzistory v Darlingtonové zapojení na vstupu, ale jejich použití má tu nevýhodu, že je zapotřebí většího předpěti. Rovněž použití tranzistorů v Darlingtonové zapojení na výstupu zmenší rozsah výstupního napětí.

Tranzistor p-n-p (T_2 na obr. 2) má laterální strukturu a jeho kolektor je připojen na výstup. Když bude na výstupu velké záporné napětí, bude mít přechod báze-kolektor předpětí a substrát pracující jako „parazitní“ kolektor umožňuje zesilovači odebrat větší proud, než je proud nastavený tranzistorem T_7 , tzn. že T_2 pracuje



Obr. 3.

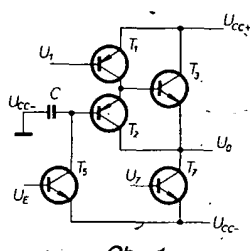
závislost proudového zesílení T_3 je kompenzována změnou kolektorového proudu T_1 ; T_7 má takové předpětí, že jeho kolektorový proud bude konstantní. U IO LM3900 bude (obr. 3) napětí $-U_{CC}$ na zemi, takže není zapotřebí symetrický napájecí zdroj. Spičkové výstupní napětí bude stejné, ať již použijeme zdroj $+30 \text{ V}$ nebo $\pm 15 \text{ V}$.

Proudový zátěž s tranzistory n-p-n T_{31} , T_{32} , T_{33} a T_{34} dostává předpěti z emitoru T_{28} přes R_5 , kdežto zdroje proudu T_1 , T_2 , T_4 a T_5 dostávají předpěti z kolektoru T_{28} , tzn. že T_{28} nastavuje proud zesilovače. Aby zapojení bylo po zapnutí stabilní, bude T_{30} zavřen a teče přes diody D_5 , D_7 a D_8 (které řídí T_{28}) proud. Tento proud je určen vztahem

$$I_D = \frac{U_{BE5}}{R_6 + R_7},$$

tzn., že napájecí proud je nezávislý na napájecím napětí. V praxi však musí být toto napětí větší než 5 V .

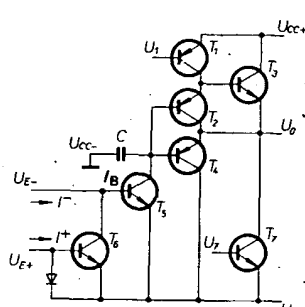
Daleko lépe pochopíme funkci IO LM3900, použijeme-li náhradní obvod podle obr. 4. Je zřejmé, že oba vstupy mají proti zemi předpětí U_{BE} , přičemž rozsah vstupních napětí je řádu 100 mV s omezením při $0,5 \text{ V}$. Vstupní proud na



Obr. 1.

jako vertikální tranzistor p-n-p a výstup pracuje pak ve třídě B.

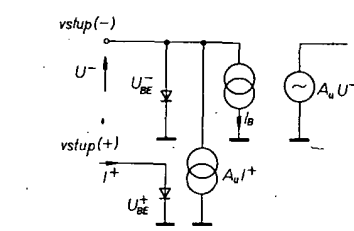
Abychom obdrželi neinvertující vstup, bude mít tranzistor T_6 předpěti pomocí diody (viz obr. 2) a vstupy pracují pak jako proudové zrcadlo se zesílením 1. Vstupní klidový proud (I_B) do T_5 je rozdíl



Obr. 2.

zem obou vstupních proudů, tzn. že tento obvod zesiluje vstupní rozdílový proud.

Vertikální tranzistor p-n-p T_4 nastavuje výstup do třídy B a zvětšuje jeho výkon. T_1 má takové předpětí, že teplotní zá-

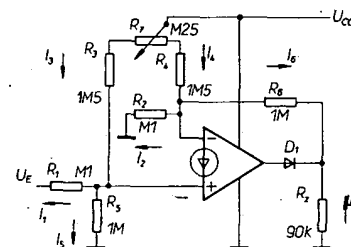


Obr. 4.

vstupu + je odvozen ze vstupního proudu vstupu – a je veden ke zdroji signálu a to přes vnější obvod. Z toho vyplývá, že zdroj signálu je na vstupu – využíván jen k získání rozdílového vstupního proudu I_B a výstupní napětí je úmerné „ekvivalentnímu napětí“ na tomto vstupu. Jak je zřejmé, je rozdílové vstupní napětí v tomto zapojení omezeno, z čehož vyplývá, že hodnoty vnějších odporek musí být voleny tak, aby vstupní proudy byly v požadovaném rozsahu.

Protože zapojení, jako např. měřicí zesilovač a střídavý zesilovač pracují jen při stabilním referenčním napětí nebo stejnosměrném předpěti, vysvětlíme si

dále způsob nastavení tohoto předpěti. V mnoha obvodech používaných v měřicí technice se předpokládá, že výstupní napětí bude 0 V , když je vstupní napětí rovno 0 V . Toho lze u IO LM3900 dosáhnout stejnosměrným předpětem, nastaveným podle obr. 5. Pokud potenciometr R_7



Obr. 5.

a dioda D_1 nebudu použity, pak odpory R_3 a R_4 jsou připojeny na napájecí napětí a odpor R_6 přímo na výstup. Obě vstupní napětí jsou 0 V a vstupní proudové zrcadlo zajišťuje, že proudy I^+ a I^- budou stejné (zanebdáme-li vliv I_B), takže pak platí:

$$I_3 - I_1 - I_5 = I_4 - I_2 - I_6.$$

Protože vstupy zesilovače mají předpětí U_{BE} oproti zemi, převedeme předchozí vztah na rovnici:

$$\begin{aligned} \frac{U_{CC+} - U_{BE}}{R_3} - \frac{U_{BE}}{R_1} - \frac{U_{BE}}{R_5} &= \\ = \frac{U_{CC+} - U_{BE}}{R_4} - \frac{U_{BE}}{R_2} - \frac{U_{BE}}{R_6} & \end{aligned}$$

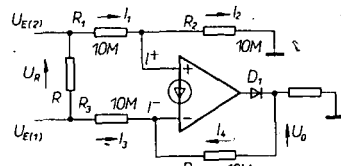
ale $R_1 = R_2$, $R_3 = R_4$ a $R_5 = R_6$, takže napětí U_0 se blíží k nule. Jak vyplývá z vnitřního zapojení IO LM3900, nemůže být na vstupu nikdy napětí 0 V (nebo U_{CC-}), tzn. že stejnosměrným předpětem nastavujeme na výstupu co nejmenší napětí – proto na výstup připojíme diodu D_1 , abychom potřebný stejnosměrný proud nastavili. Výstupní napětí je dán vztahem

$$U_0 = \frac{U_{BE} R_2}{R_6 + R_2}$$

a je v daném případě asi 5 mV a může být

redukováno na nulu potenciometrem R_7 . Zesílení je pak dáno poměrem $-R_6/R_2$.

Dalším požadavkem na měřicí zesilovač je přeměna libovolného rozdílového napětí na napětí vztázené k zemi. Toho je možno dosáhnout zapojením podle obr. 6.



Obr. 6.

Rozdílové napětí $U_{E1} - U_{E2}$ je přivedeno na odpor R . Na vstupu je napětí U_{BE} (přes „zem“), proto proudy budou dány vztahy:

$$I_1 = \frac{U_{E1} - U_{BE}}{R_1},$$

$$I_2 = \frac{U_{BE}}{R_2},$$

$$I_3 = \frac{U_{E2} - U_{BE}}{R_3},$$

$$I_4 = \frac{U_0 - U_{BE}}{R_4}.$$

Za předpokladu, že: $I^+ = I_1 - I_2$
a $I^- = I_3 + I_4$,
ale $I^+ = I^-$ (při zanedbání proudu I_B), pak:

$$I_4 = I_1 - I_2 - I_3.$$

Z toho

$$\frac{U_0 - U_{BE}}{R_4} = \frac{U_{E2} - U_{BE}}{R_1} - \frac{U_{BE}}{R_2} - \frac{U_{E2} - U_{BE}}{R_3},$$

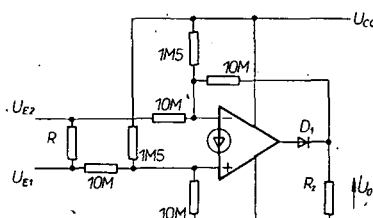
ale $R_1 = R_2 = R_3 = R_4$ a z toho: $U_0 = U_{E2} - U_{E1}$,

tzn., že velikost výstupního napětí je stejná jako vstupní rozdílové napětí, vztázené proti zemi.

Stejně jako v případě předpětí je vliv I_B zanedbatelný, tzn. že $I^+ = I^-$; proto můžeme zanedbat i chybové napětí, zejména když je U_{E1} malé.

Při napájecím napětí 15 V je zaručeno výstupní napětí 10,2 V až 13,5 V, za předpokladu, že je U_{E2} větší než +11 V, takže U_{E1} je v rozsahu 0,8 V až 12,5 V. Na obr. 7 je zapojení, v němž U_{E1} a také U_{E2} mohou být záporná.

Předpětí pro střídavý zesilovač s LM3900 lze získat podle obr. 8. Při konečném stejnoměrném napětí a stejnosměrném proudu a s oběma vstupy na napětí U_{BE} bude:

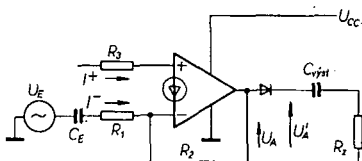


Obr. 7.

případě je to 1 MΩ, případně 10 MΩ. Když napájecí napětí bude 15 V, bude v normálním případě stejnosměrné výstupní napětí asi 7,5 V. R_3 je dán vztahem:

$$R_3 = \frac{R_2 U_{BE}}{U_0 - U_{BE}} = \frac{10^7 \cdot 0,5}{7,5 - 0,5} = 680 \text{ k}\Omega.$$

Chceme-li použít symetrické napájecí napětí, je potřebné použít jiný obvod pro předpětí, např. podle obr. 10. Vstupy jsou



Obr. 8.

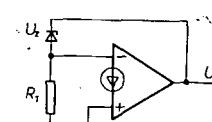
na napětí U_{BE} připojeny přes U_{CC-} , proud tekoucí neinvertujícím vstupem bude:

$$-\frac{U_{CC+} - U_{BE}}{R_3}.$$

Při zanedbání I_B musí být proud tekoucí invertujícím vstupem stejný a je odebráván z výstupu přes odporník R_2 . Odtud:

$$\frac{U_0 - (U_{CC-} + U_{BE})}{R_2} = \frac{(U_{CC-} + U_{BE})}{R_3}.$$

Odpory R_2 a R_3 jsou stejné a proto výstupní stejnosměrné napětí je rovno nule.



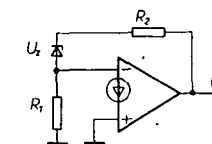
Obr. 11.

Na obr. 11 je zapojení jednoduchého stabilizátoru s LM3900. Proud Zenerovou diodou je určen odporem R_1 a tento proud

$$je \frac{U_{BE}}{R_1}. Výstupní napětí bude$$

$$U_z + U_{BE}.$$

Na obr. 12 je zapojení tohoto stabilizátoru s teplotní kompenzací. Proud Zenerovou diodou je opět dán stejným vztahem



Obr. 12.

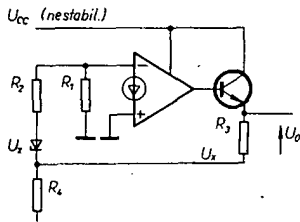
jako v obr. 11. Jako v obr. 9 je přes odporník R_2 přivedeno napětí $U_{BE} = (1 + \frac{R_2}{R_1})$ a výstupní napětí bude dánovo rovnici:

$$U_0 = U_z + U_{BE} (1 + \frac{R_2}{R_1}).$$

Nejprve určíme odpory R_1 a R_2 . V našem

Zenerova dioda má kladný teplotní činitel, kdežto teplotní činitel přechodu p-n je záporný. Teplotní činitel výstupního napětí bude nulový a tedy je možné zvolit R_2 .

Stabilizátor pro větší výstupní napětí s teplotní kompenzací je možné zapojit podle obr. 13. Proud Zenerovou diodou



Obr. 13.

je dán vztahem U_{BE}/R_1 , a aby byl teplotní součinitel co nejmenší, volíme R_2 . Tak bude:

$$U_x = U_z + U_{BE} \left(1 + \frac{R_2}{R_1}\right).$$

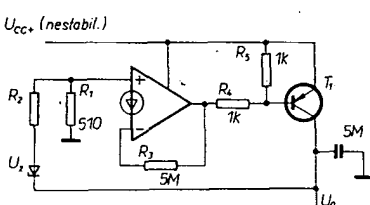
U_x musí však být rovno $\frac{U_0}{R_3 + R_4}$,

z toho

$$U_0 = (U_z + U_{BE} \left(1 + \frac{R_2}{R_1}\right)) \left(1 + \frac{R_3}{R_4}\right).$$

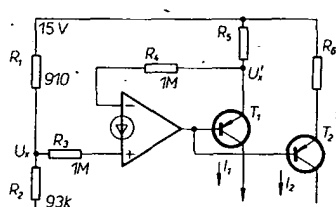
Musí být zajištěno, že $U_{CC+} >> U_0 + 2V$.

Stabilizátor napětí se vstupním-výstupním rozdílovým napětím rádu 100 mV je na obr. 14. Jako dříve bude proud Zenerovou diodou nastaven odporem R_1 a teplotní kompenzace odporem R_2 . Tranzistor bude v saturaci a jmenovitá hodnota $U_E - U_0$ je závislá na vlastnostech použitého tranzistoru. Proud pro předpětí invertujícího vstupu je nastaven odporem R_3 a odpory R_4 a R_5 zajišťují, že tranzistor T_1 bude zcela saturován.



Obr. 14.

Zapojení vícestupňového zdroje proudu je na obr. 15. Dělič napětí R_1 a R_2



Obr. 15.

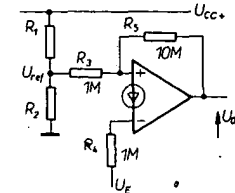
nastavuje stejnosměrnou úroveň U_x na asi 14 V, která je přes R_3 přivedena na neinvertující vstup. Proud tekoucí do neinvertujícího vstupu musí být stejný, jako proud přes R_4 do invertujícího vstupu. Pak musí na emitoru T_1 být potenciál U'_x , tranzistorem T_1 teče kolektorový I_1 .

T_1 a T_2 jsou stejné a rovněž bude stejný i proud do bází, proto proud I_2 bude dán vztahem:

$$I_2 = \frac{R_5}{R_6} I_1.$$

Když R_5 je 1 k Ω , pak při zanedbání ztrát (proud přes R_4) bude emitorový proud T_1 asi 1 mA.

Na obr. 16 je zapojení napětím řízené proudové zátěže. Protože vstupní proudy zesilovače budou stejné, musí emitorové



Obr. 16.

Hystereze může být nastavena zpětnovazebním odporem (jako na obr. 18). Když je výstup na úrovni L, je proud do neinvertujícího vstupu dán vztahem:

$$\frac{U_{ref} - U_{BE}}{R_3},$$

přičemž proud odporem R_5 může být zanedbán.

Proud do invertujícího vstupu je

$$\frac{U_E - U_{BE}}{R_4}$$

a je-li tento proud menší než

$$\frac{U_{ref} - U_{BE}}{R_3},$$

bude výstup na úrovni H a proud neinvertujícím vstupem se zvětší o

$$\frac{U_{OH} - U_{BE}}{R_5}.$$

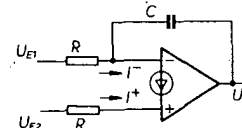
Aby se změnil výstupní stav, musí se zvětšit vstupní napětí o

$$\frac{10U_{ref} + U_{OH}}{10}$$

a z toho vyplývá, že hystereze je $U_{OH}/10$.

Na obr. 19 je zapojení v němž výstupní napětí je úměrné integrálu rozdílového napětí. Neinvertující vstupní proud je

$$I^+ = \frac{U_{E2} - U_{BE}}{R}$$



Obr. 19.

renční napětí je nastaveno odporovým děličem R_1 a R_2 . Neinvertující vstupní proud je dán rovnicí

$$I^+ = \frac{U_{ref} - U_{BE}}{R_3}$$

a invertující vstupní proud rovnici

$$I^- = \frac{U_E - U_{BE}}{R_4}$$

Zmenší-li se U_E pod U_{ref} , bude invertující proud pro funkci proudového zrcadla nedostatečný a výstup bude na úrovni H. Když U_E bude větší než U_{ref} , bude nedostatečný proud na neinvertujícím vstupu a výstup na úrovni L. Pro správnou funkci musí být U_{ref} větší než U_{BE} a odpory musí být voleny tak, že nebude překročen proud 200 μ A. Pro U_E není žádána horní hranice.

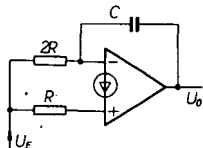
a invertující vstupní proud

$$I^- = \frac{U_{E1} - U_{BE}}{R} + C \frac{d(U_{BE} - U_0)}{dt}$$

Protože však $I^+ = I^-$ (při zanedbání vlivu I_B) je

$$\frac{U_{E2} - U_{E1}}{R} = -C \frac{dU_0}{dt}$$

Zapojení jednoduchého integrátoru s předpětím na invertujícím vstupu je na obr. 20.



Obr. 20.

obr. 20. Výstupní napětí bude dánov rovnicí

$$U_0 = -\frac{1}{2CR} \int (U_E - U_{BE}) dt.$$

Integrátor z obr. 20 a Schmittův klopný obvod z obr. 18 mohou vytvořit napěťové řízený oscilátor (obr. 21). Když výstup Schmittova klopného obvodu je na úrovni L, bude T₁ odpojen a neinvertující vstupní proud integrátoru je pak

$$\frac{U_S - U_{BE}}{R_2}$$

a invertující vstupní proud báze bude

$$\frac{U_S - U_{BE}}{R_1} + C \frac{d(U_{BE} - U_0)}{dt}$$

Pak platí

$$U_0 = \frac{1}{C} \int \left[\frac{(U_S - U_{BE})}{R_1} - \frac{(U_S - U_{BE})}{R_2} \right] dt.$$

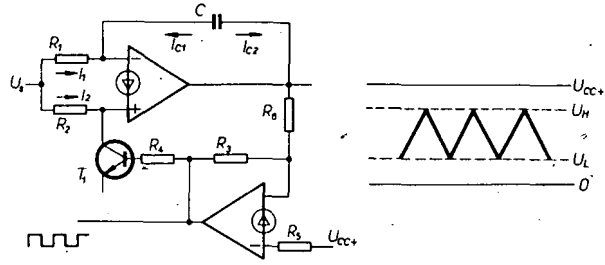
Konečně když výstupní napětí integrátoru dosáhne požadované hodnoty, výstup Schmittova klopného obvodu se přepne do stavu H a tak se připojí i T₁. Proud odporem R₂ teče pak do země a neinvertující vstupní proud integrátoru bude nulový. Proudové zrcadlo zesilovače způsobí, že invertující vstupní proud bude rovněž nulový. Kondenzátor se začne vybíjet až do té chvíle, dokud se výstupní napětí integrátoru nezmění – současně se překlopí na původní úroveň výstup komparátoru.

Pro zjednodušení si položme R₁ = 2R₂, pak I₂ = 2I₁, z čehož vyplývá, že nabíjený proud (I_{c1}) a vybíjecí proud (I_{c2}) kondenzátoru je vždy rovný I₁. Výstupní napětí bude

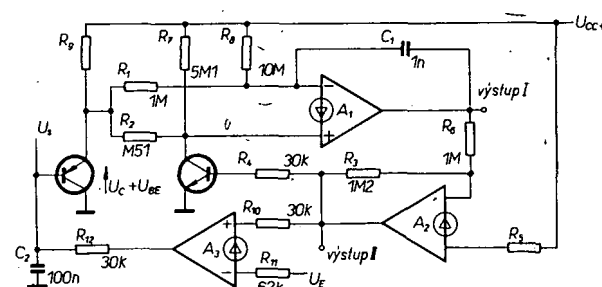
$$U_0 = -\frac{1}{C} \int I_1 dt$$

jak při nabíjení, tak i při vybíjení. Tento výraz můžeme také napsat jako

$$\Delta T = \frac{C \Delta U_0}{I_1}$$



Obr. 21.



Obr. 22.

nebo

$$|\Delta T| = \frac{C}{I_1} |\Delta U_0|$$

a tedy

$$|\Delta T| = \frac{C}{I_1} (U_H - U_L),$$

kde U_H a U_L jsou prahová napětí Schmittova klopného obvodu. Tyto „prahy“ a I₁ jsou konstantní – nezávislé na tom, je-li kondenzátor nabíjen nebo vybíjen, proto bude perioda impulsu dána vztahem:

$$T_p = 2\Delta T = \frac{2CR_1 (U_H - U_L)}{U_S - U_{BE}}$$

a kmitočet výstupního signálu bude:

$$f = \frac{U_S - U_{BE}}{2CR_1 (U_H - U_L)},$$

tzn., že je úměrný napětí U_S. Střídá je dána vztahem R₂/(R₁ - 1) a je v uvedeném případě 1:1. Při řidicím napětí, které je rovné nebo menší než U_{BE}, je kmitočet nulový. Jestliže je žádoucí tuto závislost na U_{BE} odstranit, může být součtové předpětí přivedeno zpět, jako je to na obr. 22. Tranzistor T₂ pracuje tak, že kompenzuje drift obvodu a teplotní závislost U_{BE}. Zesilovač A₃ spolu s R₁₀, R₁₁, R₁₂ a C₂ tvoří fázový komparátor a celý obvod pak zapojení fázové smyčky (PLL).

NEZAPOMNĚLI JSTE NA KONKURS AR?

**Uzávěrka 14. ročníku konkursu
na nejlepší a nejzajímavější amatérské
konstrukce je 15. září 1982, podmínky
konkursu byly uveřejněny v AR A2/82 na
str. 51**

TĚŠÍME SE NA VAŠI ÚČAST!